

Interazioni fondamentali

note ed ignote

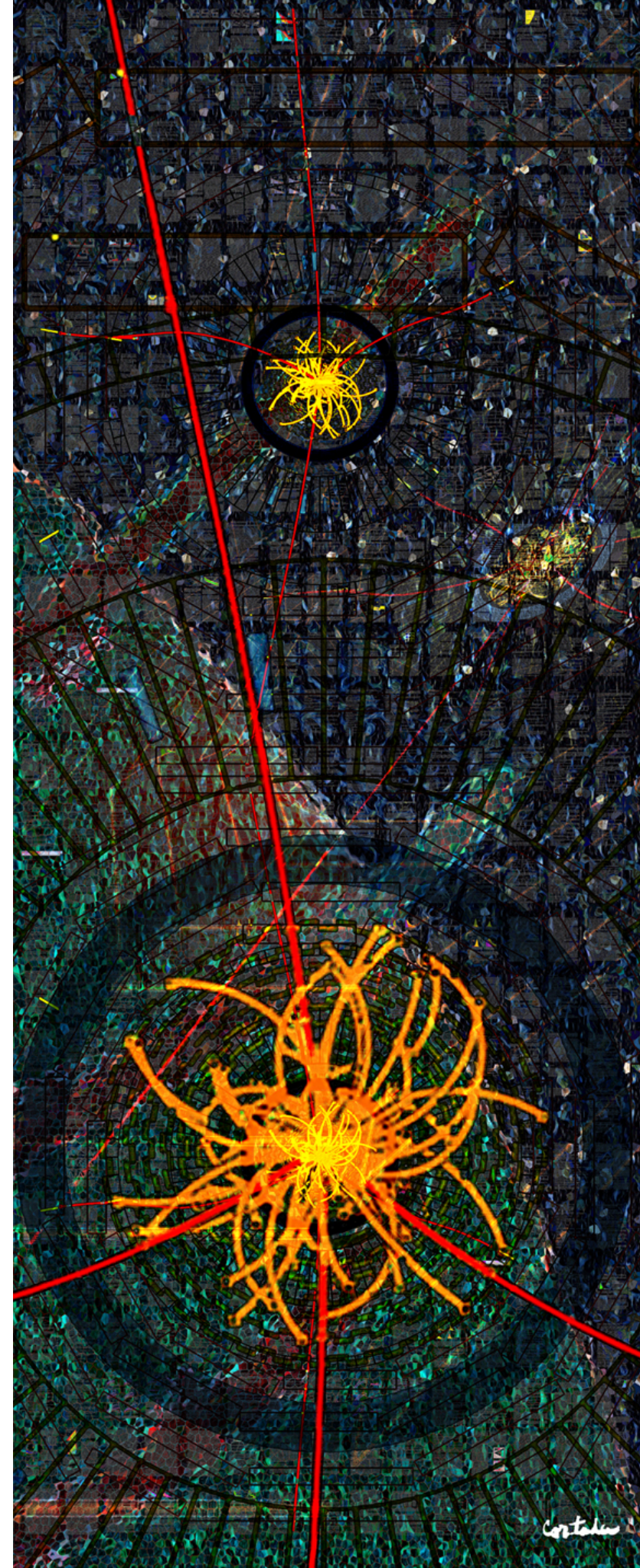
Progetto Art & Science

Liceo Scientifico Augusto Righi

11 Feb 2019



SAPIENZA
UNIVERSITÀ DI ROMA

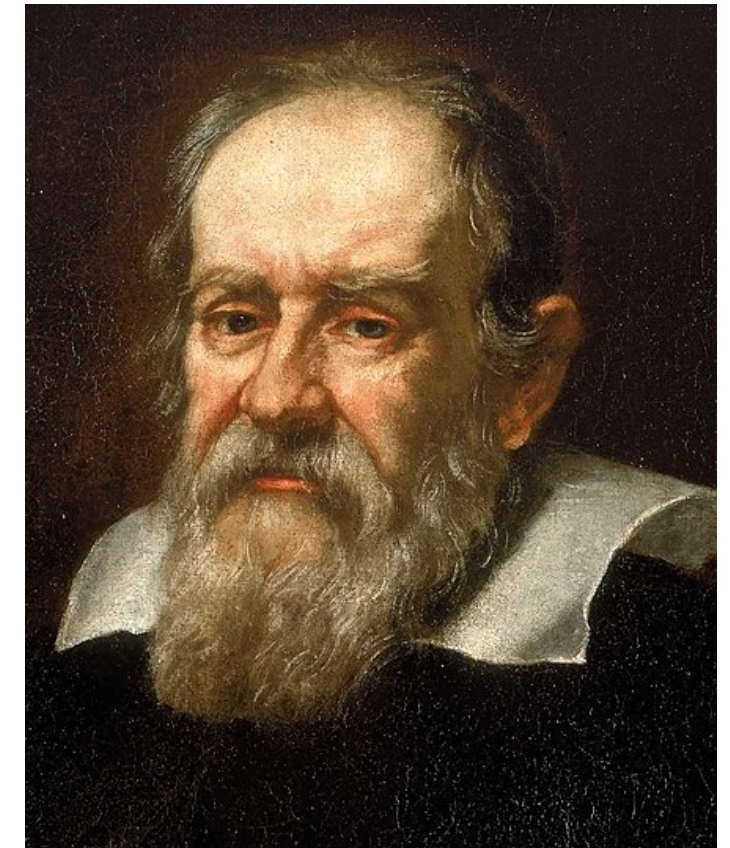


Di Cosa parliamo oggi?

- ▷ Cosa intendiamo per Interazione?
 - Legame tra forza ed interazione
- ▷ Interazioni nella Fisica oggi
- ▷ Possono esserci nuovi tipi di Interazione?
 - Come possiamo cercarli?
- ▷ Esperimenti per verificare le teorie esistenti e cercare qualcosa di nuovo e esotico

Fisica

- ▷ Studio della Natura e delle **interazioni** che governano i fenomeni
- ▷ Galileo fu artefice del metodo scientifico tuttora in uso oggi in tutti i campi scientifici
 - Osservare **fenomeni** in Natura con esperimenti
 - fare **ipotesi** sulle leggi che descrivono il fenomeno usando la matematica come il linguaggio (modello)
 - Fare **predizioni** quantitative
 - Verificare le predizioni con **esperimenti**
 - Se predizioni sono corrette il modello diventa una **teoria**
 - Cercare di **falsificare** la teoria con nuovi esperimenti sfruttando l'avanzamento tecnologico degli strumenti



Secolo XVI

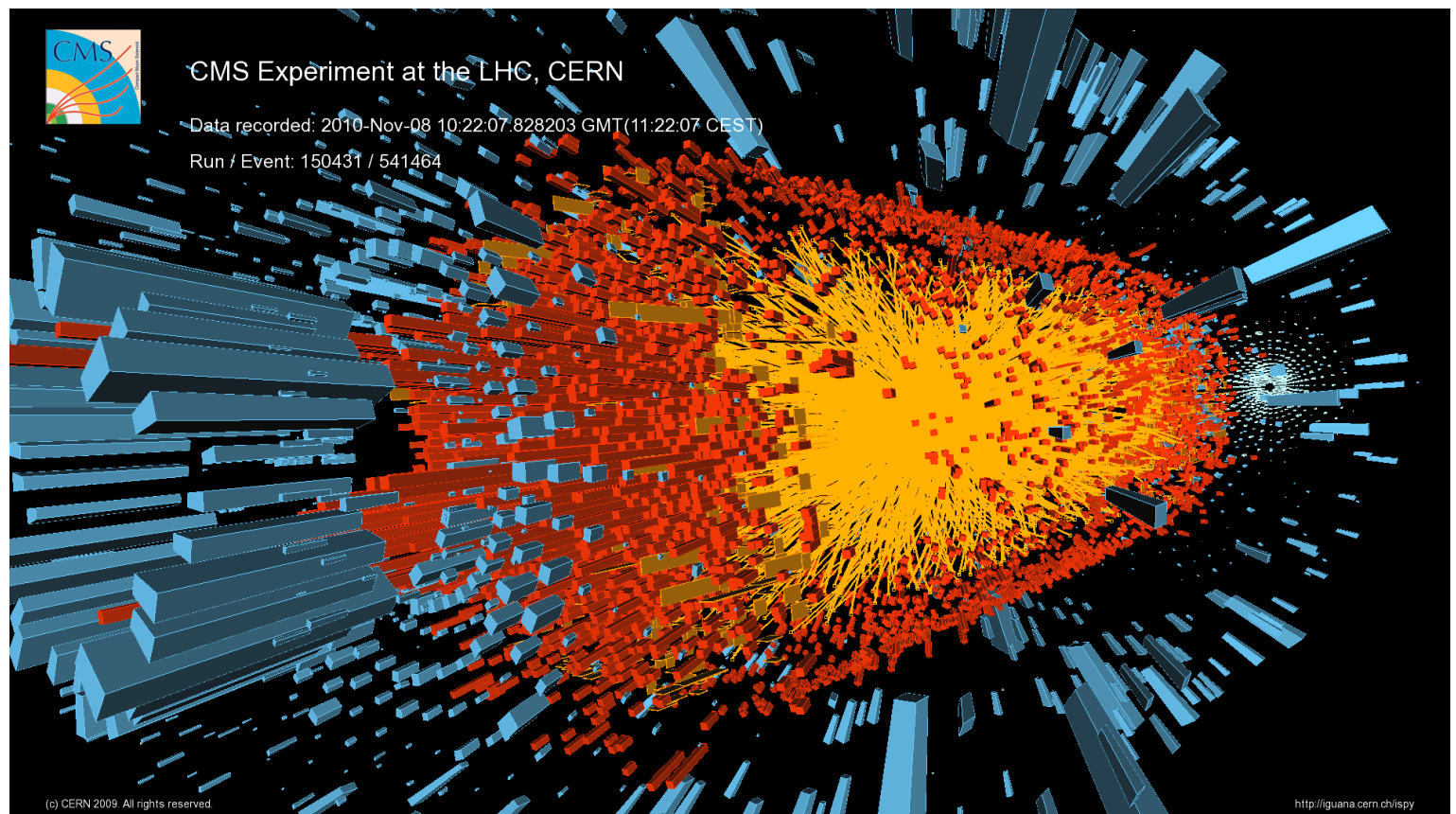
Interazione

interazione

/in·te·ra·zió·ne/

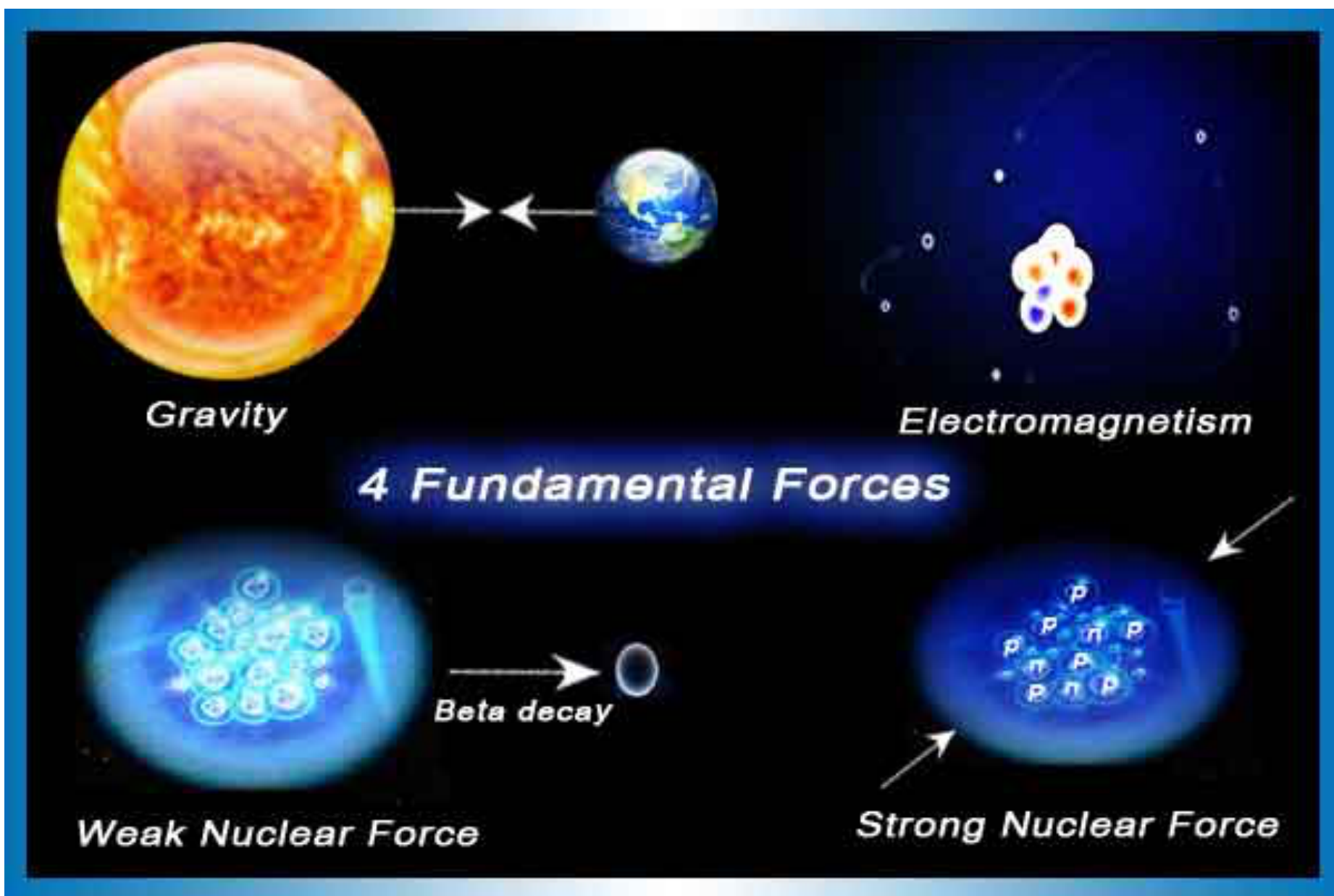
sostantivo femminile

1. Reciproca influenza o azione e reazione di persone, fatti, fenomeni, sostanze.
"i. farmacologica"
2. In fisica, ogni reciproca azione fra particelle, corpi o sistemi, che porta a una modifica del loro stato e della loro energia.



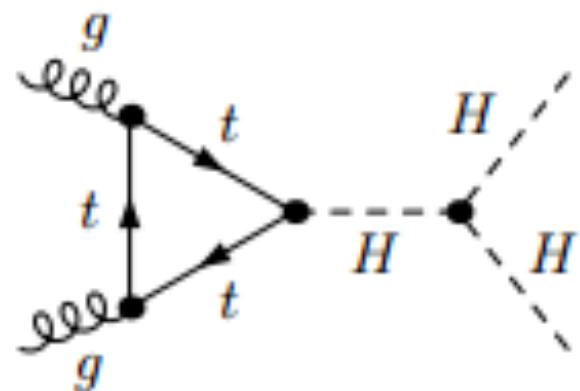
Interazioni fondamentali

- ▷ Oggi ne conosciamo quattro tipi
 - Interazione Gravitazionale (1600)
 - Interazione Elettromagnetica (1800)
 - Interazione Debole (1900)
 - Interazione Forte (1900)



Nuove Interazioni?

- ▷ Nel 2012 la scoperta del bosone di Higgs ha messo in luce un nuovo tipo di interazione tra i bosoni di Higgs



- ▷ Non sappiamo ancora come interagisca la Materia oscura
- ▷ Siamo anche alla costante ricerca di nuovi tipi di interazione

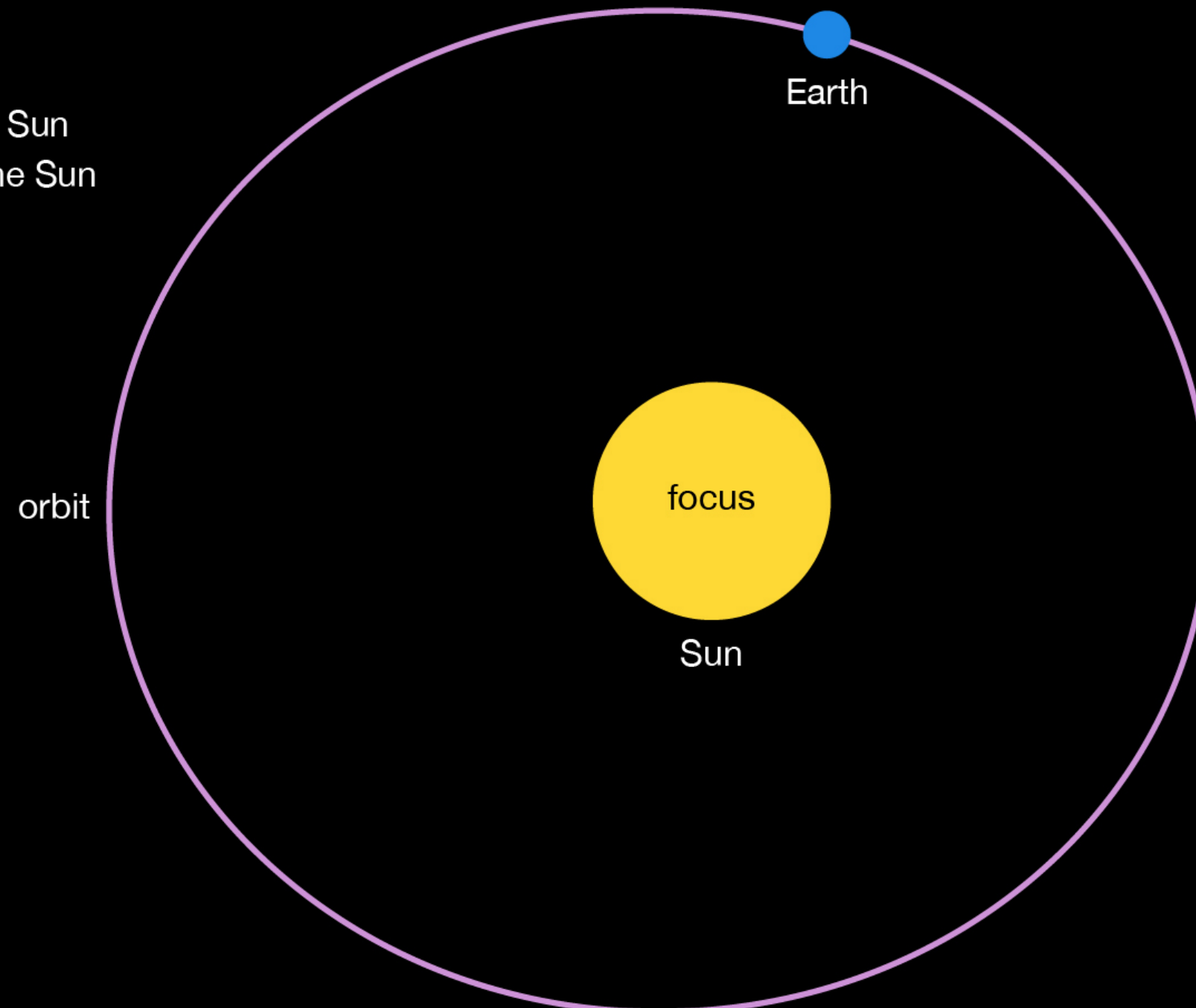
Gravità`

I legge di Keplero

Kepler's laws of planetary motion

First law

All planets move about the Sun in elliptical orbits, having the Sun as one of the foci.



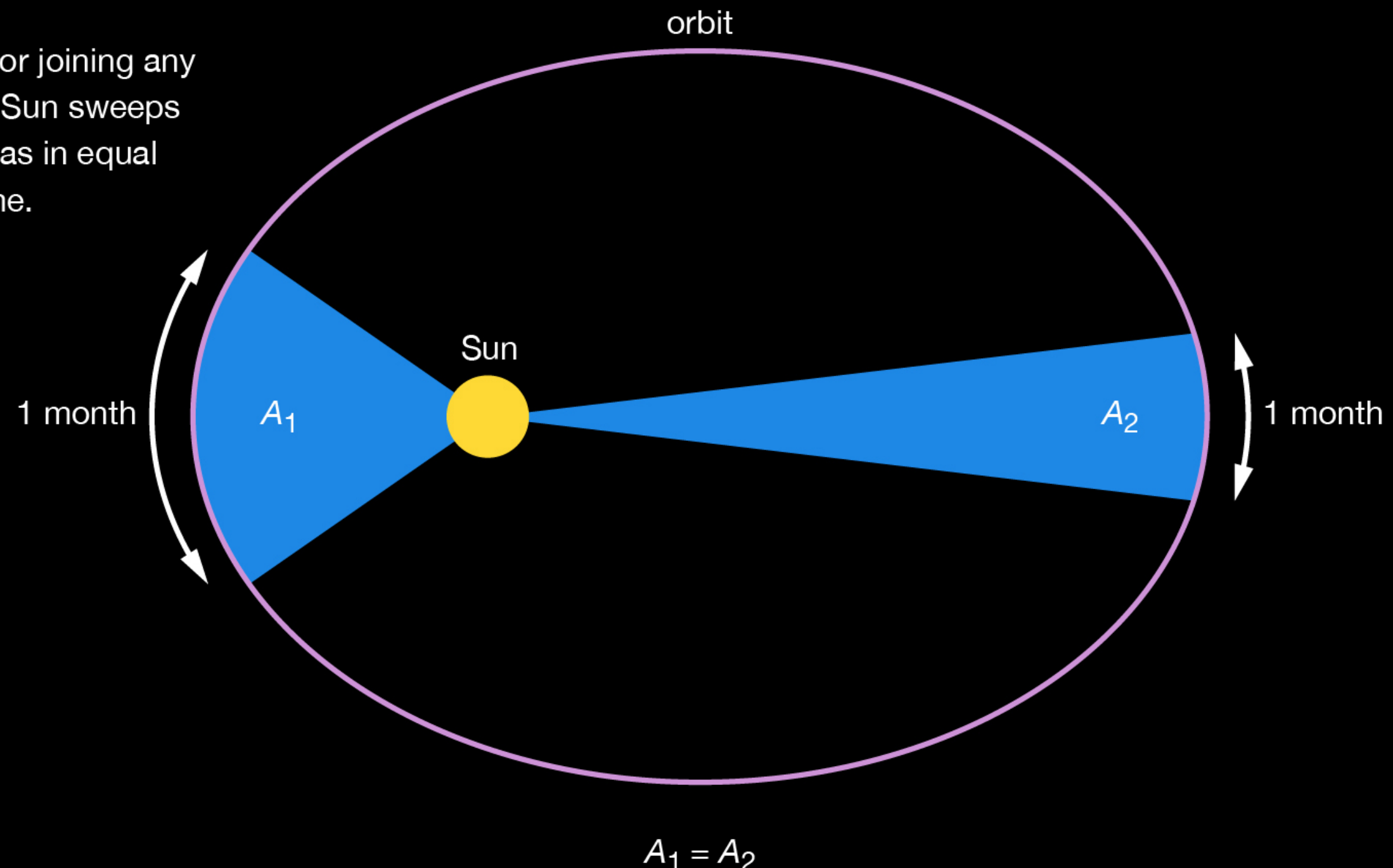
© Encyclopædia Britannica, Inc.

II legge di Keplero

Kepler's laws of planetary motion

Second law

A radius vector joining any planet to the Sun sweeps out equal areas in equal lengths of time.



III legge di Keplero

Kepler's laws of planetary motion

Third law

The squares of the sidereal periods (P) of the planets are directly proportional to the cubes of their mean distances (d) from the Sun.

$$P \times P = k (d \times d \times d)$$

$$P^2 = kd^3$$

$$\frac{P^2}{d^3} = k$$

where k is a constant

planet	period (P , year)	period squared	mean distance (d , AU)	mean distance cubed	P^2/d^3
Mercury	0.24	0.06	0.39	0.06	0.99
Venus	0.62	0.38	0.72	0.38	1.02
Earth	1.00	1.00	1.00	1.00	1.00
Mars	1.88	3.53	1.52	3.51	1.01
Jupiter	11.86	140.66	5.20	140.61	1.00
Saturn	29.46	867.89	9.58	879.22	0.99
Uranus	84.01	7057.68	19.20	7077.89	1.00
Neptune	164.80	27159.04	30.10	27270.90	1.00

Esperimento di Galileo



Nell'aria



Nel vuoto



La mela di Newton



Painting by Nasir

Gravitazione

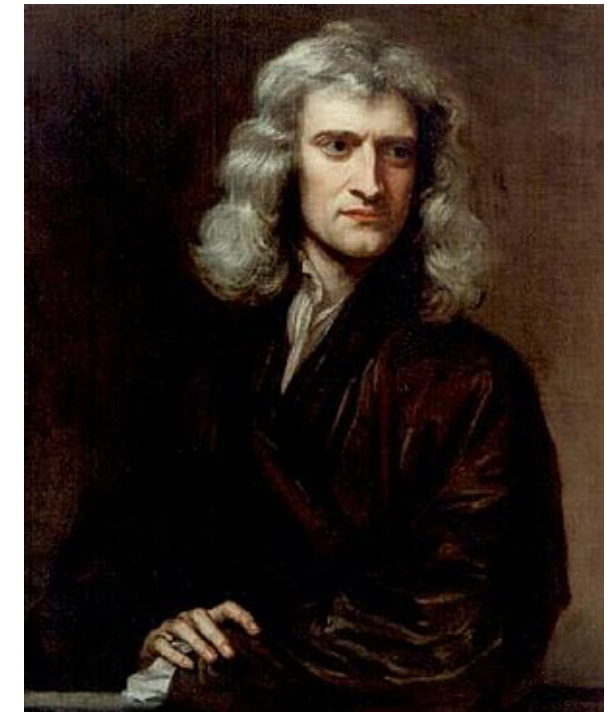
$$F = G \frac{m_1 m_2}{r^2}$$

$$G = 6.67 \times 10^{-11} \frac{Nm^2}{kg^2}$$

$$M_{terra} = 5972 \times 10^{24} kg$$

$$M_{sole} = 1989 \times 10^{30} kg$$

$$r = 150 \times 10^6 km$$

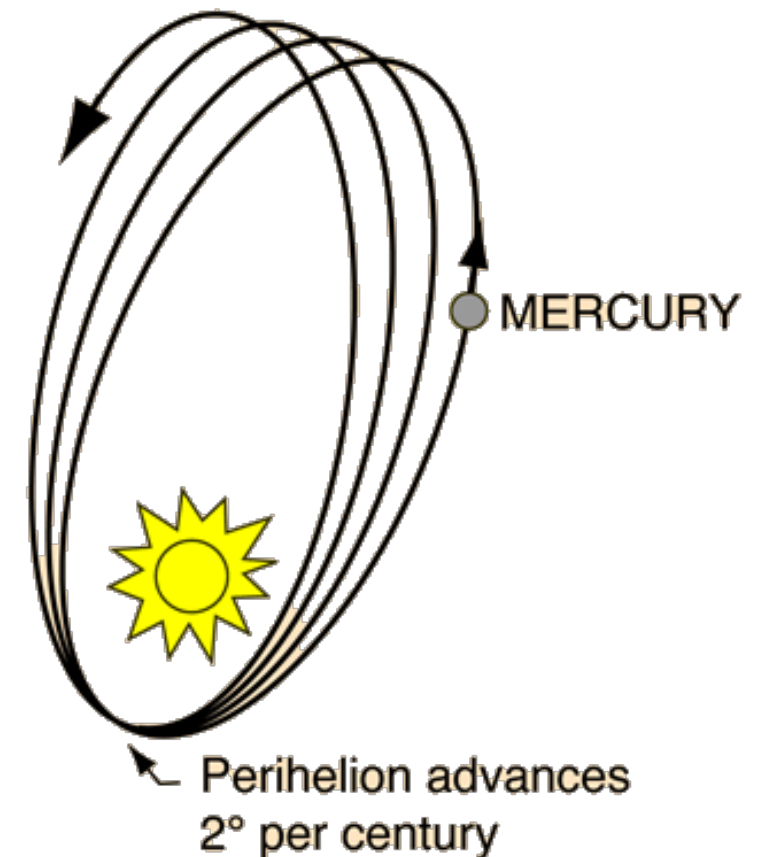


Secolo XVII

- ▷ La legge di gravitazione mette insieme la descrizione della caduta dei gravi sulla terra e il moto dei pianeti nel cielo
- ▷ Successo di Newton nel predire l'esistenza di Nettuno osservando il moto di Urano
 - Forze dei pianeti esistenti non era sufficienti per spiegare le modifiche all'orbita di Urano

Relatività Generale

- ▷ Discrepanze nell'orbita di Mercurio furono osservate verso la fine del 1800
 - Nessun nuovo pianeta tra Mercurio e il Sole
- ▷ Effetto fu spiegato nel 1915 da Einstein con la nascita della relatività generale
- ▷ Presenza di massa modifica la struttura dello spazio tempo

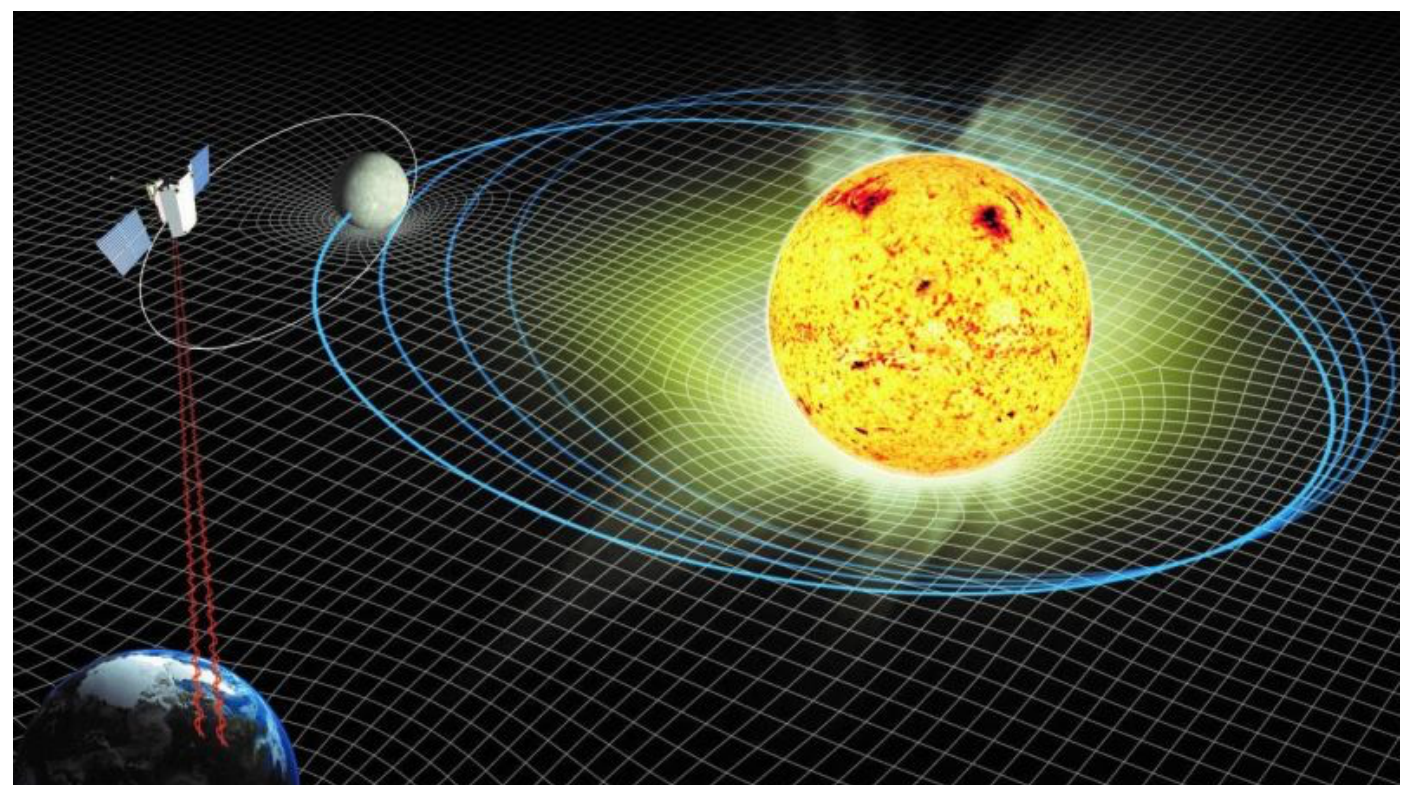


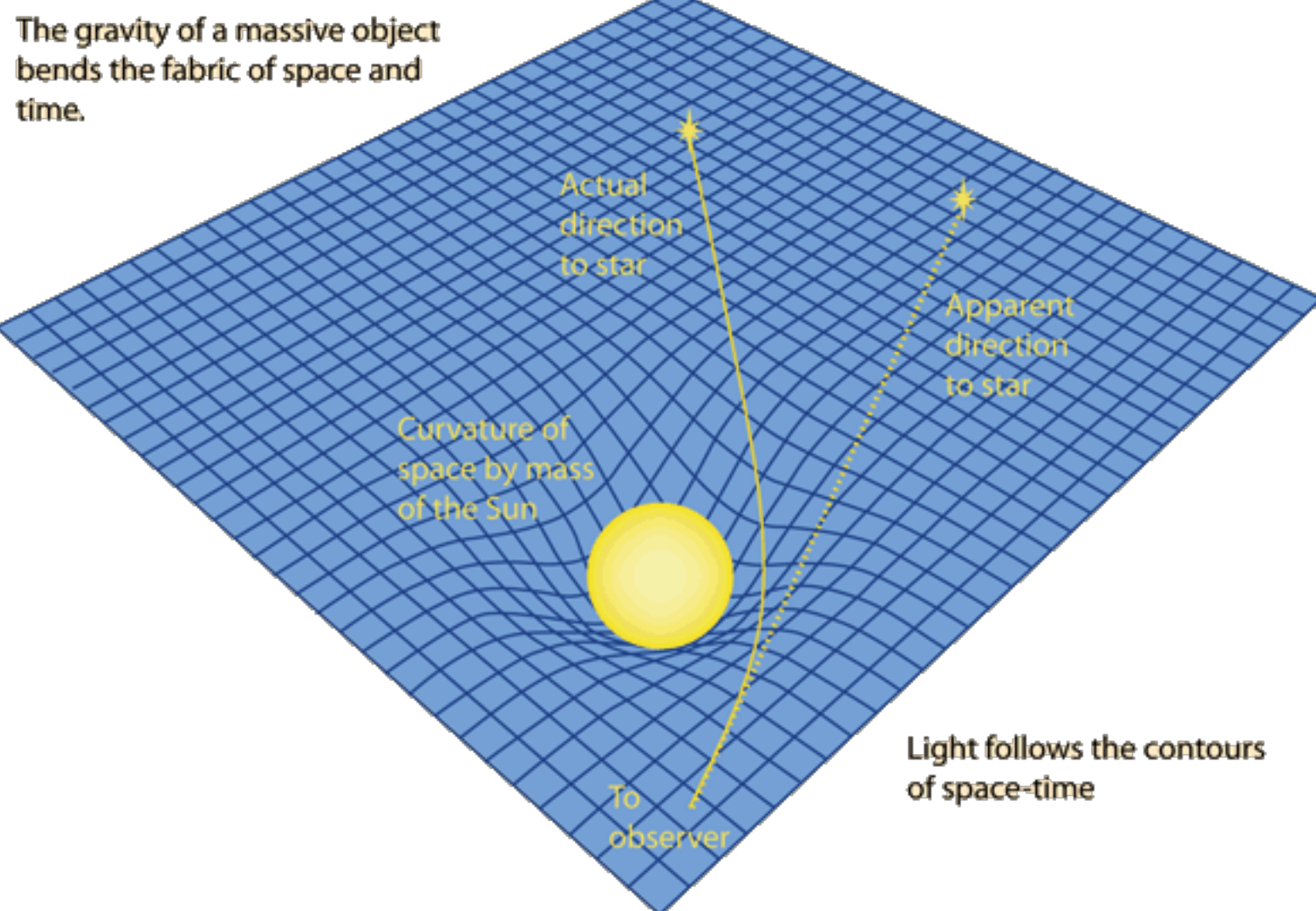
Curvature of space

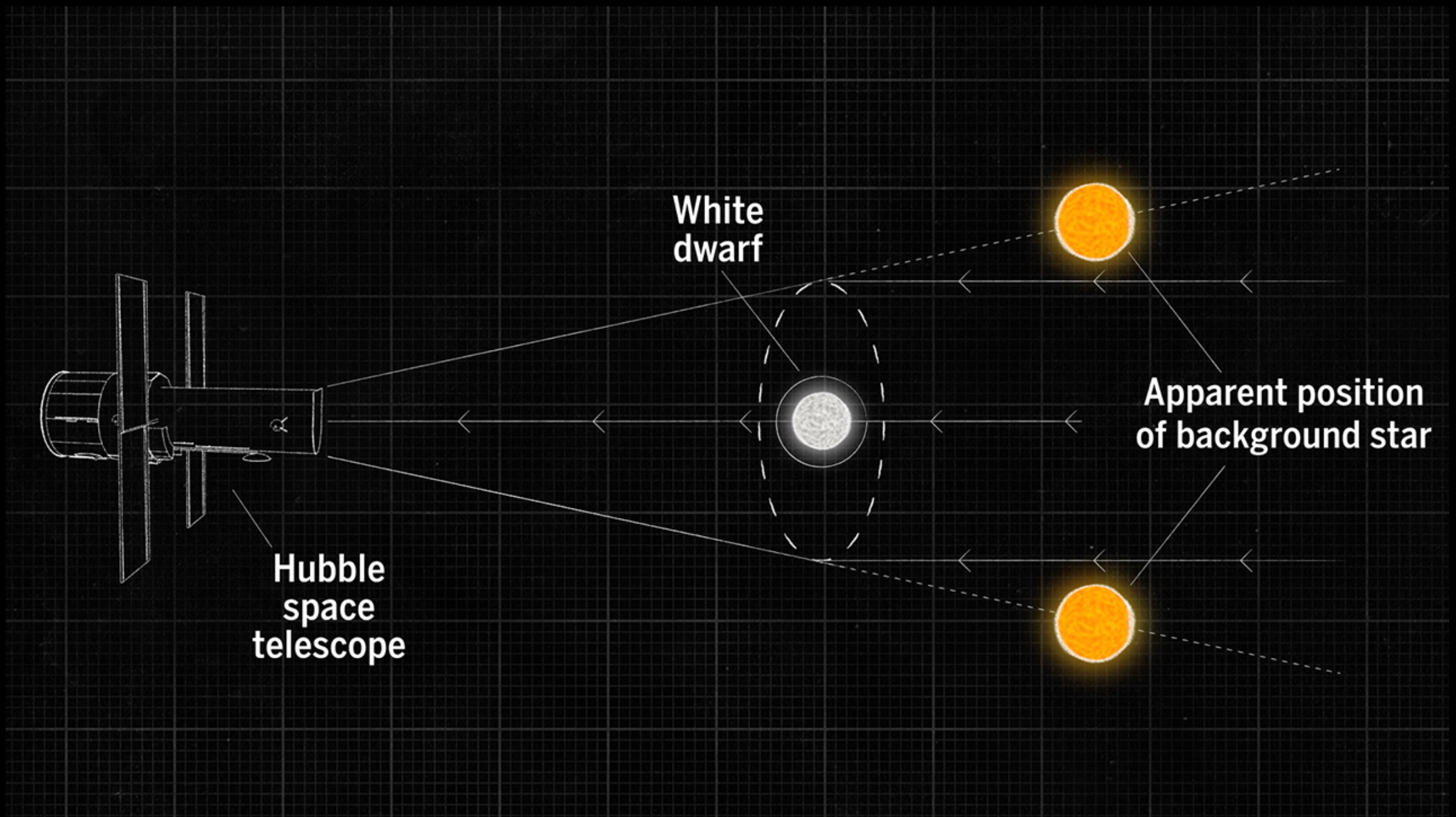
$$G_{\alpha\beta} = \frac{8\pi G}{c^4} T_{\alpha\beta}$$

Some constants

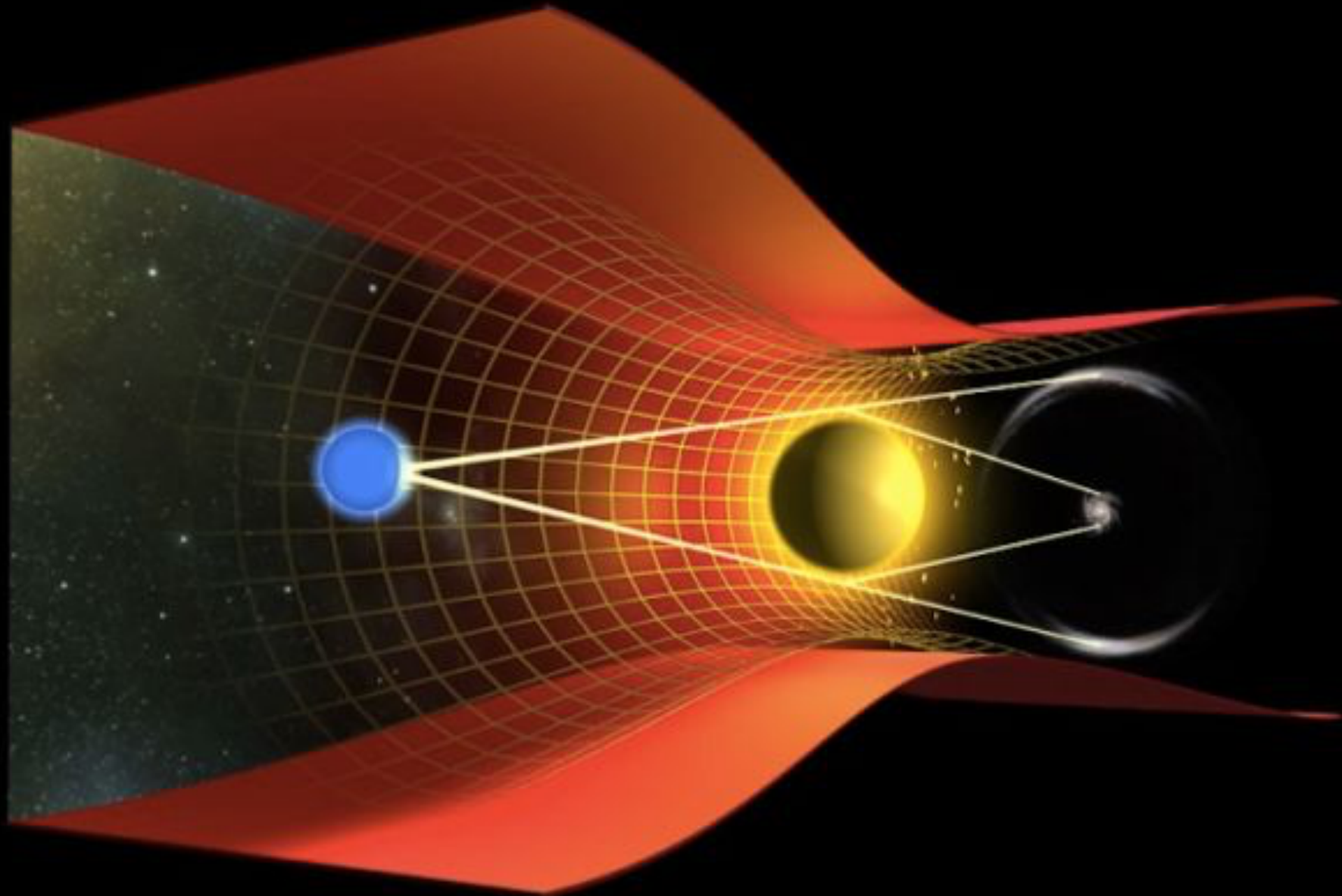
Distribution of mass/energy



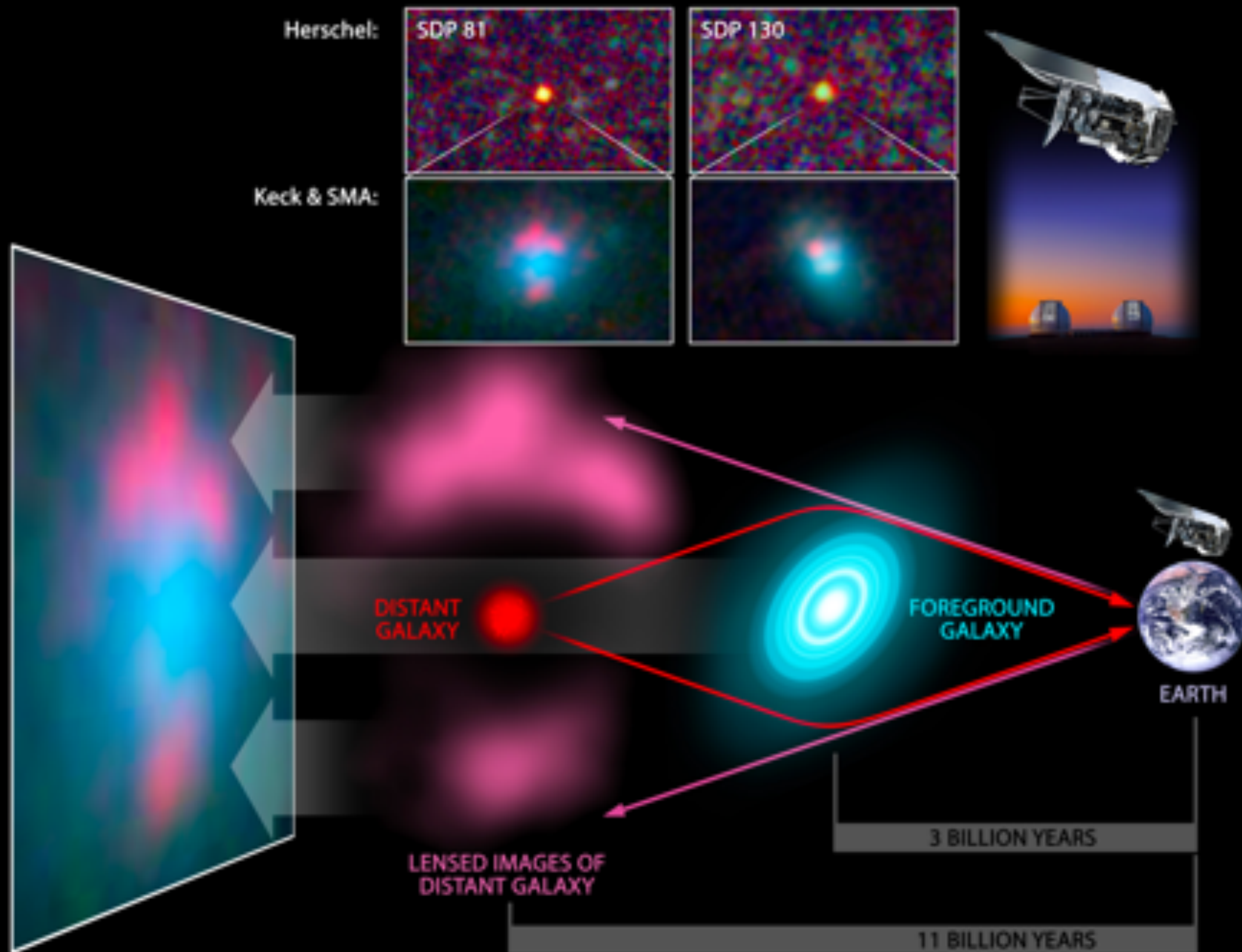


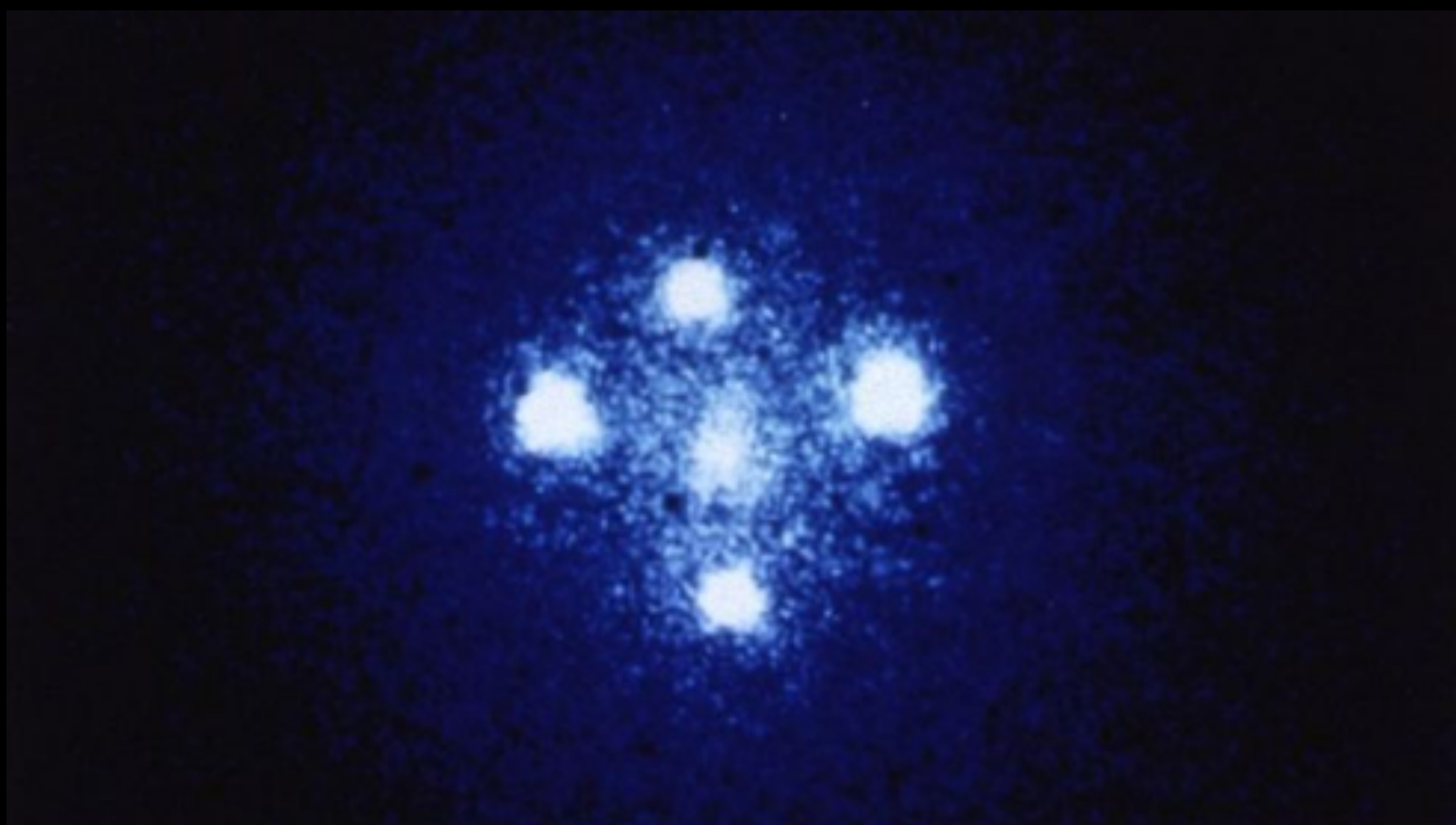


Lente gravitazionale

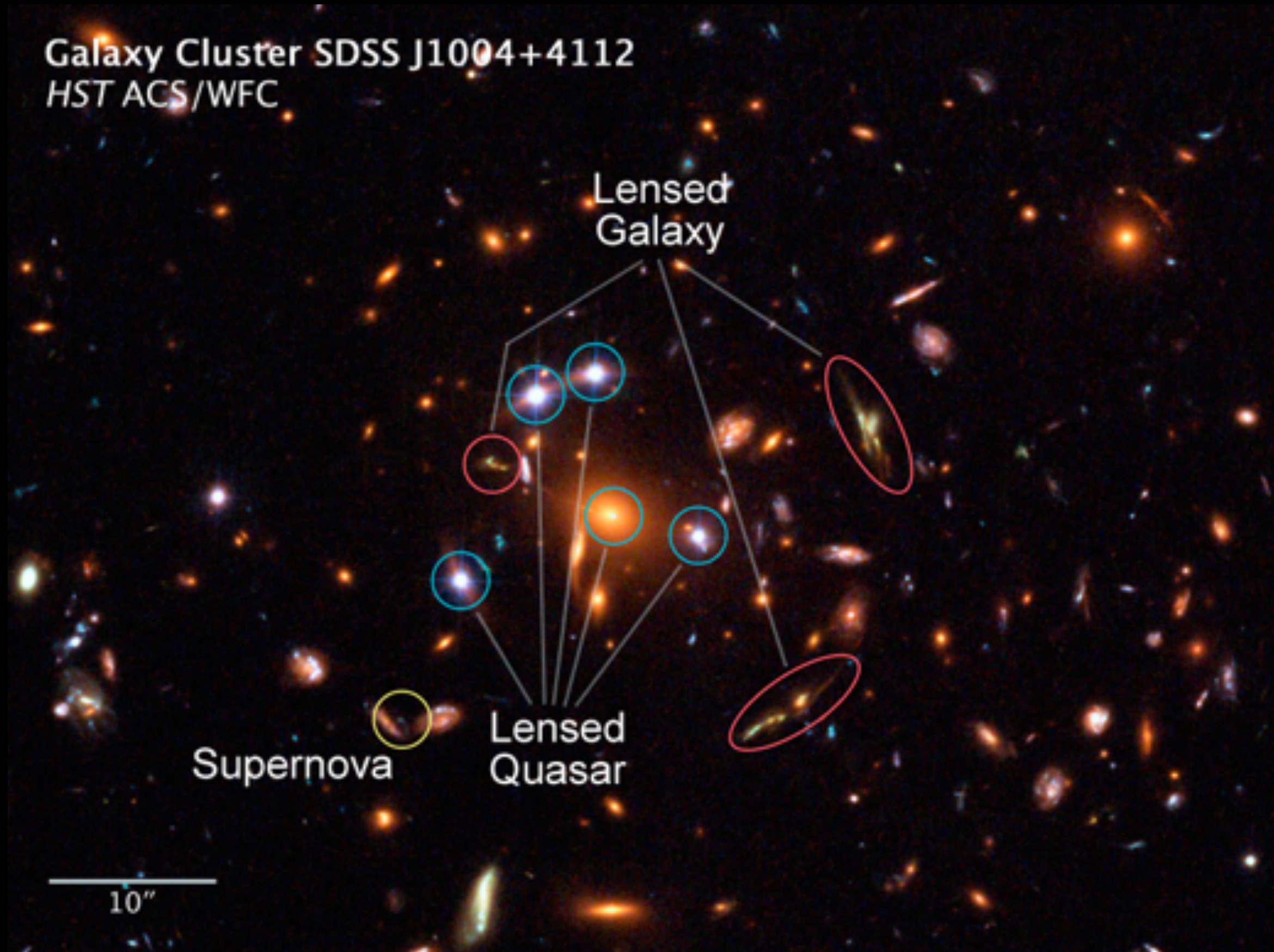


Gravitational Lensing



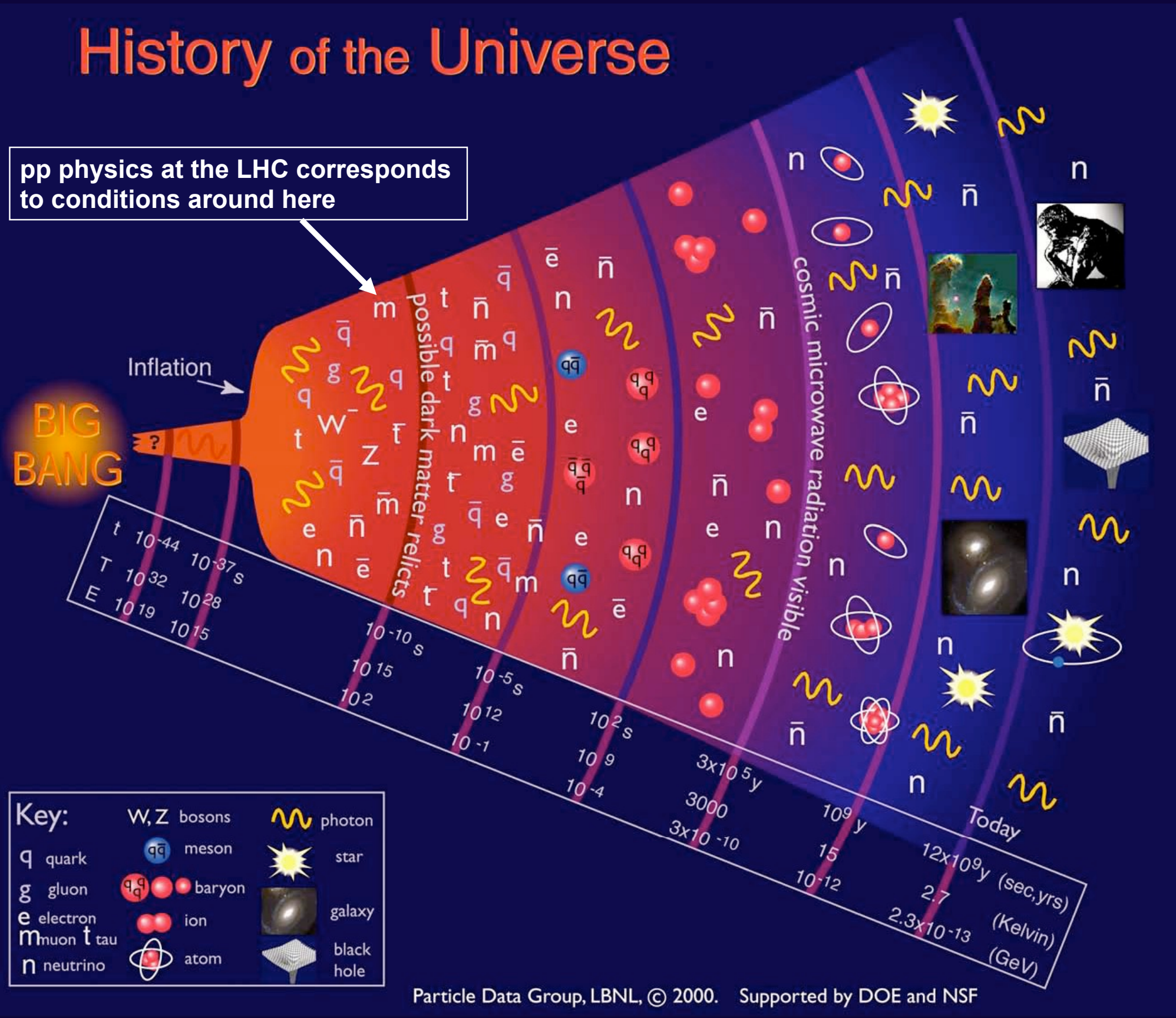


Gravitational Lensing

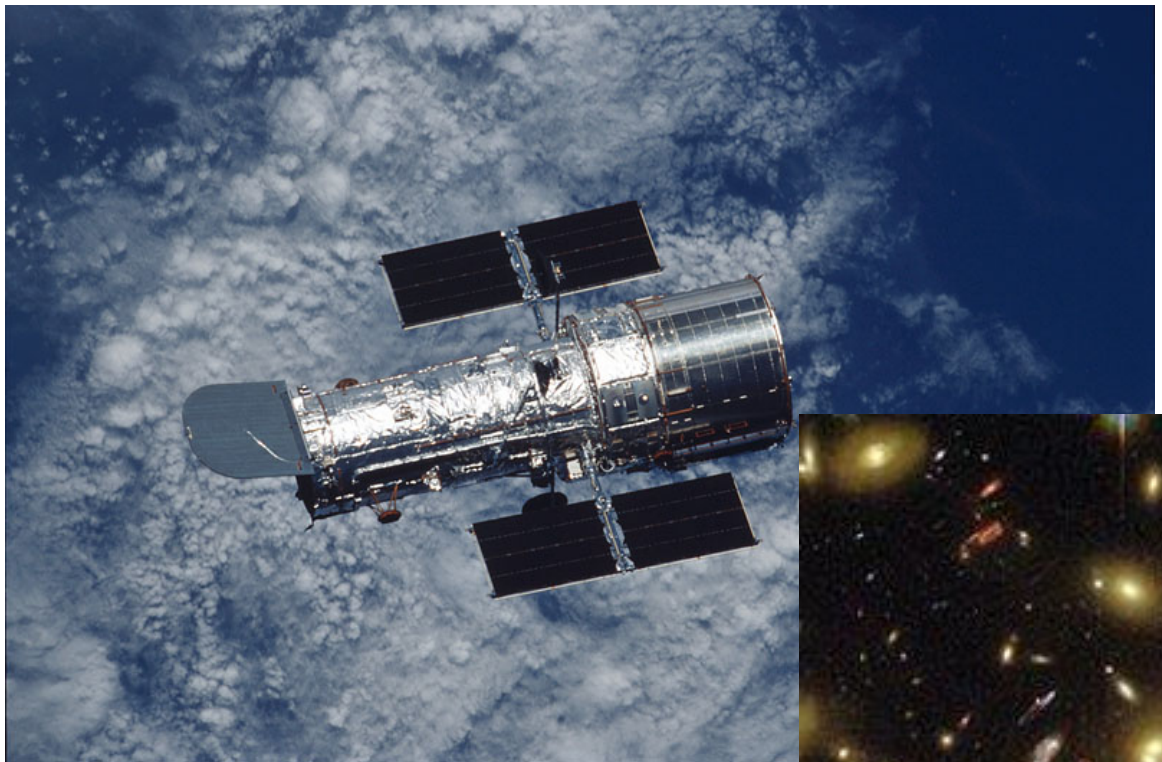


Dall'infinitamente grande
all'infinitamente piccolo

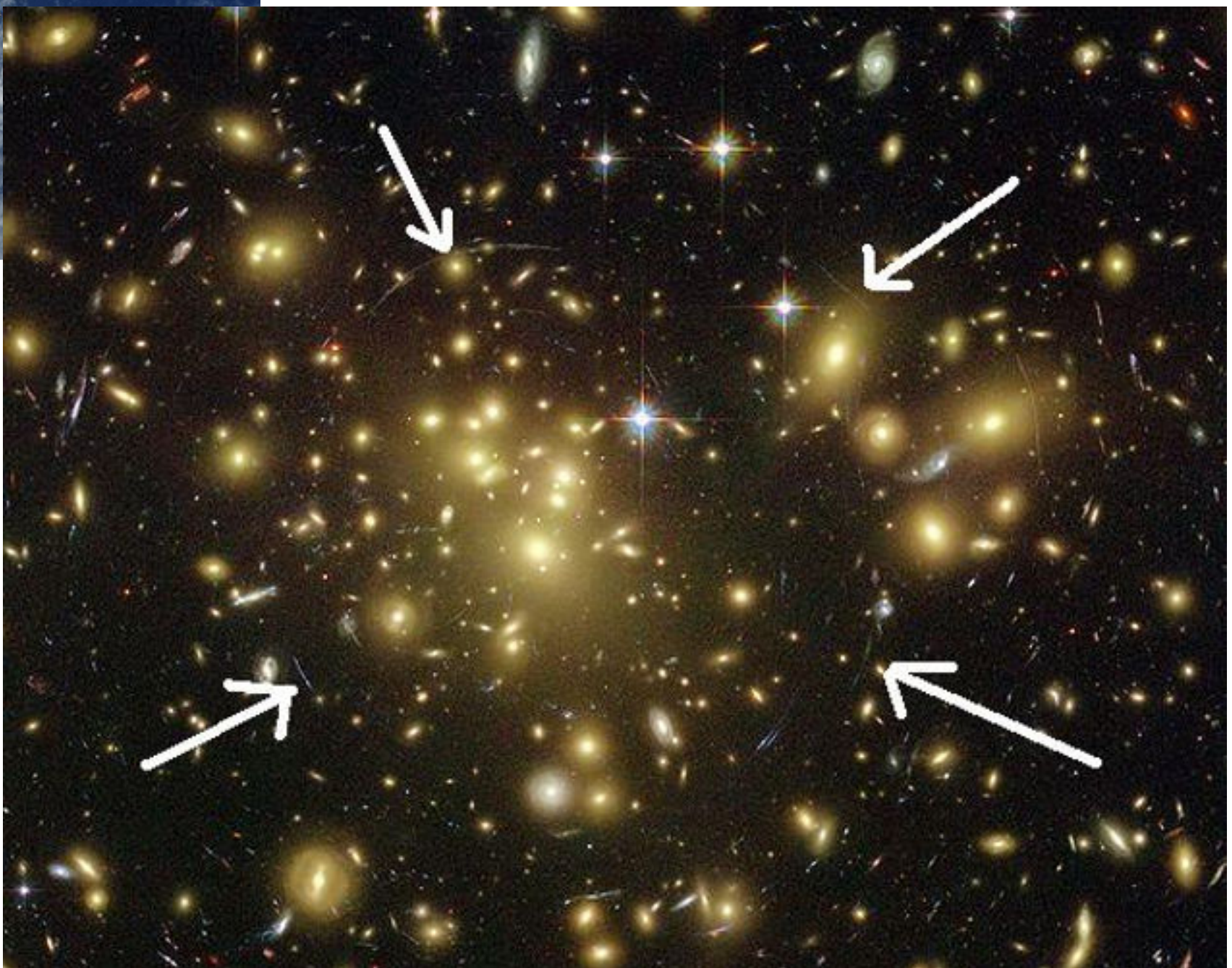
History of the Universe



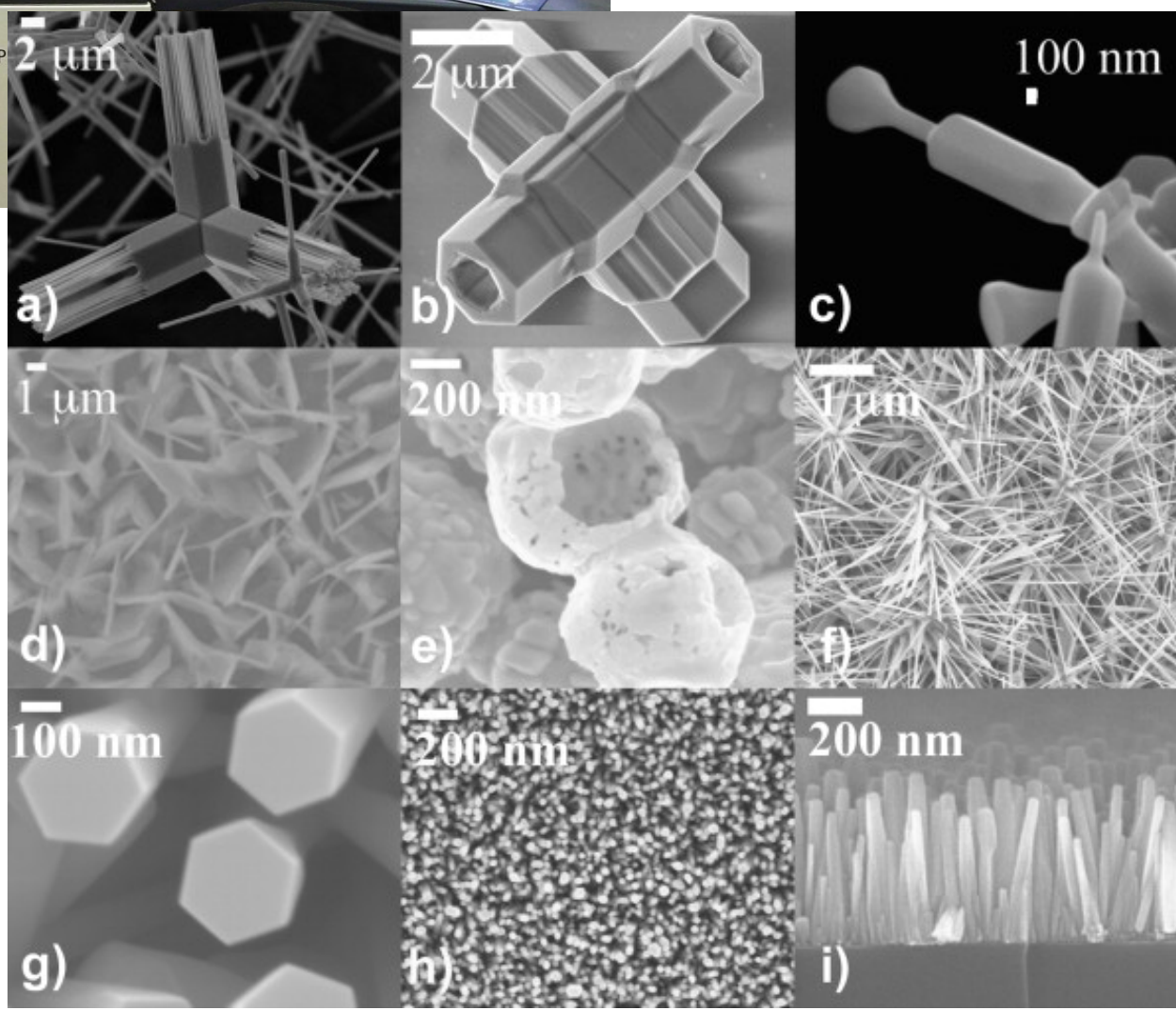
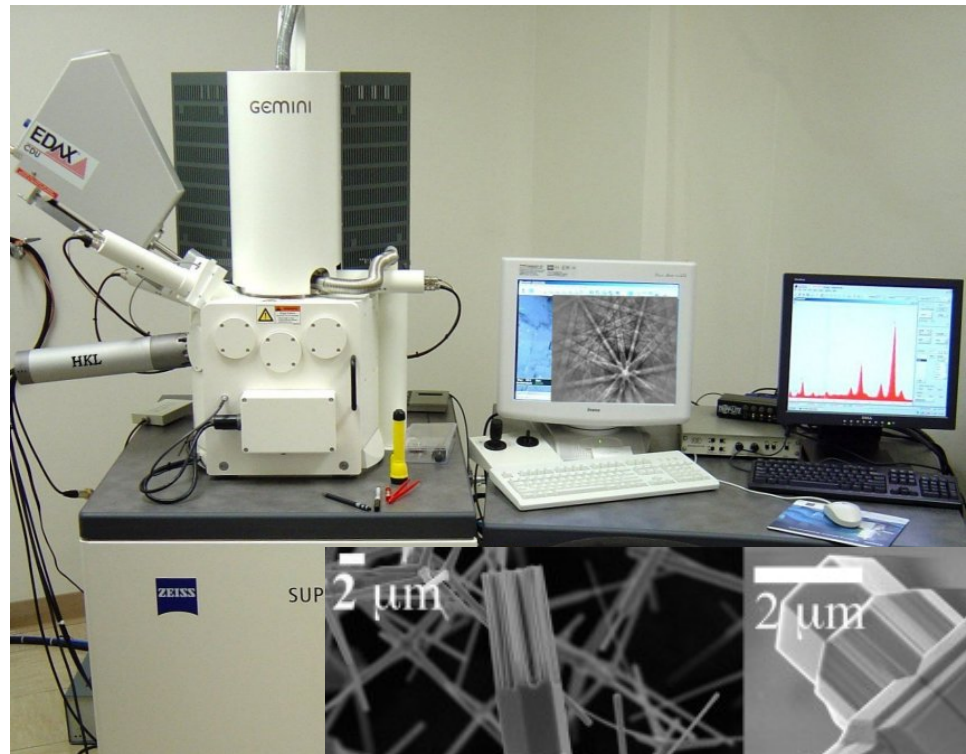
Dai telescopi...



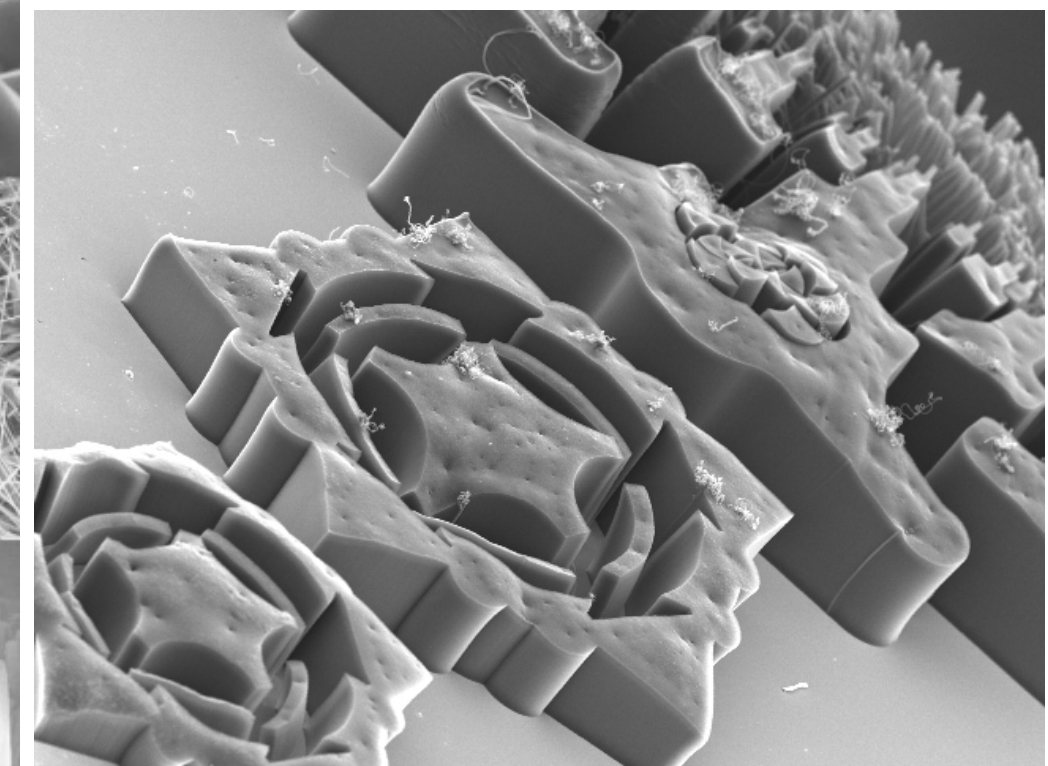
Gravita`



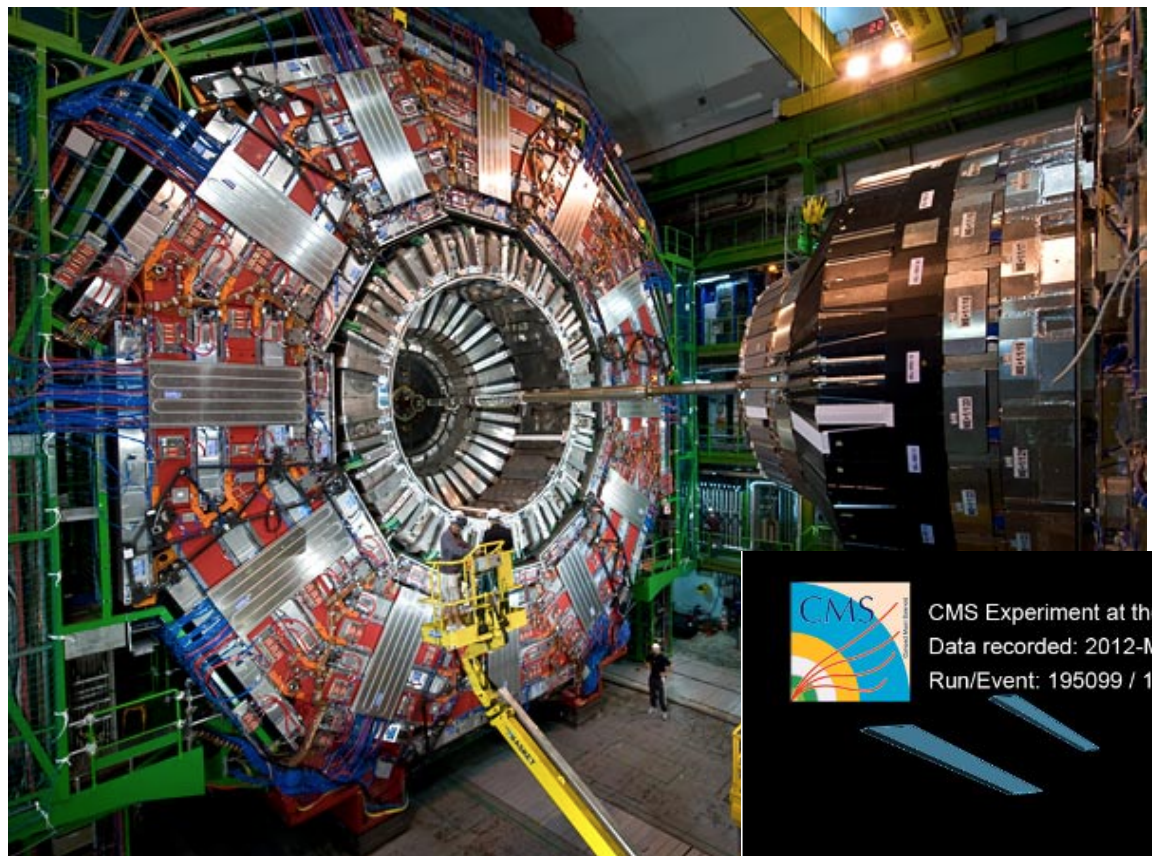
... ai microscopi...



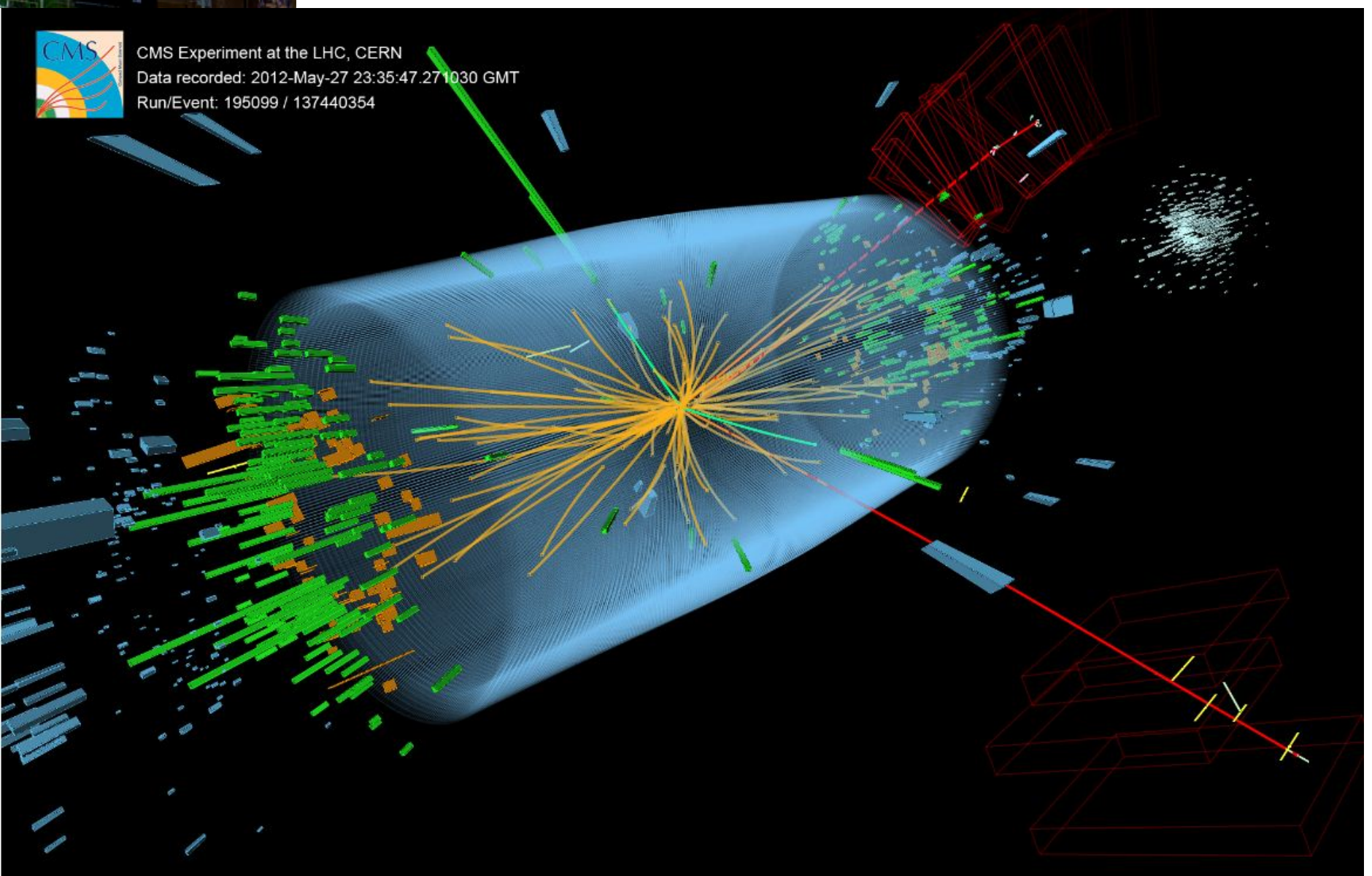
Elettromagnetismo



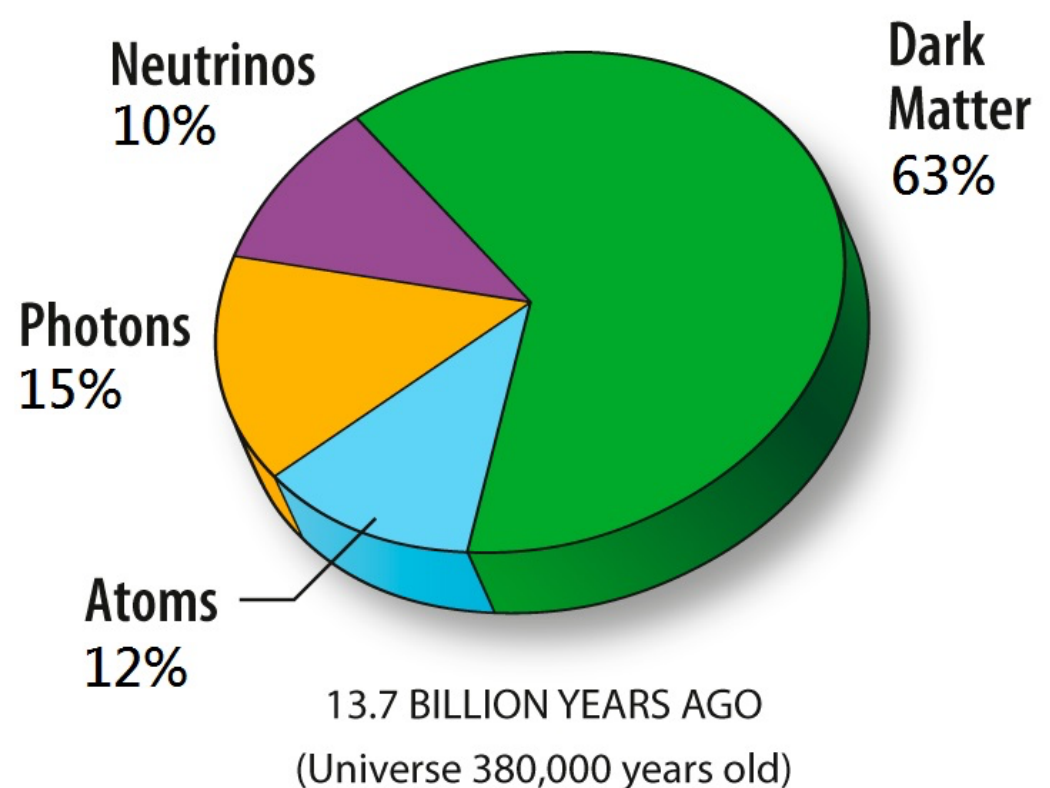
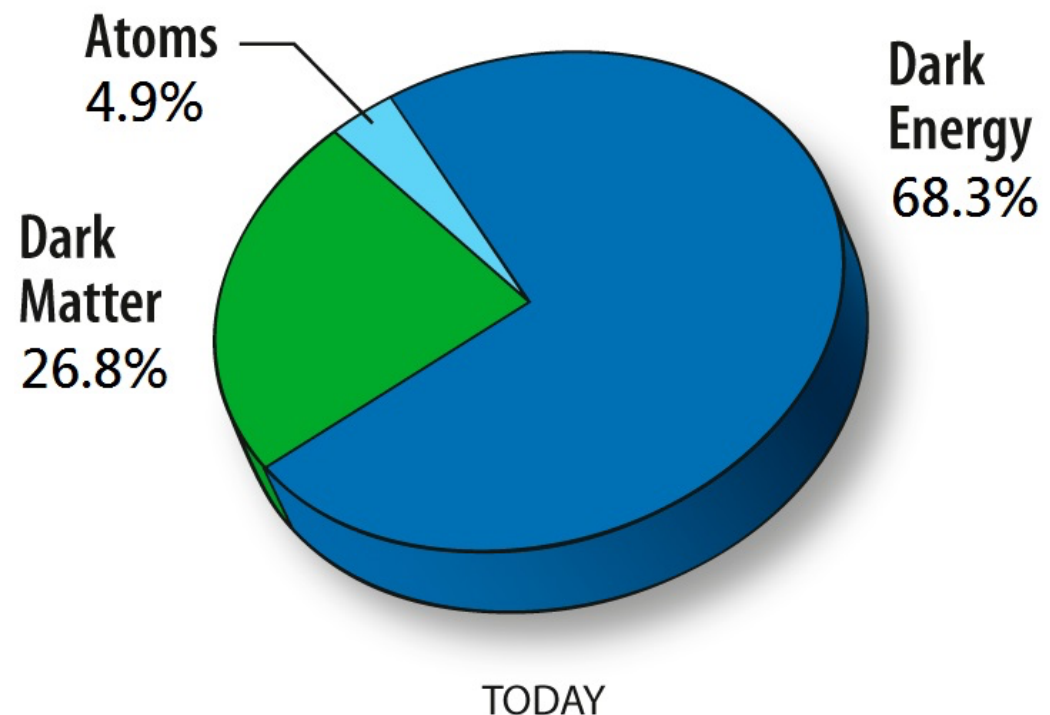
... a rivelatori di particelle



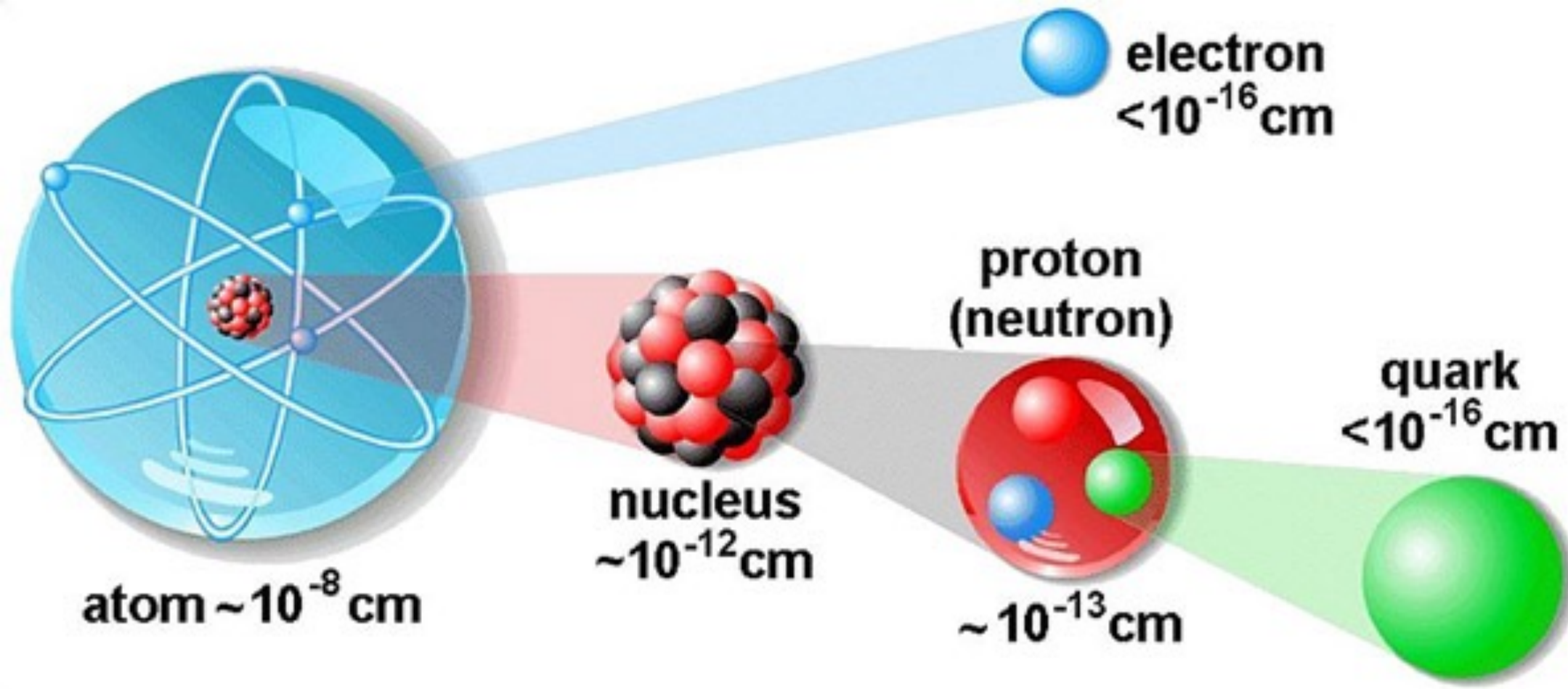
Interazioni forti ed elettrodeboli



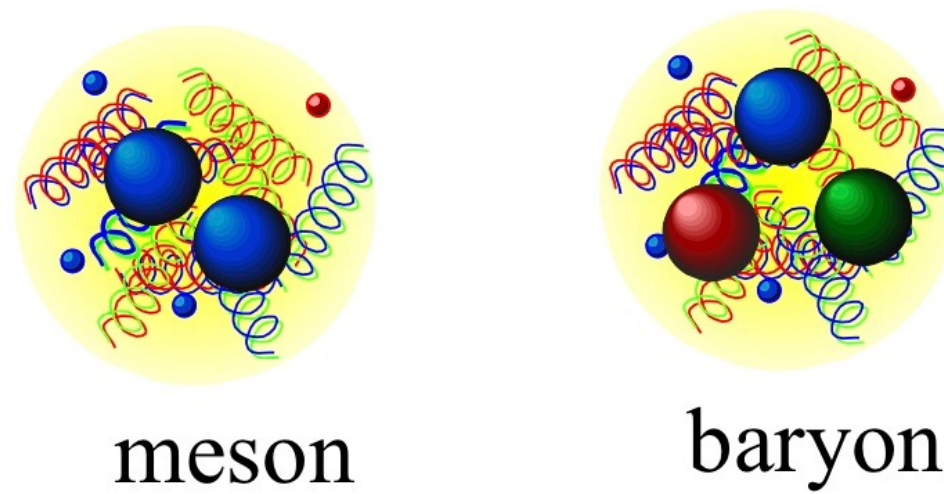
Composizione dell'Universo



Materia ordinaria

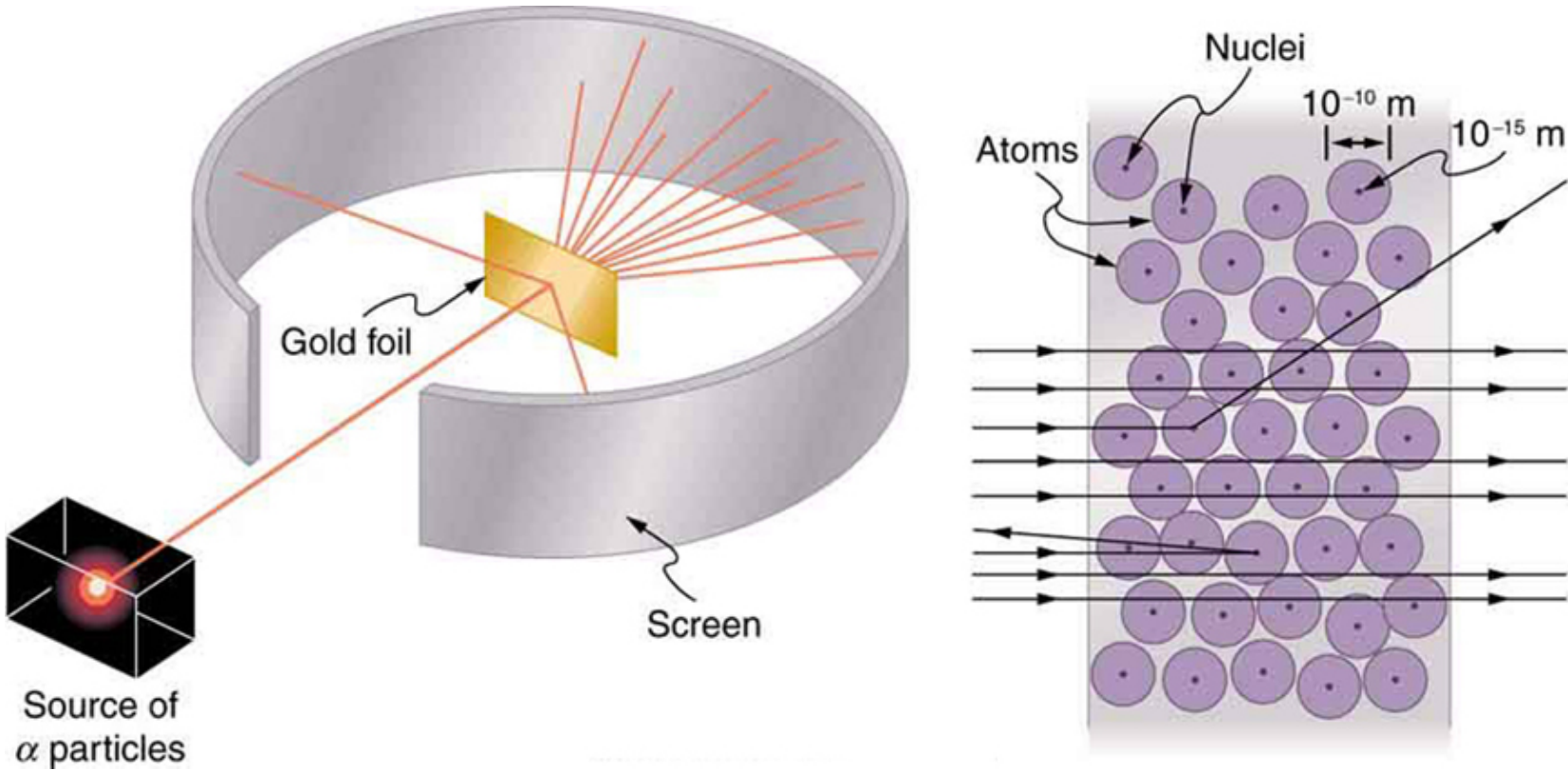


Mainly produced
in laboratory

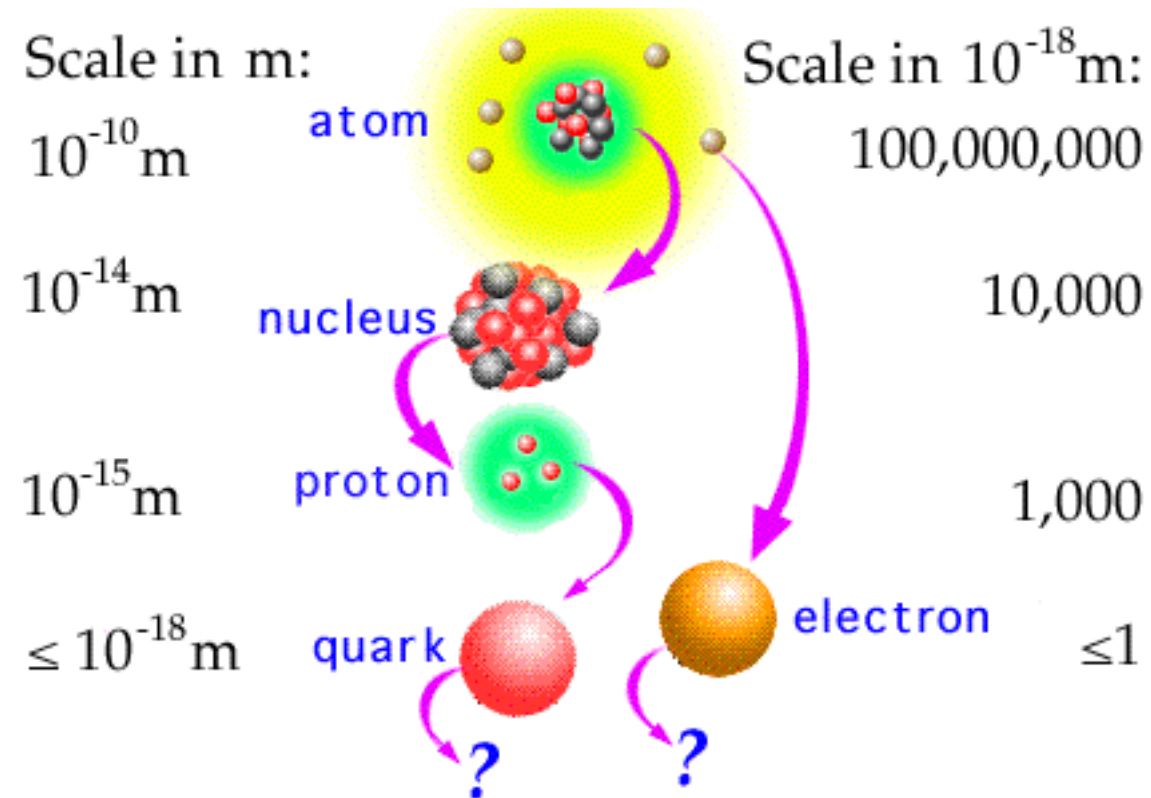


Ordinary matter

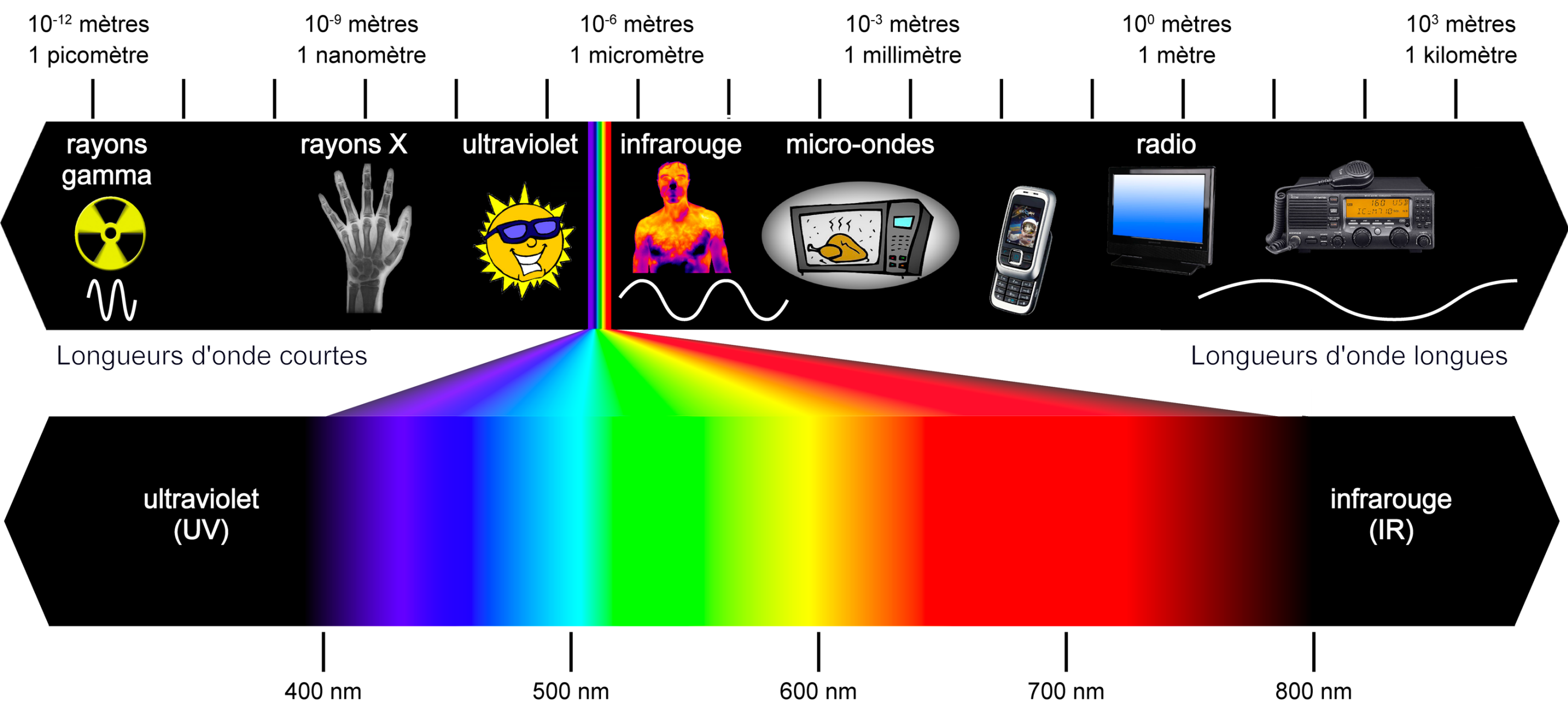
Frontiera di Energia



- ▷ Dualità onda-particella la chiave per esplorare la struttura della materia
- ▷ Energia più alta equivale a
 - lunghezza d'onda più piccola $E \approx 1/\lambda$
 - risolvere costituenti più piccoli
 - temperature più alte $E = kT$
 - ricreare condizioni simili al big bang



Spettro Elettromagnetico



Materia

▷ Almost all visible matter composed of

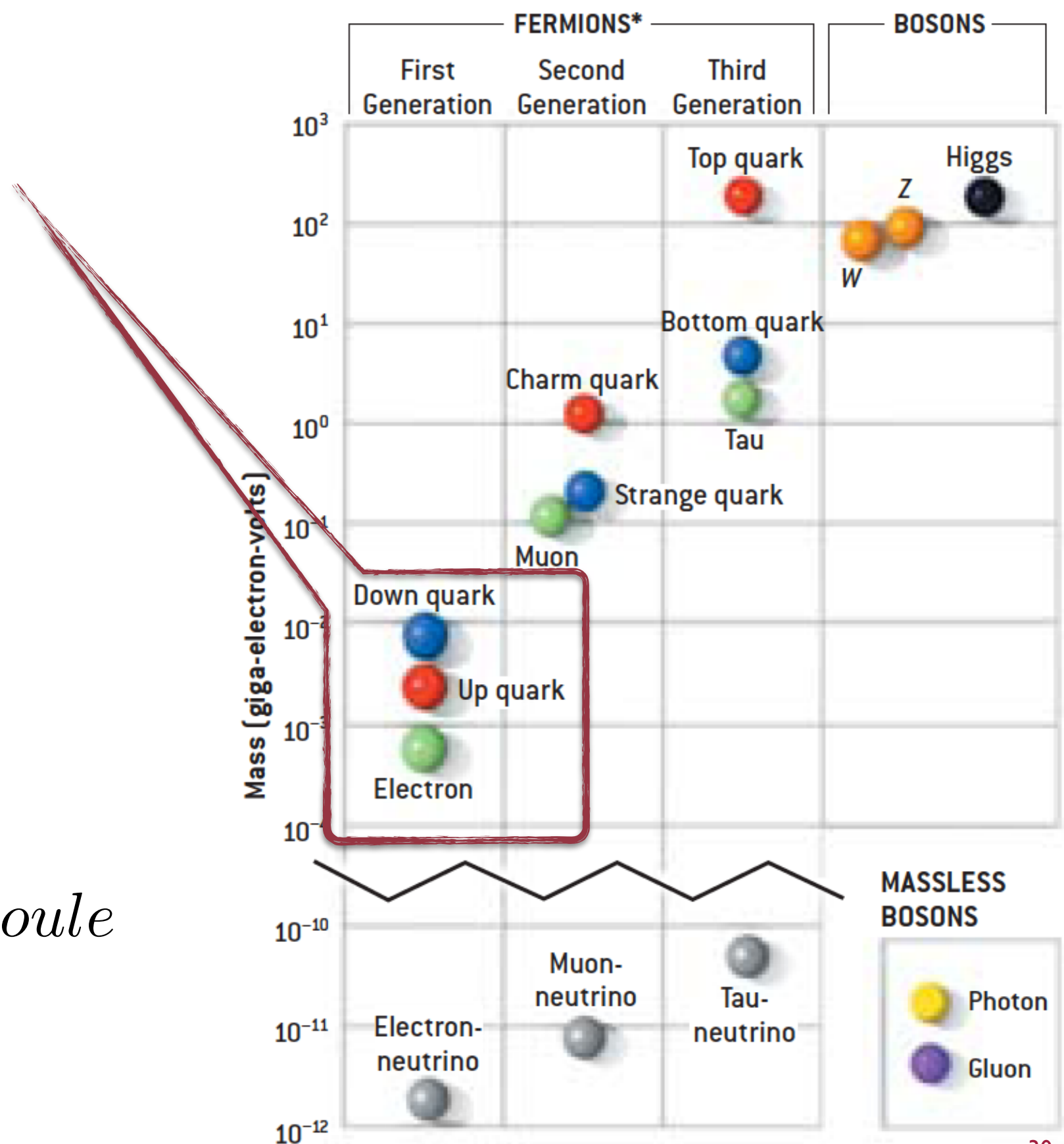
- up and down quarks
- electrons

▷ All particles produced in laboratories and in universe made of elementary fermions

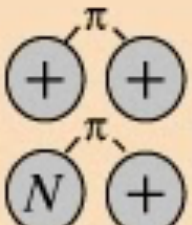
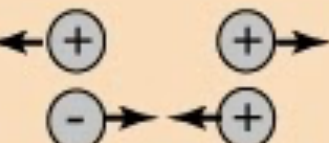
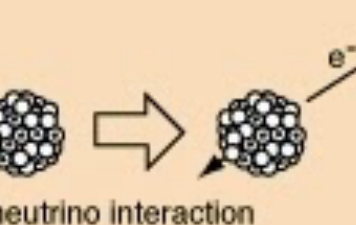
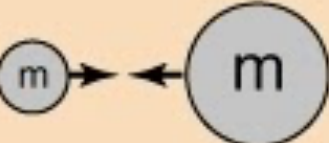
- 3 families of leptons
- 3 families of quarks

$$1 \text{ eV} = 1.6 \times 10^{-19} \text{ joule}$$

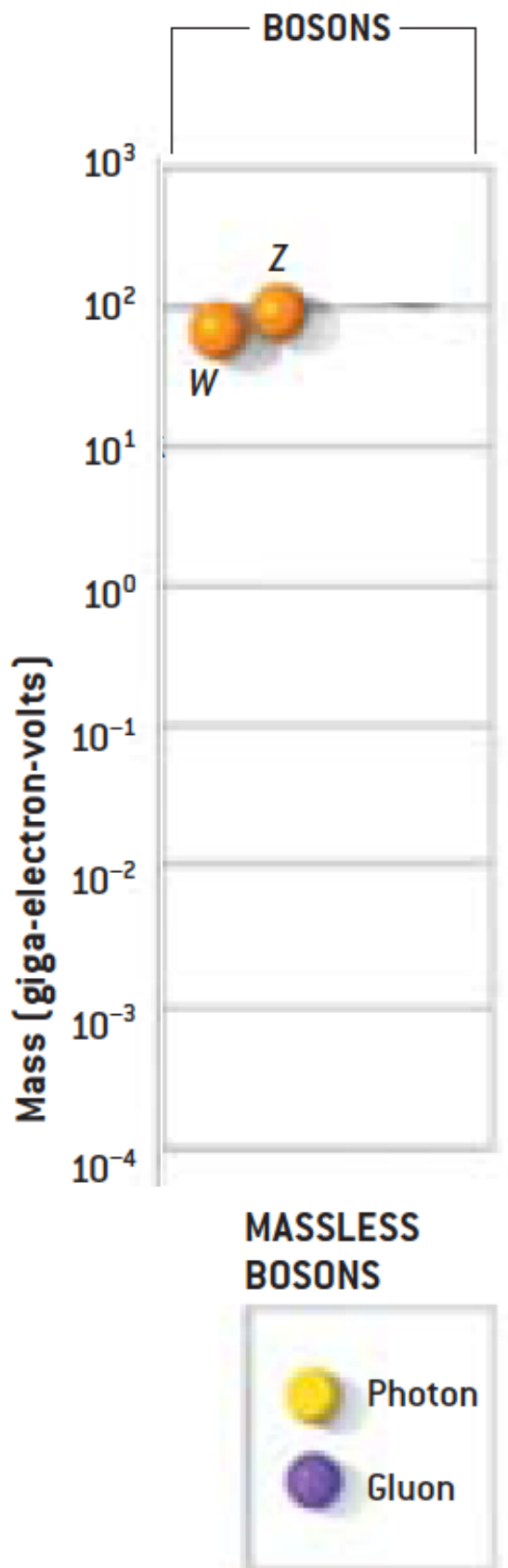
$$E = mc^2$$



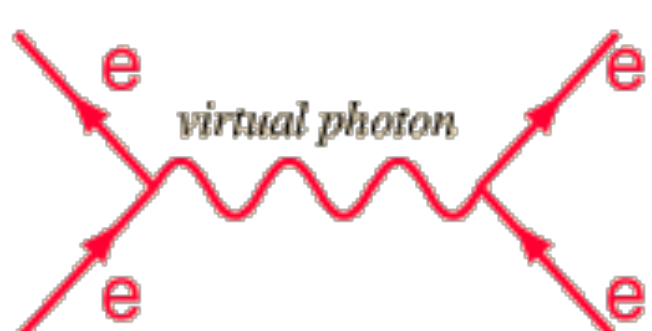
Fundamental Forces

	Strength	Range (m)	Particle
<i>Strong</i>		Force which holds nucleus together 1 10^{-15} (diameter of a medium sized nucleus)	gluons, π (nucleons)
<i>Electro-magnetic</i>		Strength $\frac{1}{137}$ Infinite	photon mass = 0 spin = 1
<i>Weak</i>		Strength 10^{-6} 10^{-18} (0.1% of the diameter of a proton)	Intermediate vector bosons W^+ , W^- , Z_0 , mass > 80 GeV spin = 1
<i>Gravity</i>		Strength 6×10^{-39} Infinite	graviton ? mass = 0 spin = 2

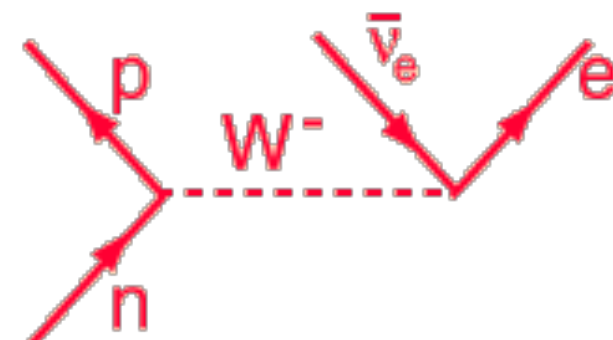
- ▷ Nella fisica moderna le interazioni sono mediate da scambio di particelle
- ▷ Le particelle si possono propagare al massimo alla velocità della luce



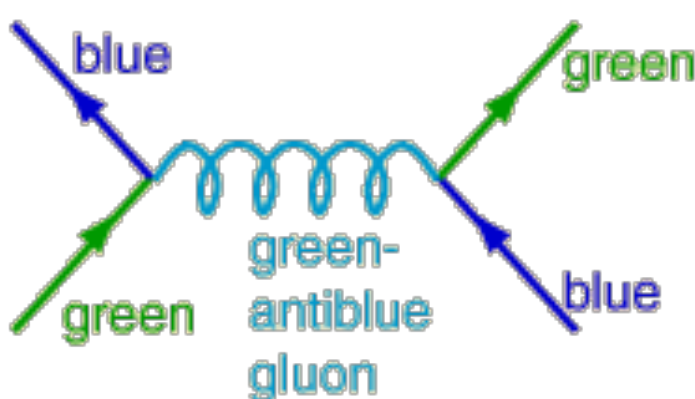
Interazione mediata da particelle



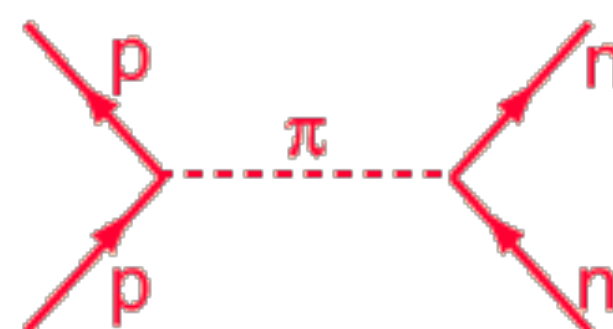
Electromagnetic



Weak



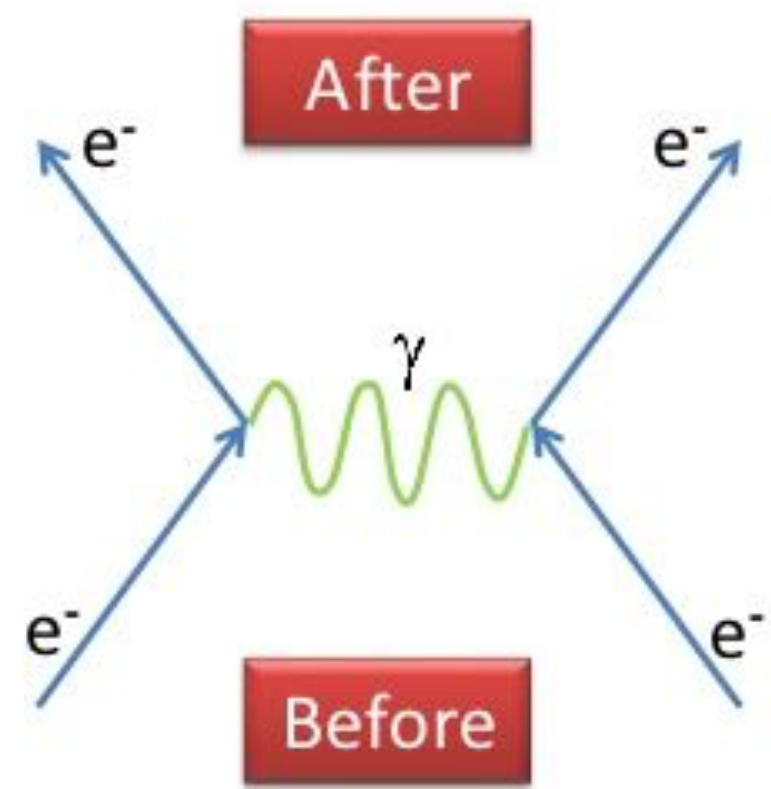
between quarks



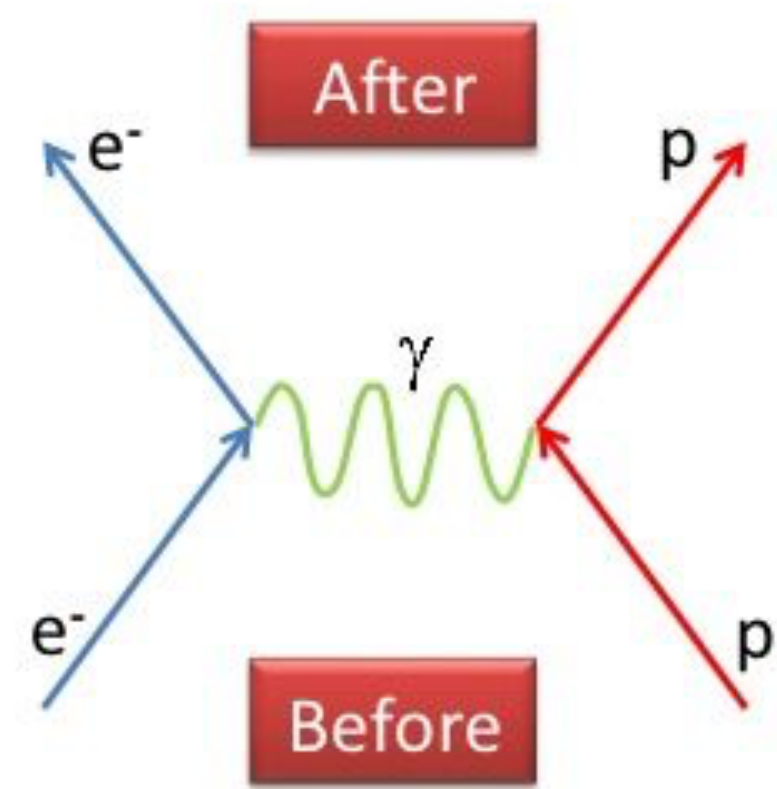
between nucleons

Strong Interaction

Interazione elettromagnetica

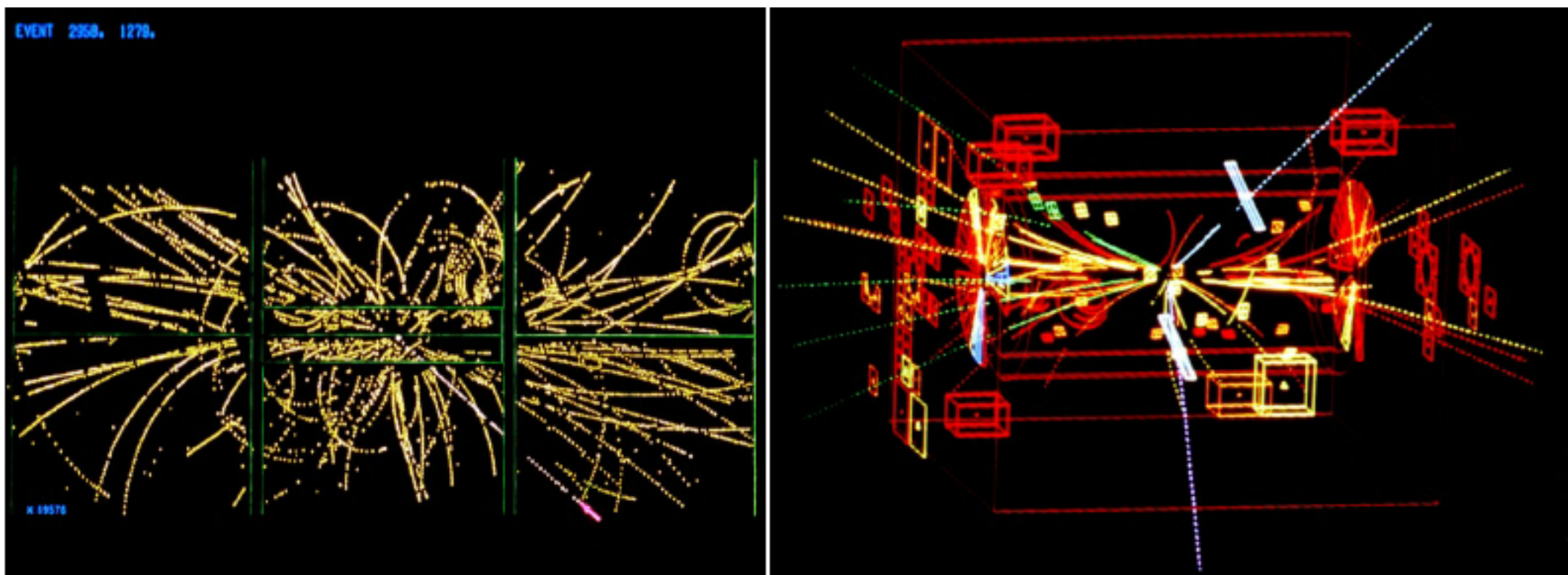
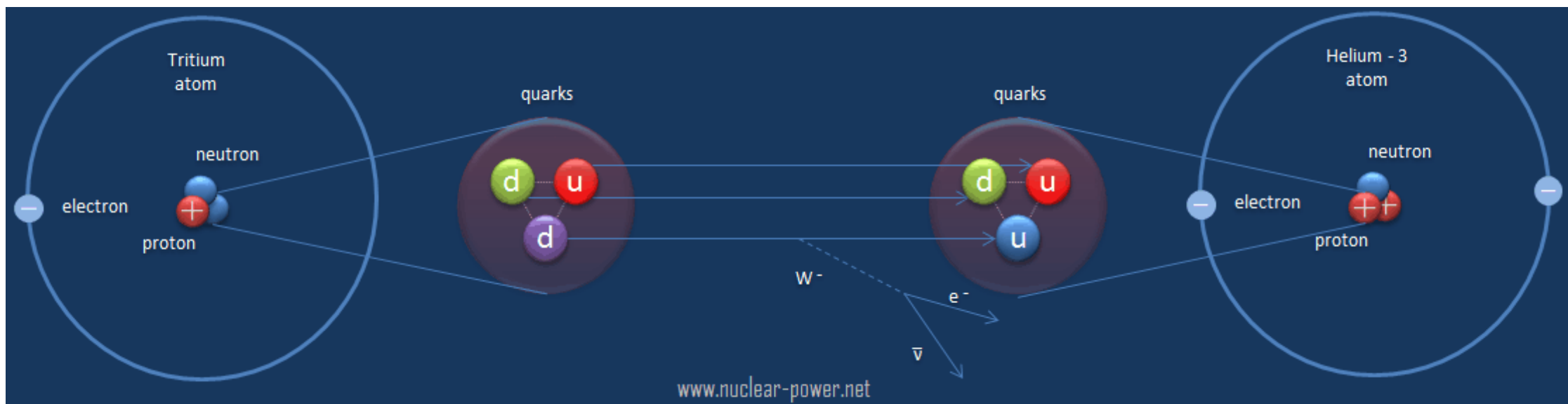


electron – electron repulsion



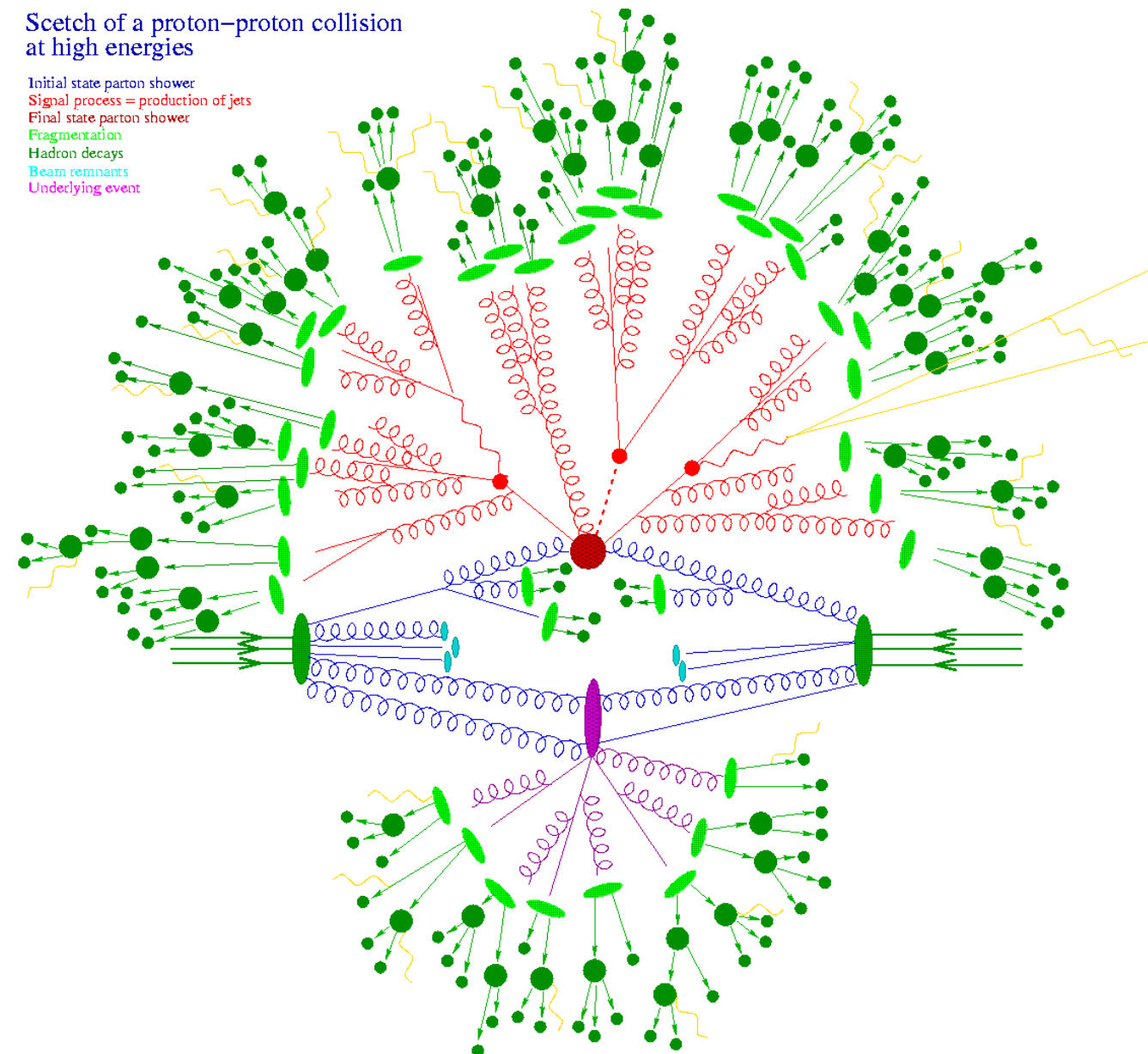
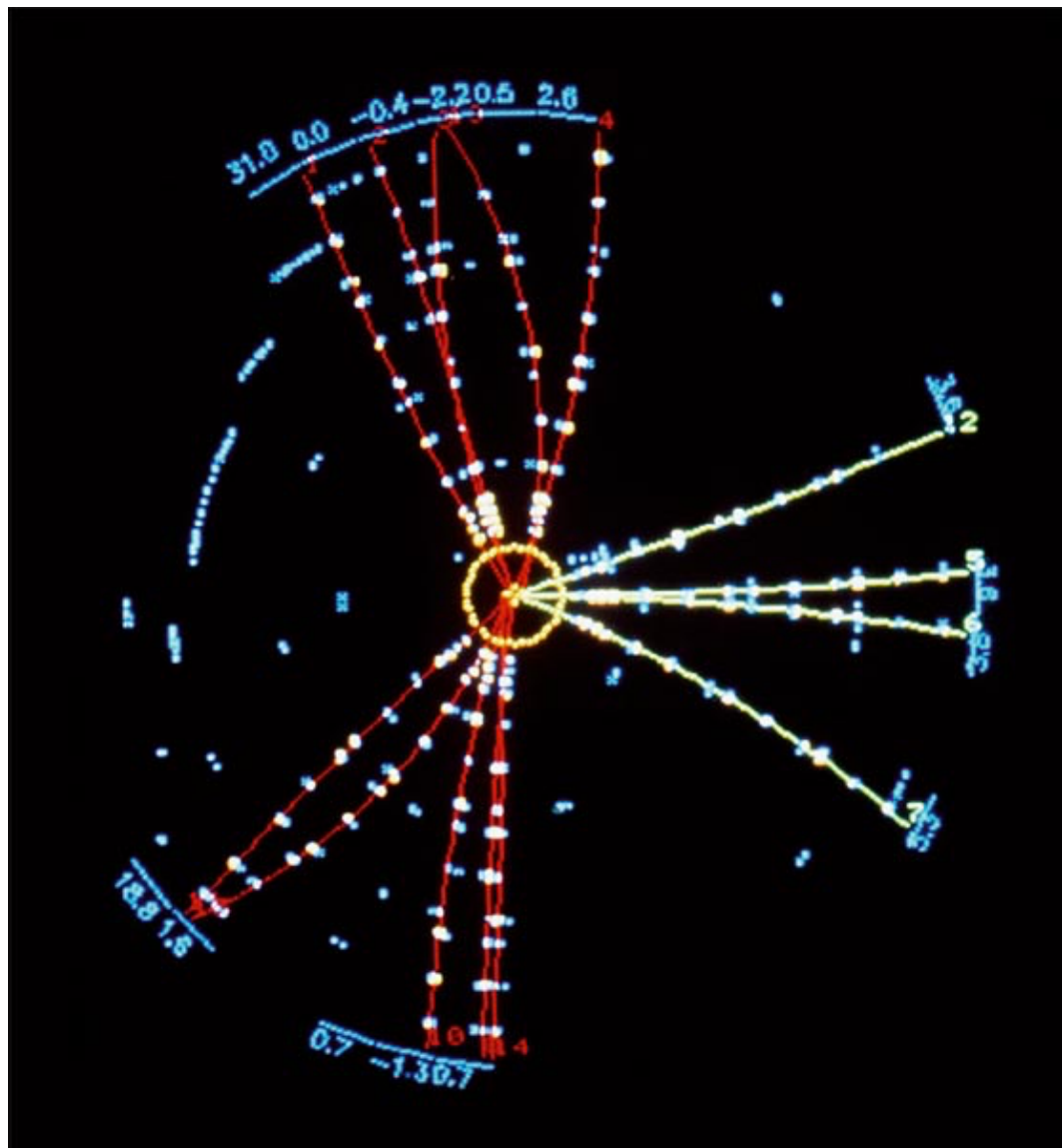
electron – proton attraction

Interazione debole



- ▷ Bosoni W e Z scoperti nel 1983 al CERN
 - premio nobel per la fisica nel 1984

Interazione forte

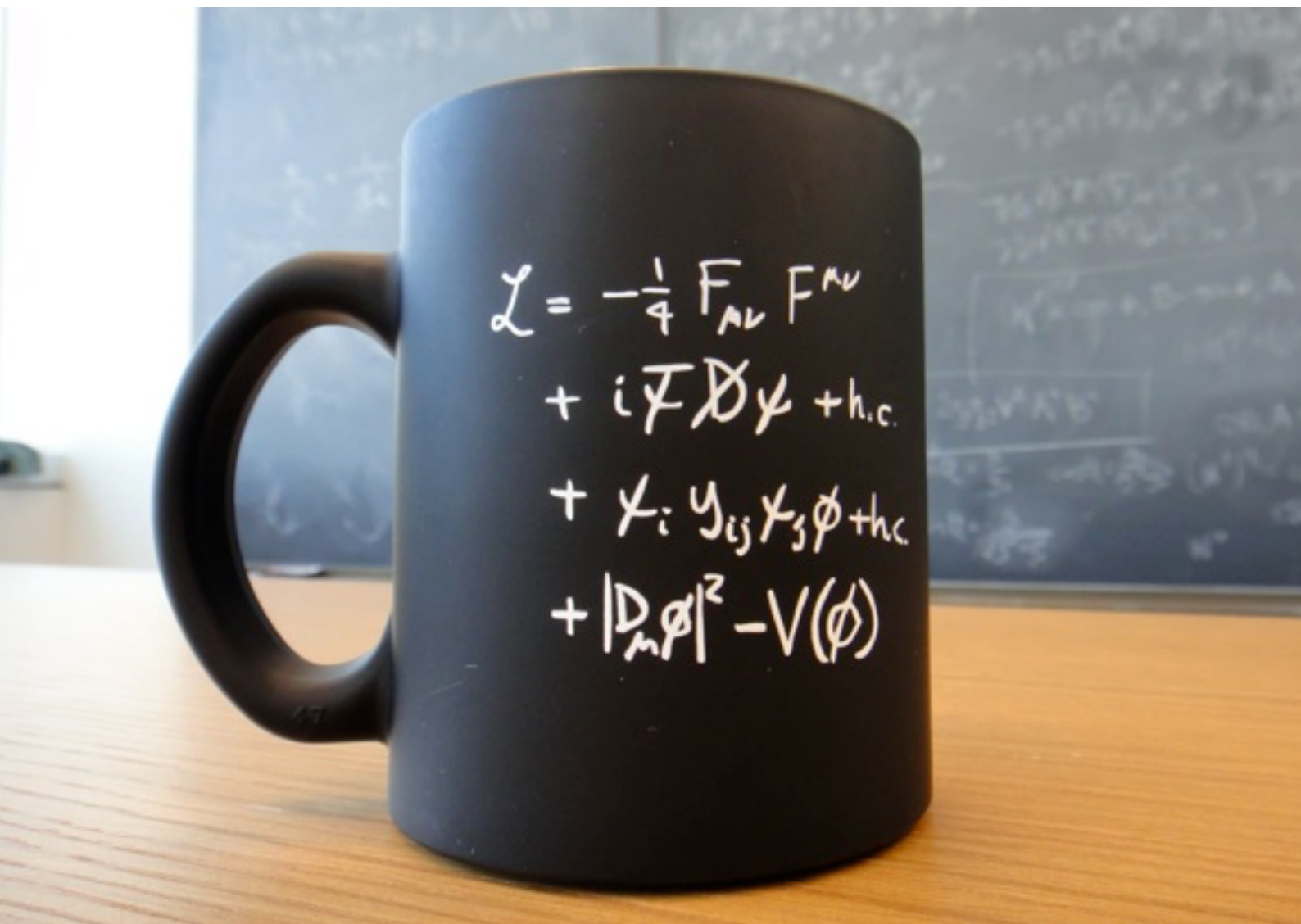


- ▷ gluons furono scoperti nel 1979
 - ci sono 8 tipi o colori diversi di loro che mediano quark di 3 colori diversi

Standard Model of Elementary Particles

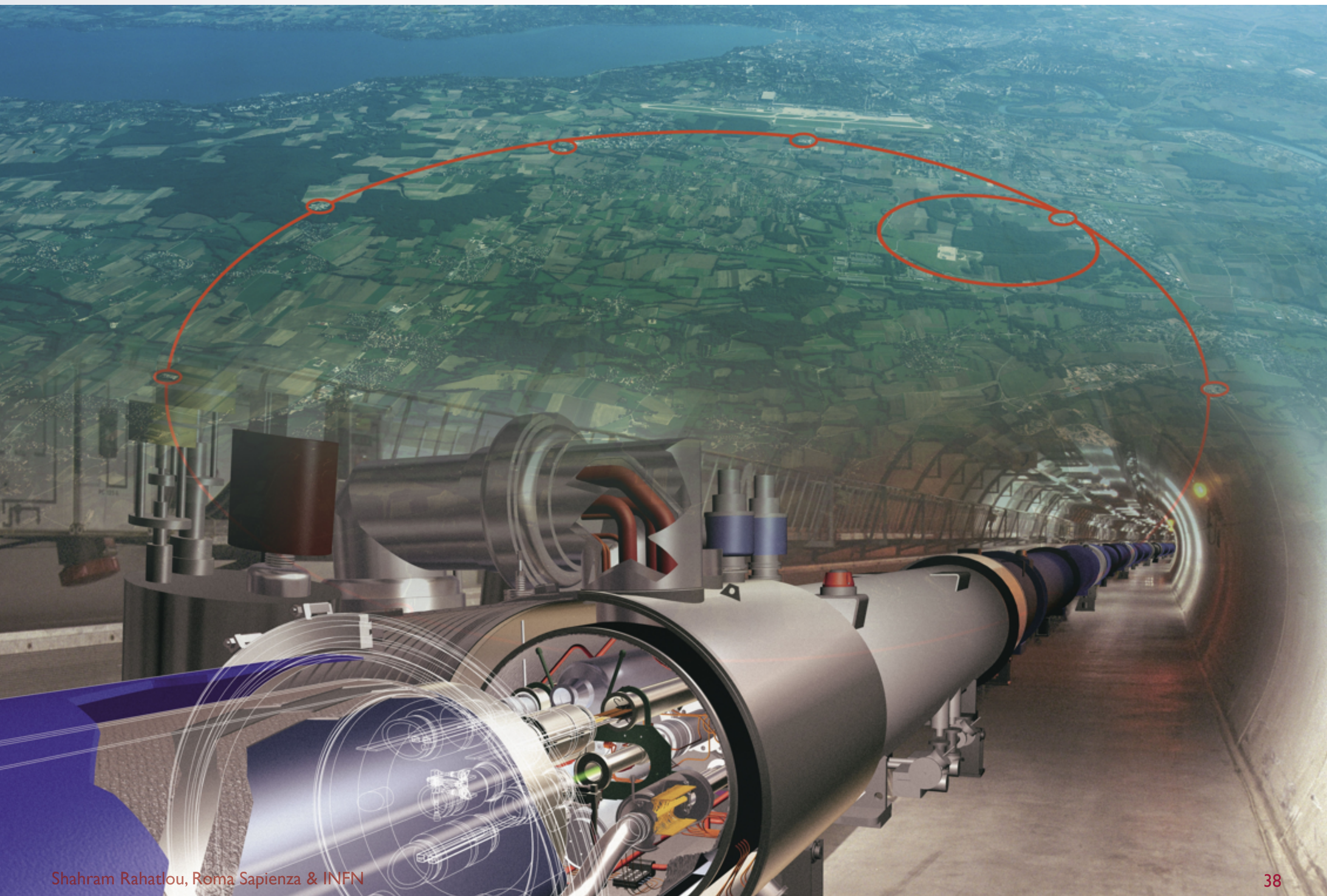
three generations of matter (fermions)				interactions / force carriers (bosons)	
	I	II	III		
QUARKS	mass $\approx 2.2 \text{ MeV}/c^2$ charge $2/3$ spin $1/2$	mass $\approx 1.28 \text{ GeV}/c^2$ charge $2/3$ spin $1/2$	mass $\approx 173.1 \text{ GeV}/c^2$ charge $2/3$ spin $1/2$	mass 0 charge 0 spin 1	mass $\approx 125.09 \text{ GeV}/c^2$ charge 0 spin 0
	u up	c charm	t top	g gluon	H higgs
	mass $\approx 4.7 \text{ MeV}/c^2$ charge $-1/3$ spin $1/2$	mass $\approx 96 \text{ MeV}/c^2$ charge $-1/3$ spin $1/2$	mass $\approx 4.18 \text{ GeV}/c^2$ charge $-1/3$ spin $1/2$	mass 0 charge 0 spin 1	γ photon
	d down	s strange	b bottom		
	mass $\approx 0.511 \text{ MeV}/c^2$ charge -1 spin $1/2$	mass $\approx 105.66 \text{ MeV}/c^2$ charge -1 spin $1/2$	mass $\approx 1.7768 \text{ GeV}/c^2$ charge -1 spin $1/2$	mass $\approx 91.19 \text{ GeV}/c^2$ charge 0 spin 1	Z Z boson
	e electron	μ muon	τ tau		
	mass $< 2.2 \text{ eV}/c^2$ charge 0 spin $1/2$	mass $< 1.7 \text{ MeV}/c^2$ charge 0 spin $1/2$	mass $< 15.5 \text{ MeV}/c^2$ charge 0 spin $1/2$	mass $\approx 80.39 \text{ GeV}/c^2$ charge ± 1 spin 1	W W boson
	ν_e electron neutrino	ν_μ muon neutrino	ν_τ tau neutrino		
					SCALAR BOSONS
					GAUGE BOSONS VECTOR BOSONS

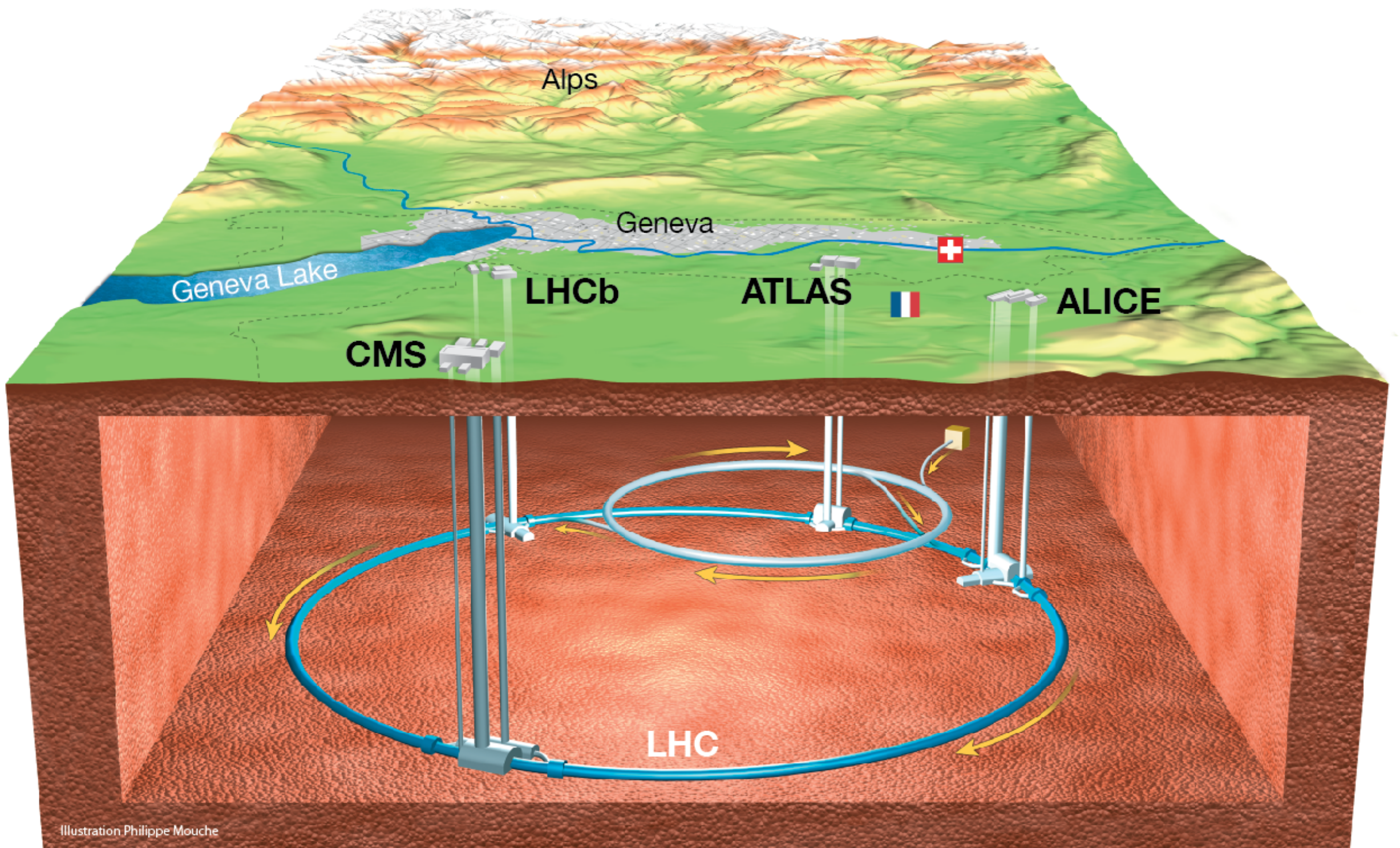
Modello Standard



Describe le interazioni elettromagnetiche, deboli e forti che governano tutti i fenomeni osservati

Studio di interazioni con Large Hadron Collider

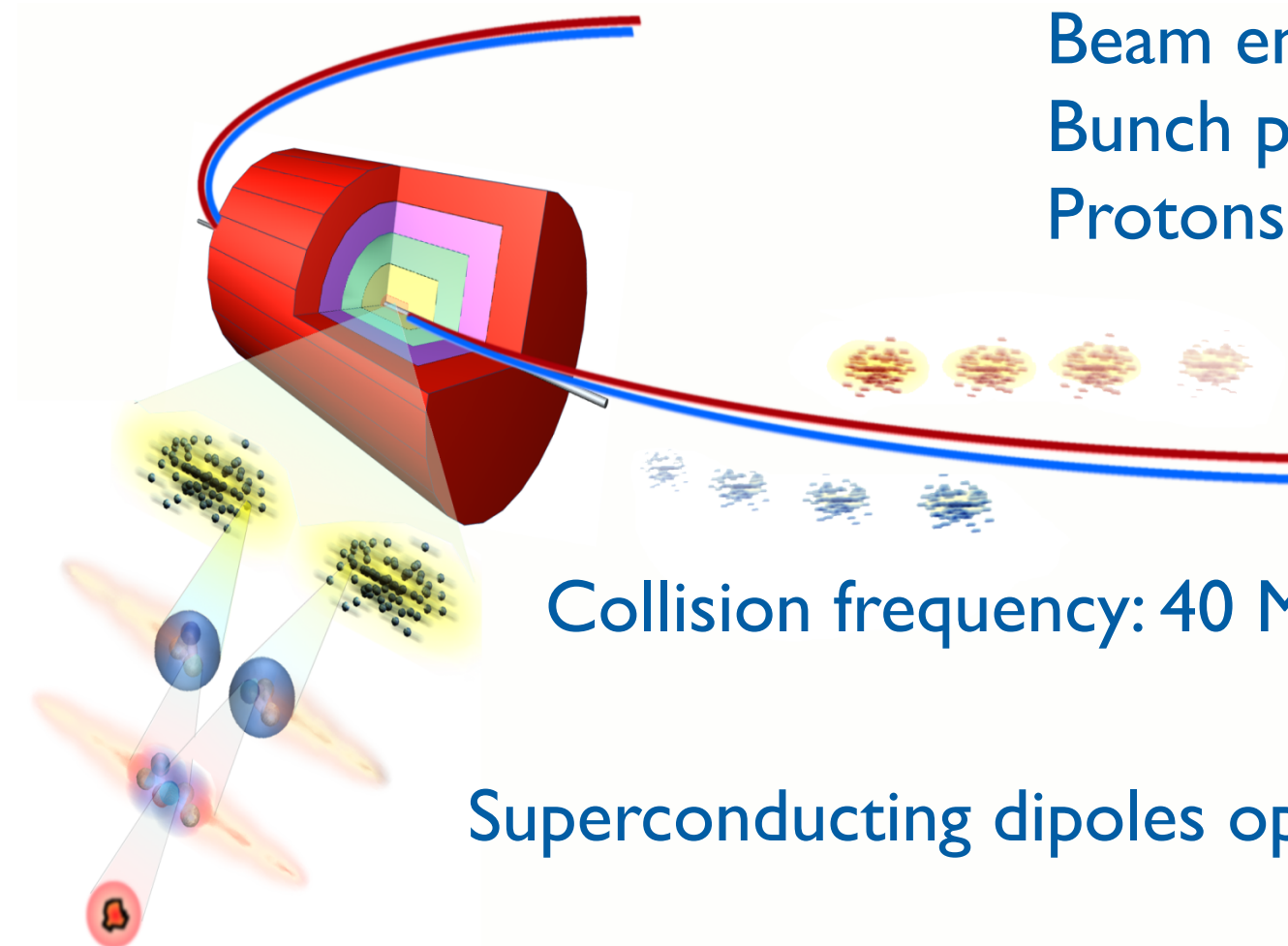




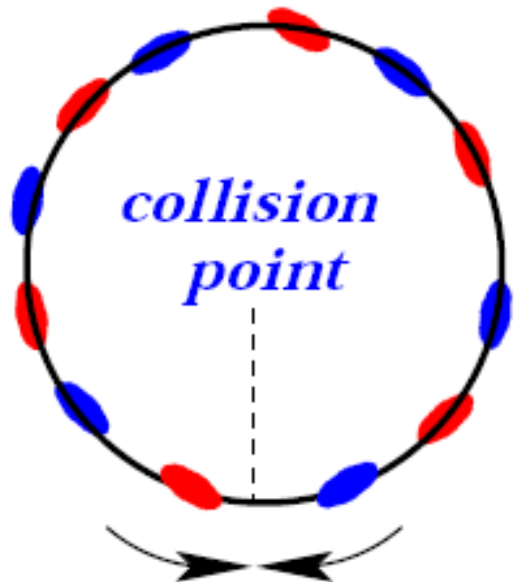
Four Experiments at LHC



Facts About LHC



Beam energy: 7 TeV
Bunch per beam: 2835
Protons per beam: 10^{11}



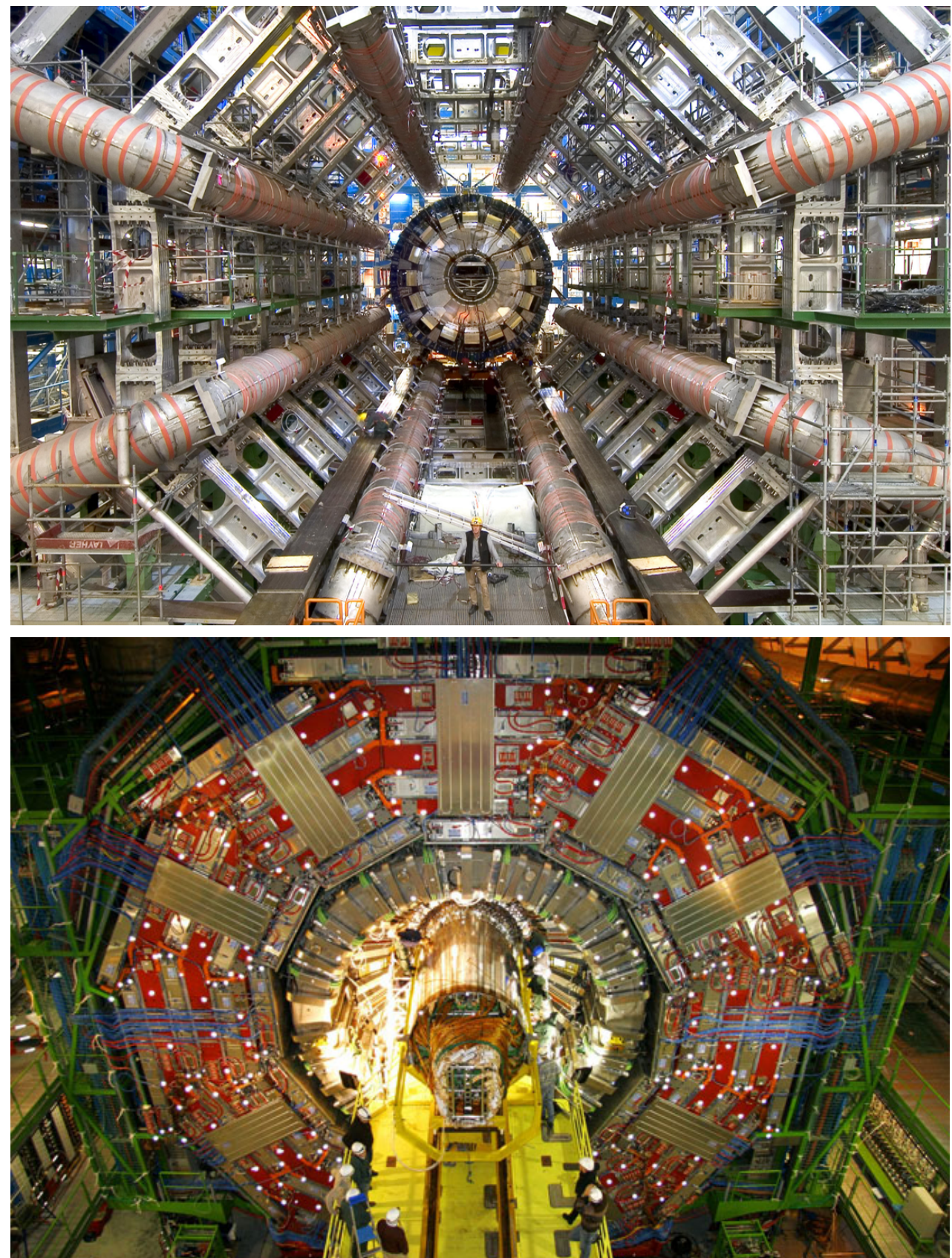
Superconducting dipoles operated at 1.9 K

- ▷ Energy stored in LHC magnets when operating at 14 TeV: 10.4 GJ
 - Enough to melt 12 tons of Copper!
 - The kinetic energy of an A380 at 700 km/hour
- ▷ Kinetic energy of 1 proton bunch: 129 kJ
- ▷ Kinetic energy of beam: 362 MJ

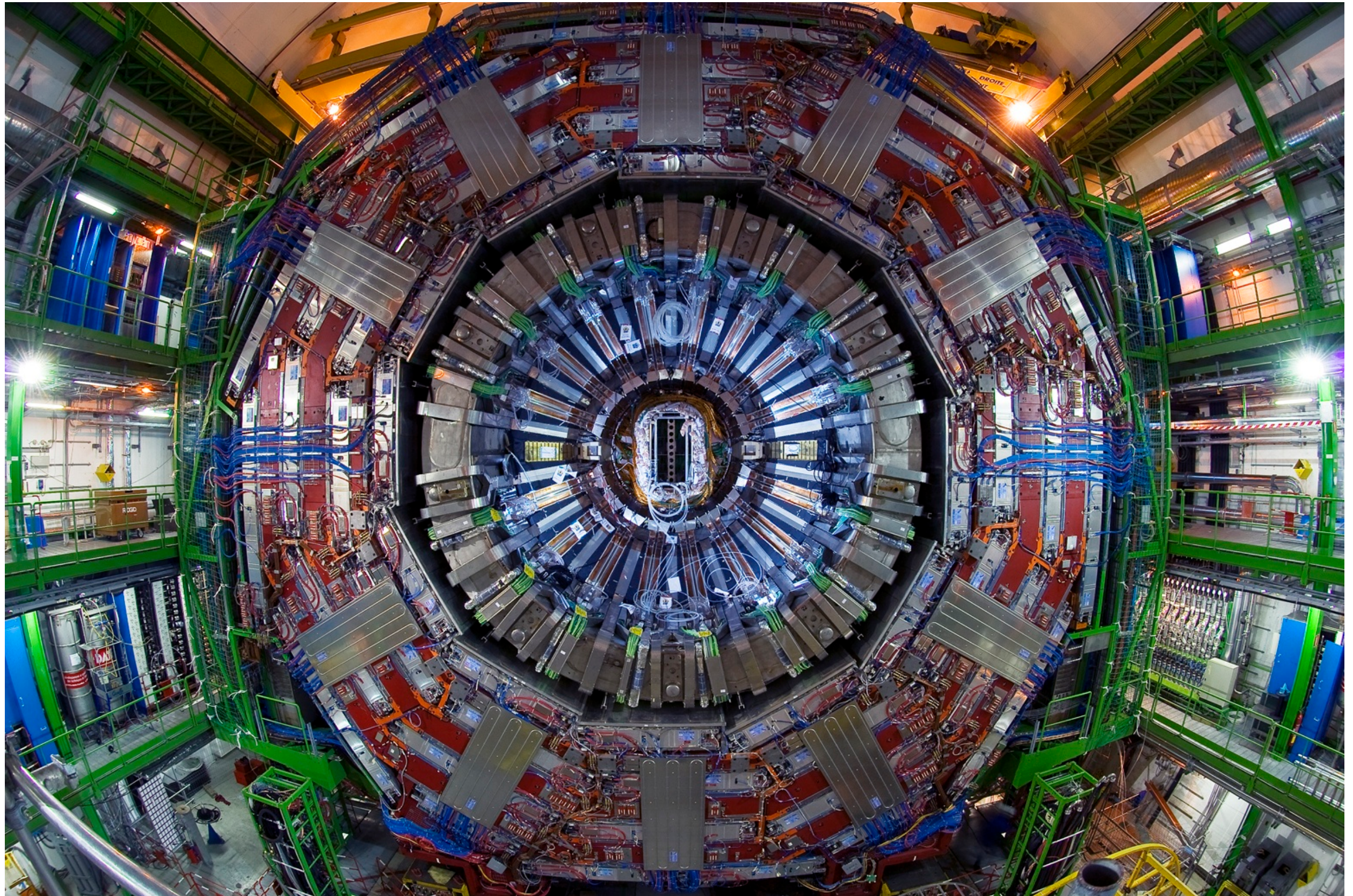


Gigantic Digital Camera

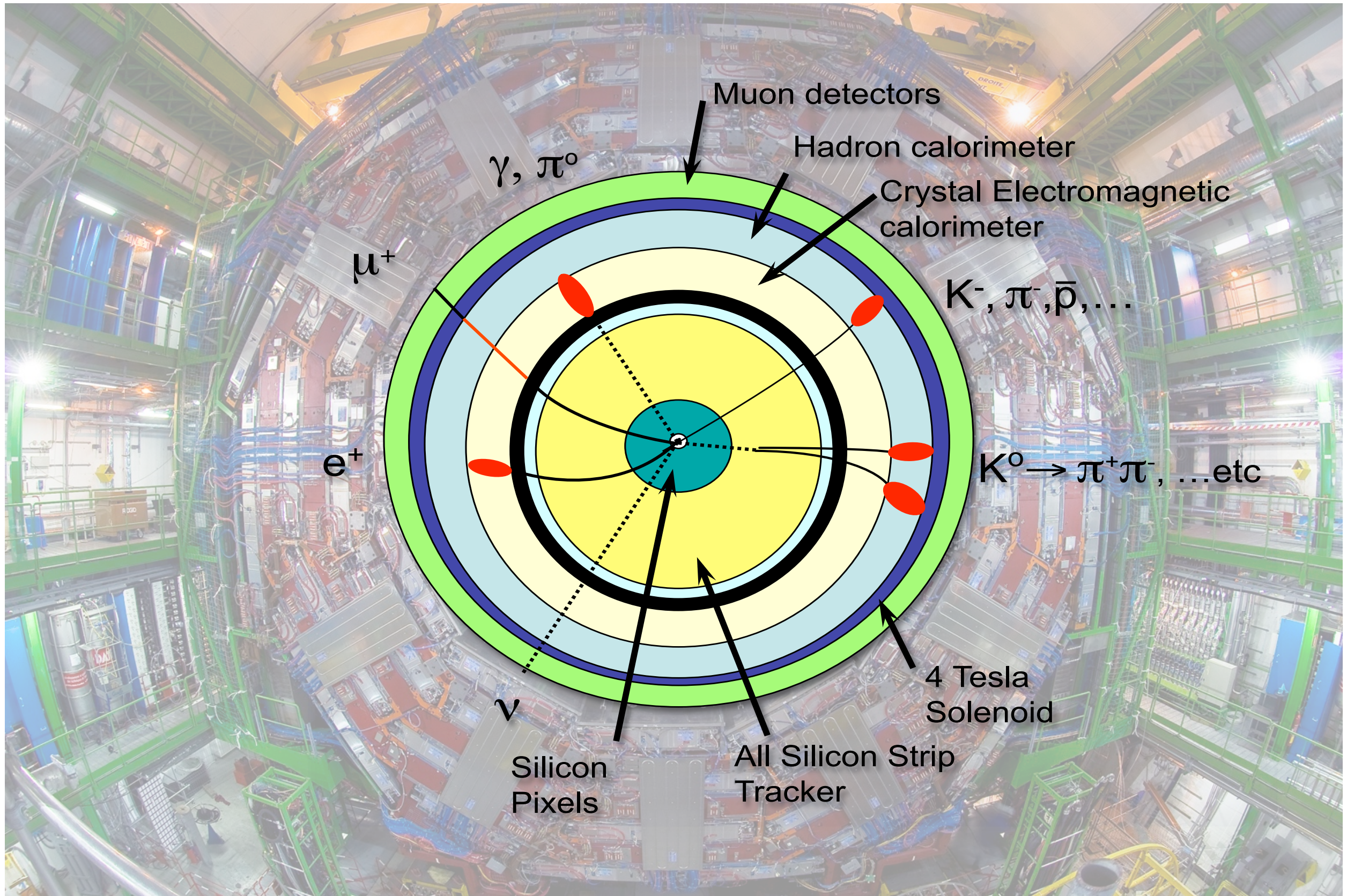
- ▷ Very heavy digital camera
 - 40 million pictures per second
 - Almost 100 million pixels
 - 3D pictures
- ▷ >100'000 of CPUs used to quickly filter data
 - 10'000 pictures selected each second
- ▷ Only 1000 pictures stored on disk
 - pictures selected within 100 ms
- ▷ 22 million GigaByte of data each year (>1 million DVD)
 - Data hosted and analyzed at computing centers worldwide
 - Sapienza Roma is part of the network



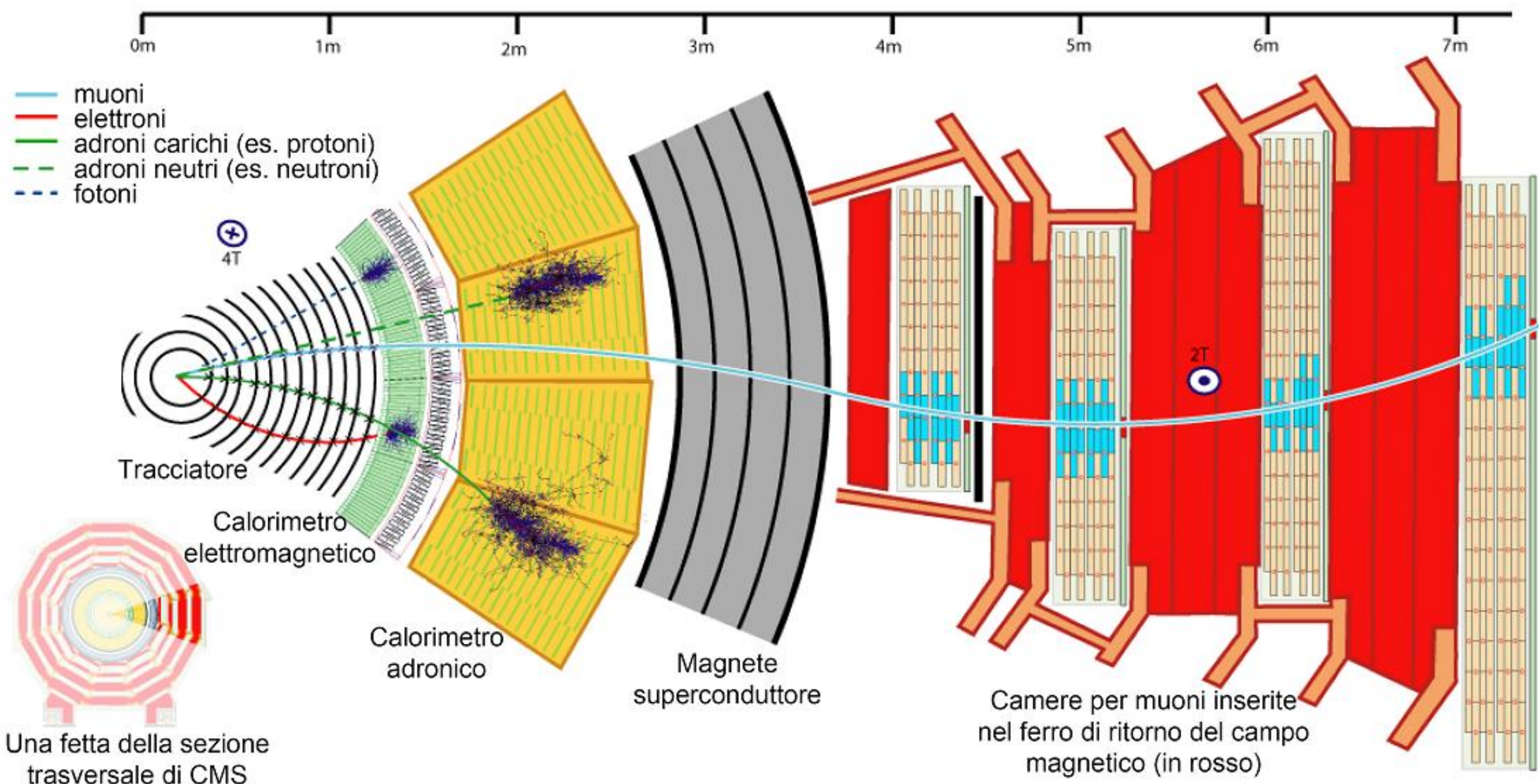
Compact Muon Solenoid



Compact Muon Solenoid

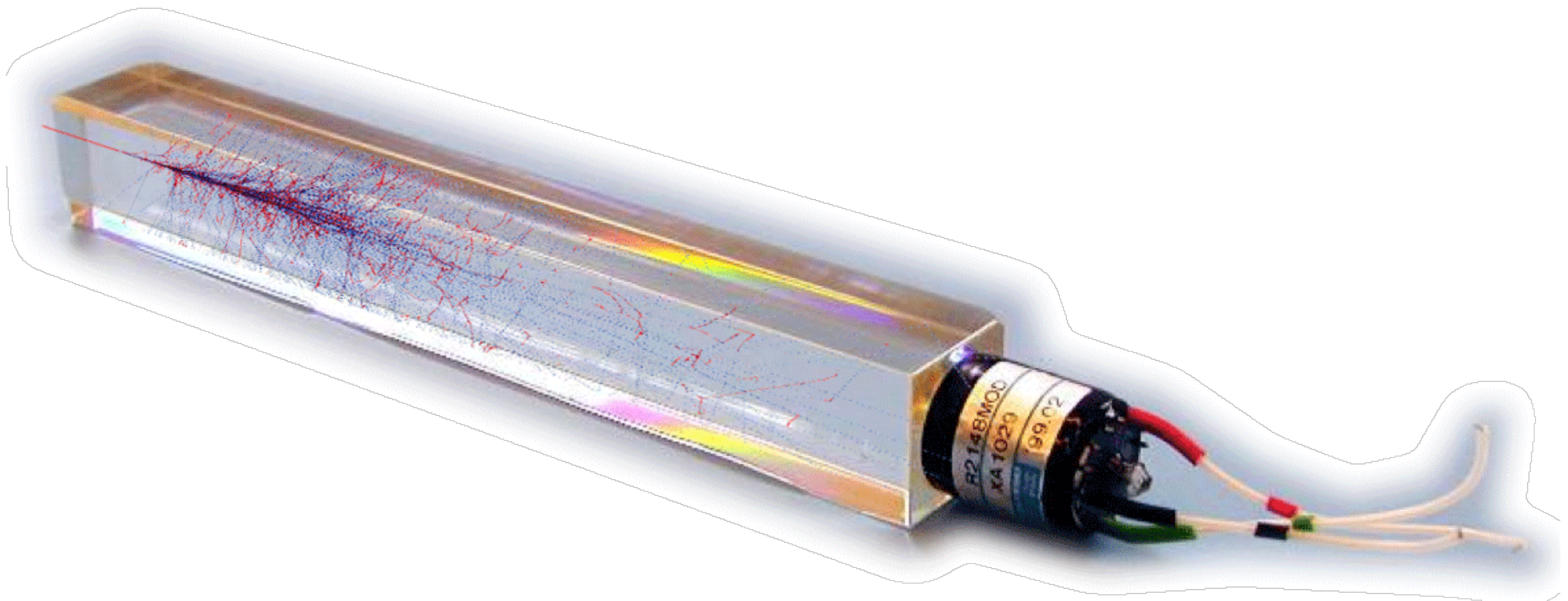


Particle Detection and Identification

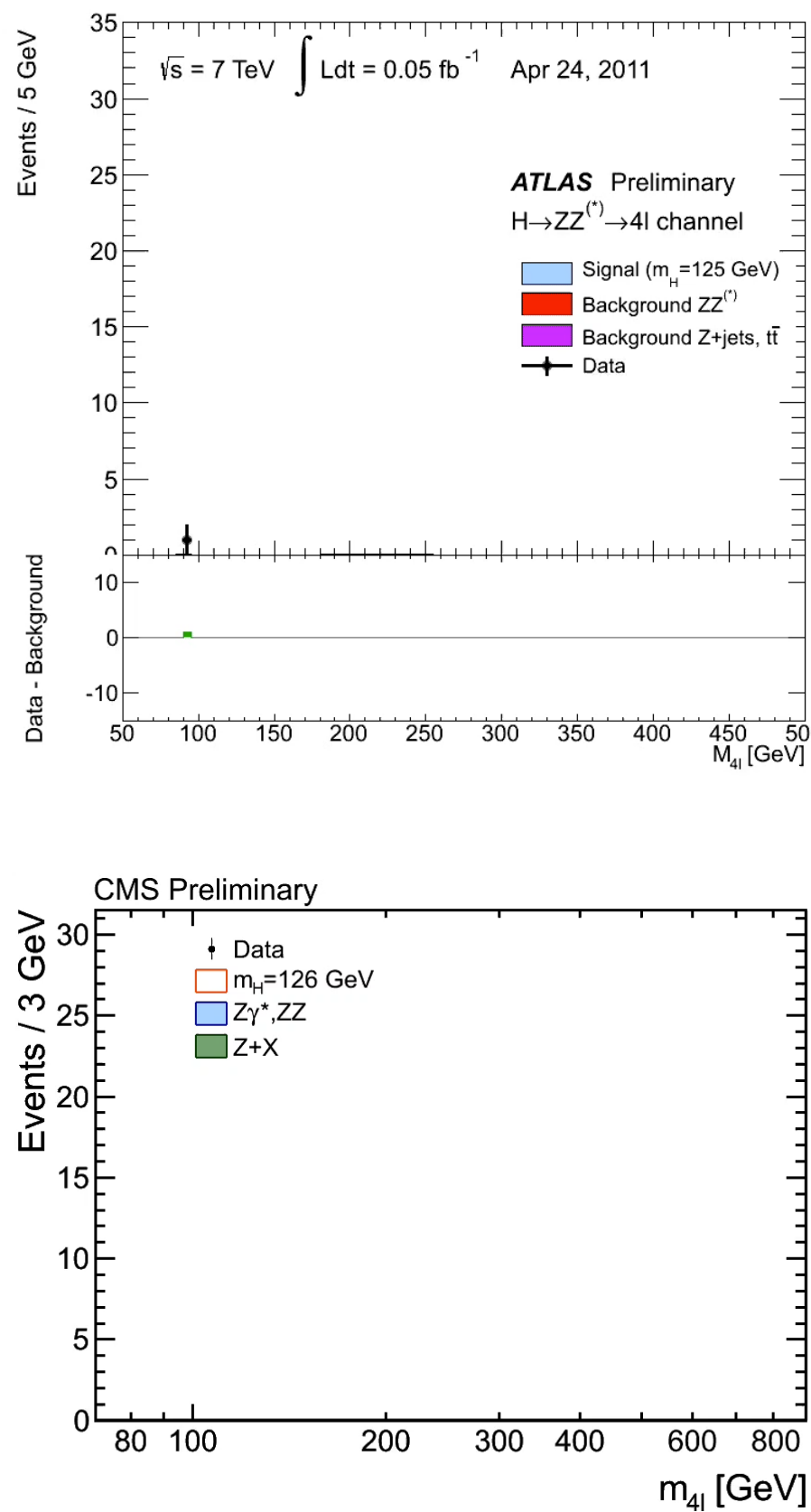
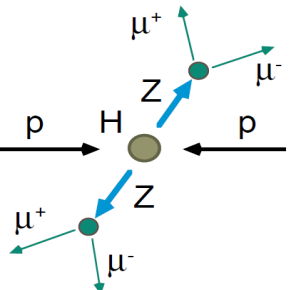


- ▷ Detectors record signals from charged particles and photons
- ▷ Simple kinematics with **momentum** and **energy**
- ▷ Energy and momentum **conservation** used to discriminate signal and background

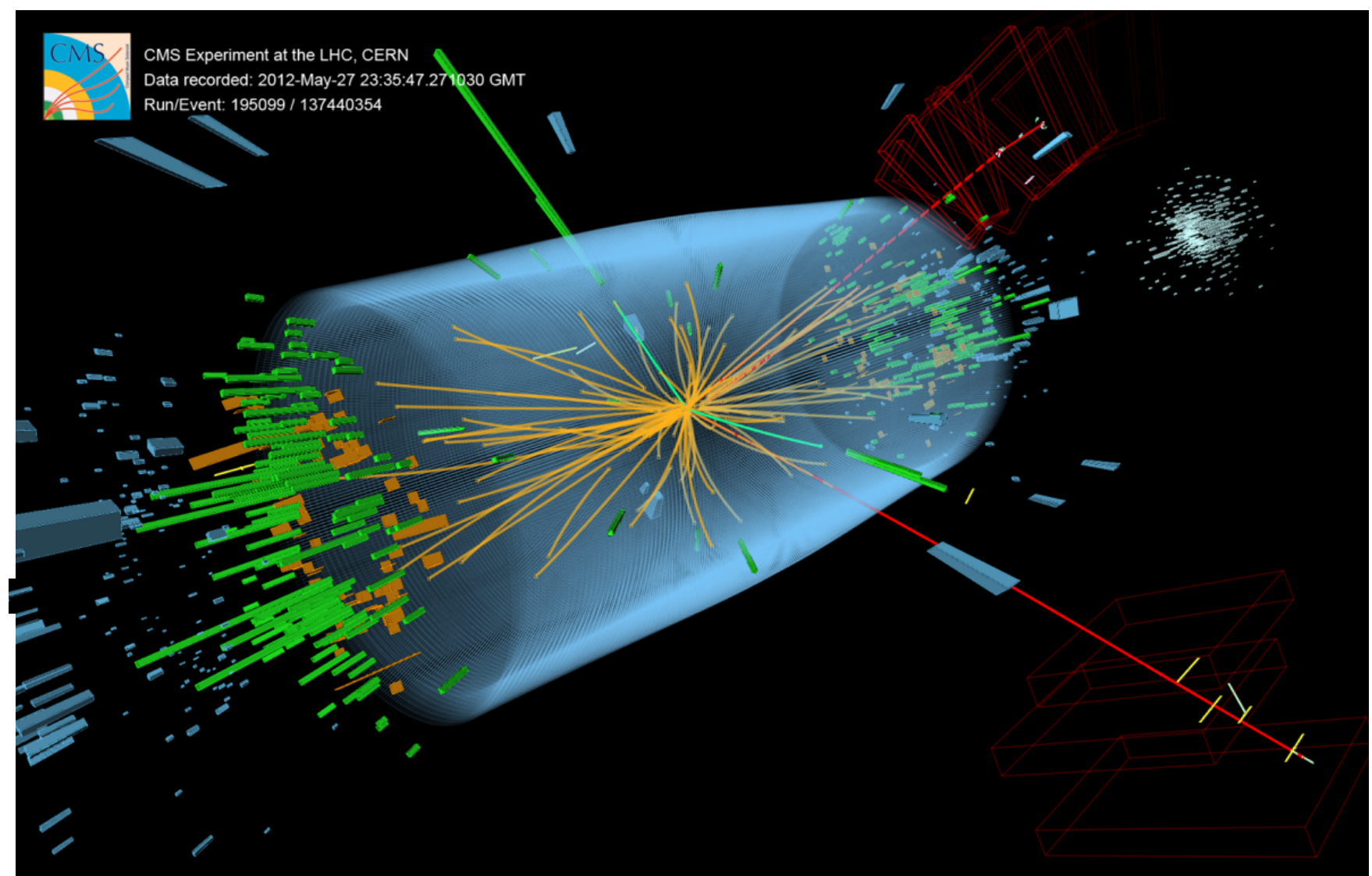
Interazione elettromagnetica



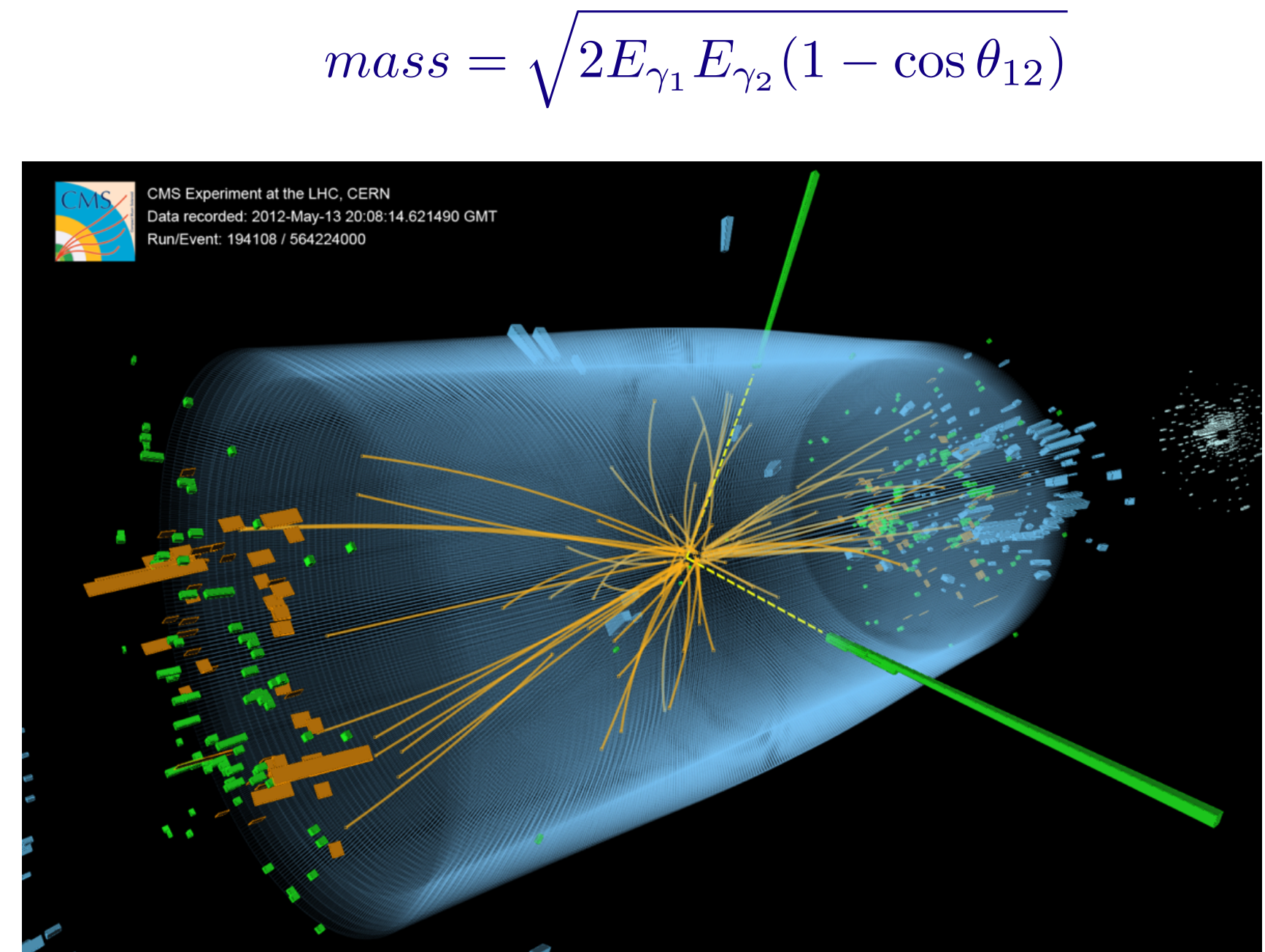
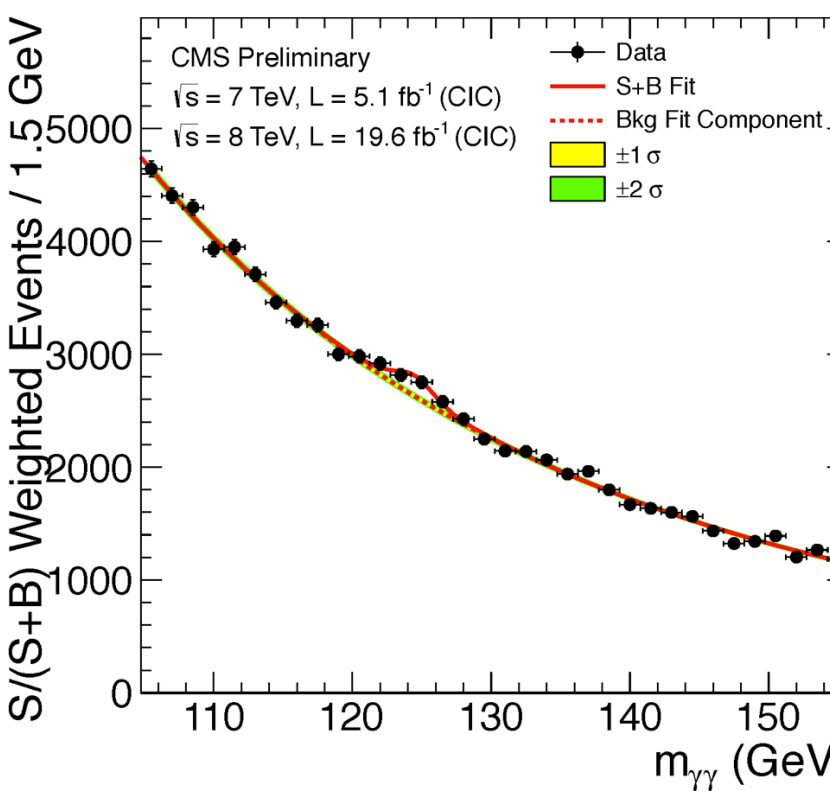
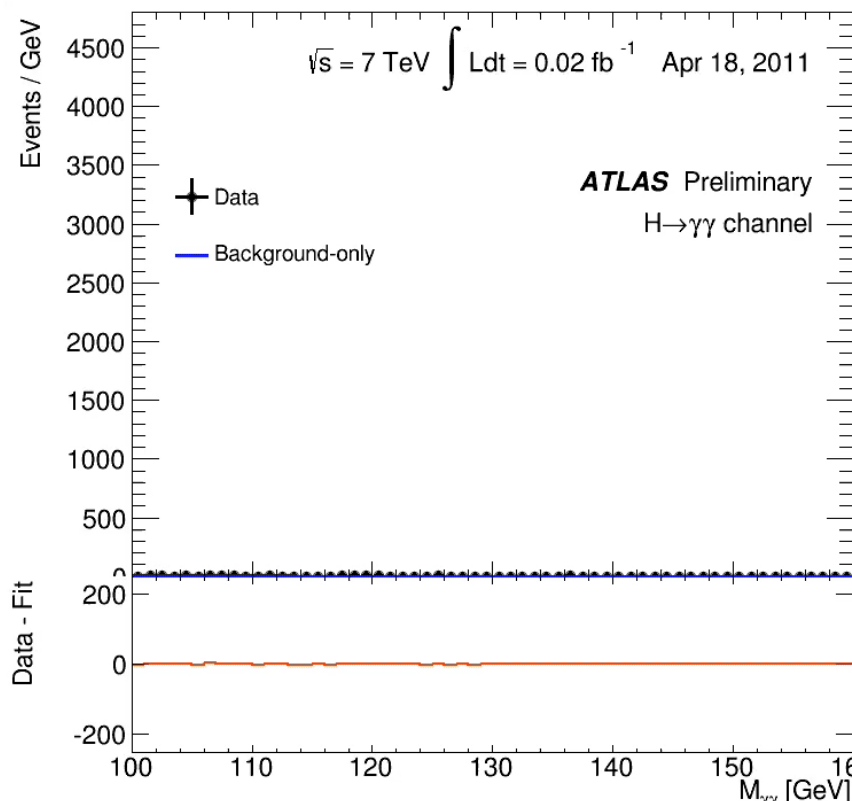
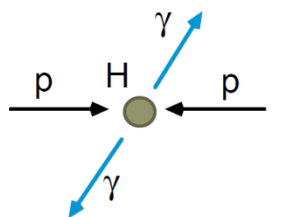
Higgs decay to ZZ (leptons)



$$mass = \sqrt{\bar{p}_1^2 + \bar{p}_2^2 + \bar{p}_3^2 + \bar{p}_4^2}$$



Higgs decay to Photons



$$\text{mass} = \sqrt{2E_{\gamma_1}E_{\gamma_2}(1 - \cos\theta_{12})}$$

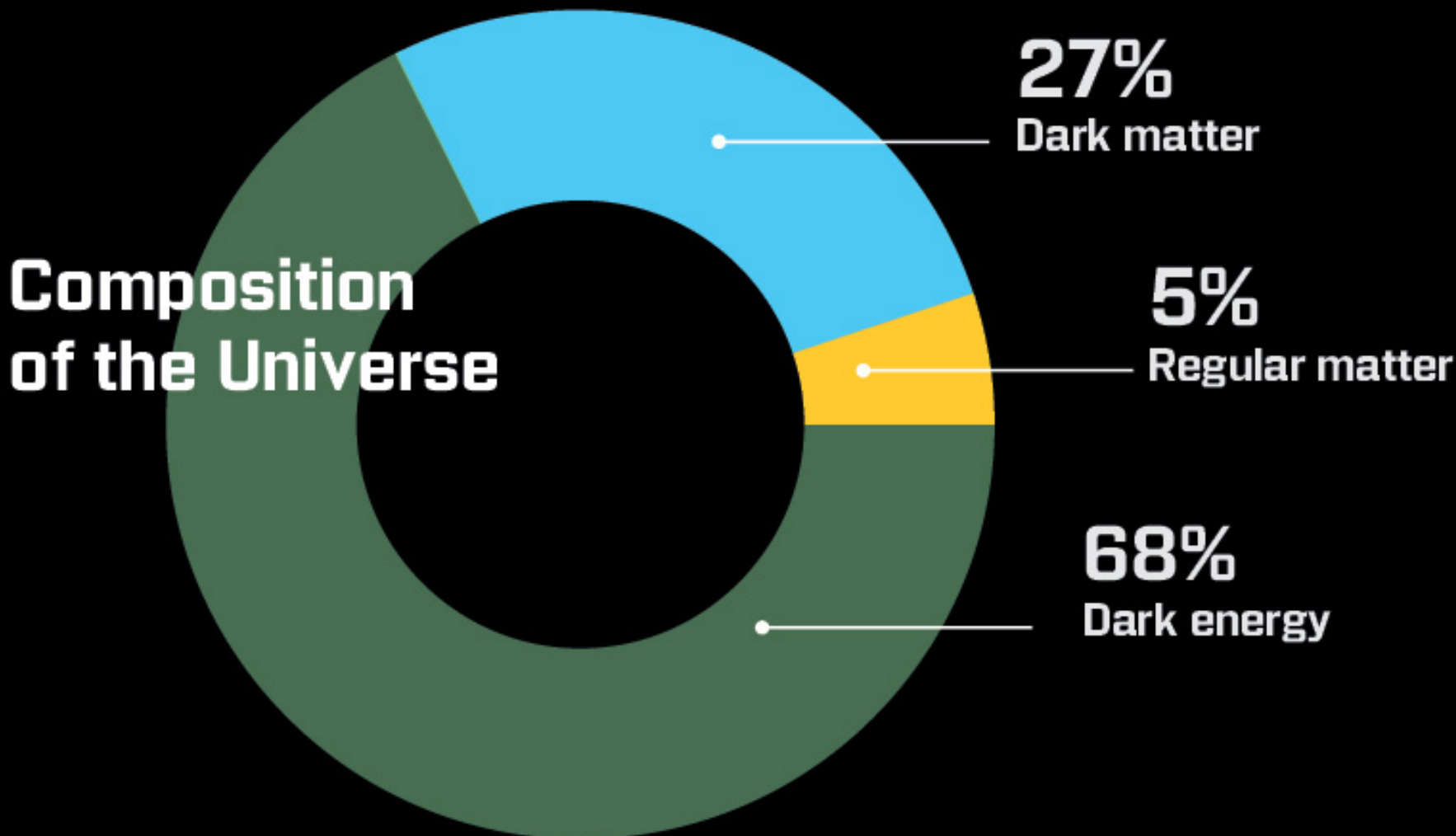


Dark

Matter

Dust

UNIVERSE COMPOSITION



- Strong astrophysical evidence for the existence of dark matter
 - Evidence from bullet cluster, gravitational lensing, rotation curves
 - Dark Matter 5 times more abundant than baryons
 - Contributes $\sim 1/4$ of the total energy budget!

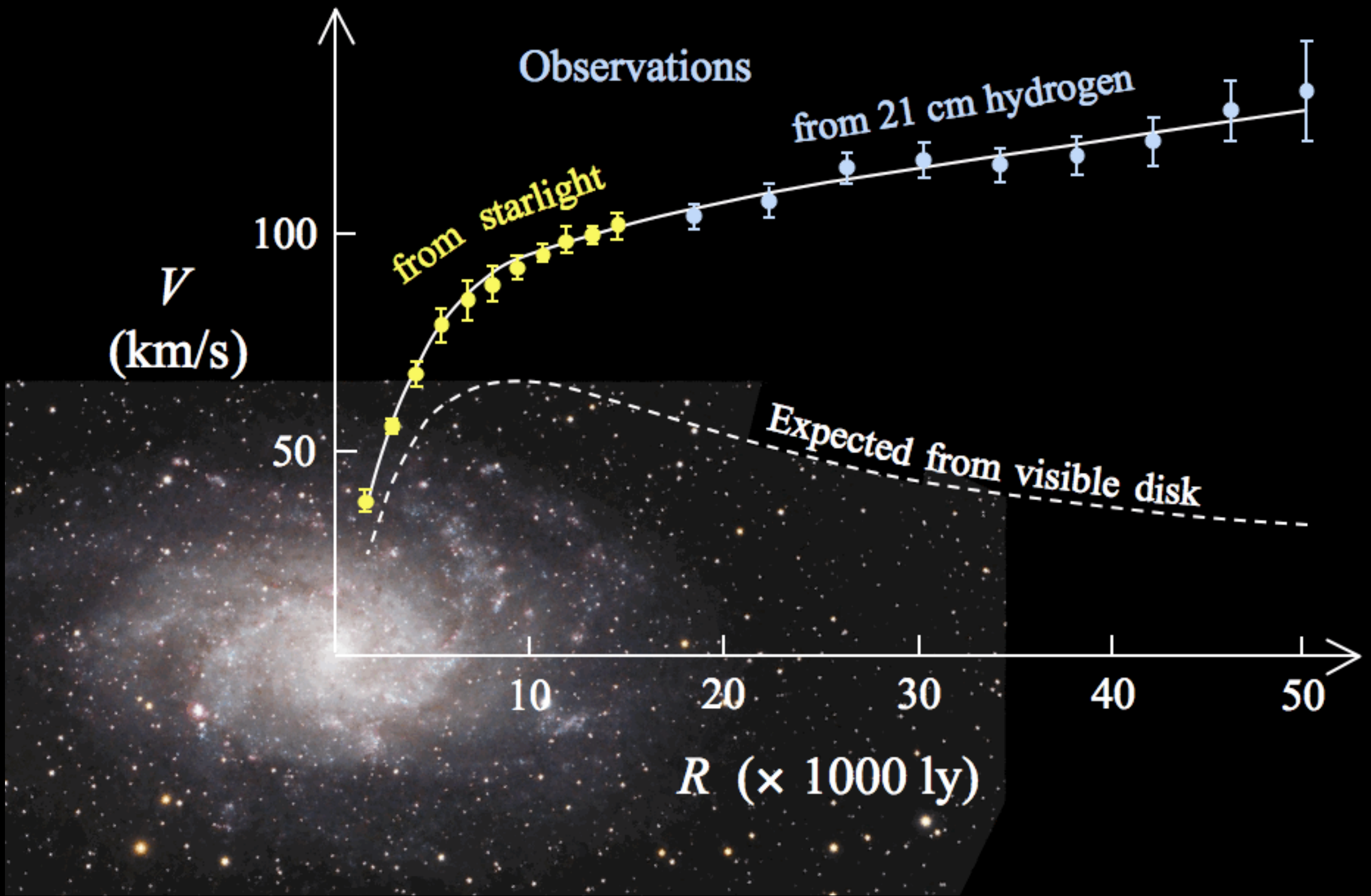
First Indications of Dark Matter

In 1933, Fritz Zwicky calculated the mass of the Coma cluster using galaxies on the outer edge, and came up with a number 400 times larger than expected.



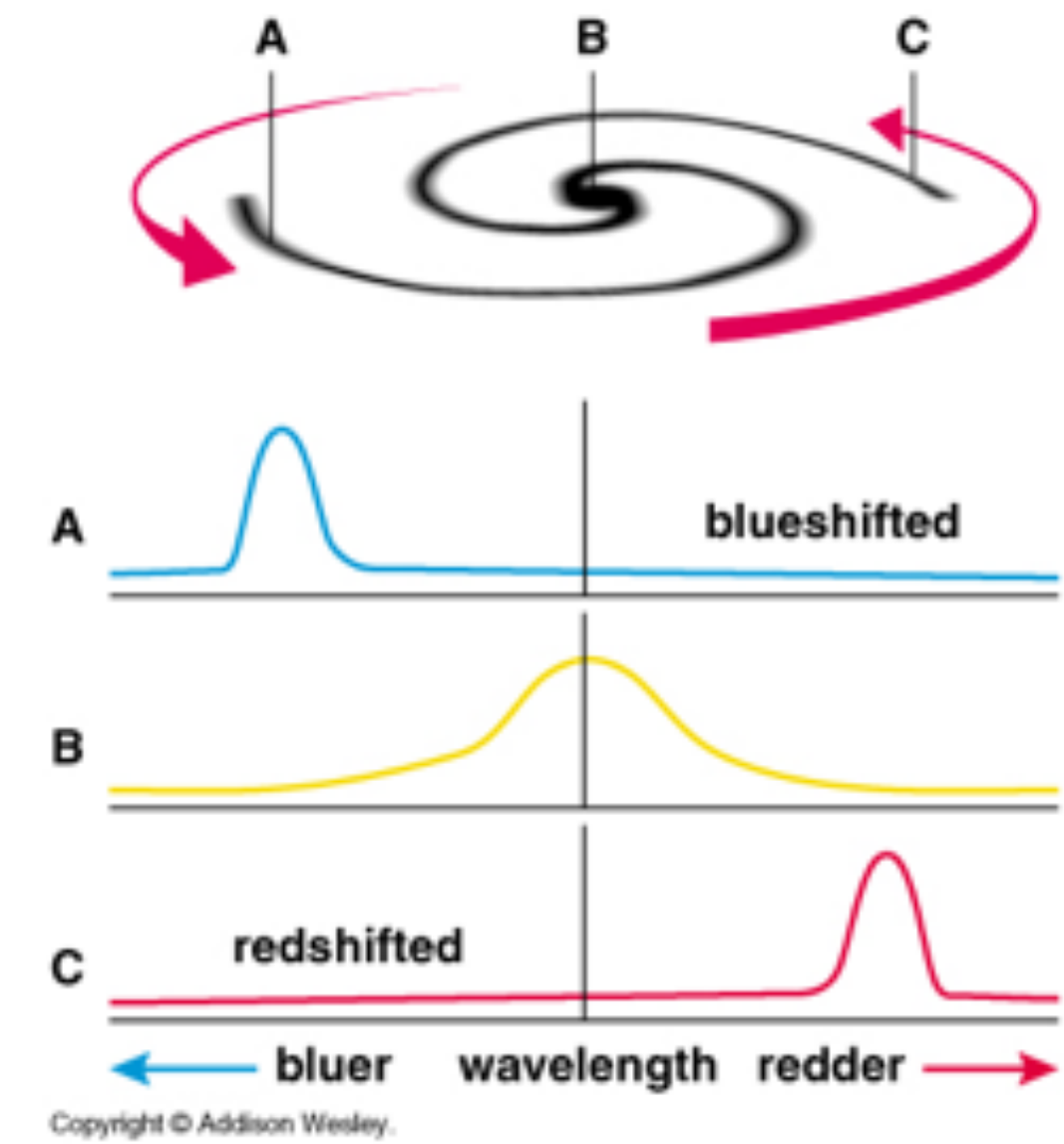
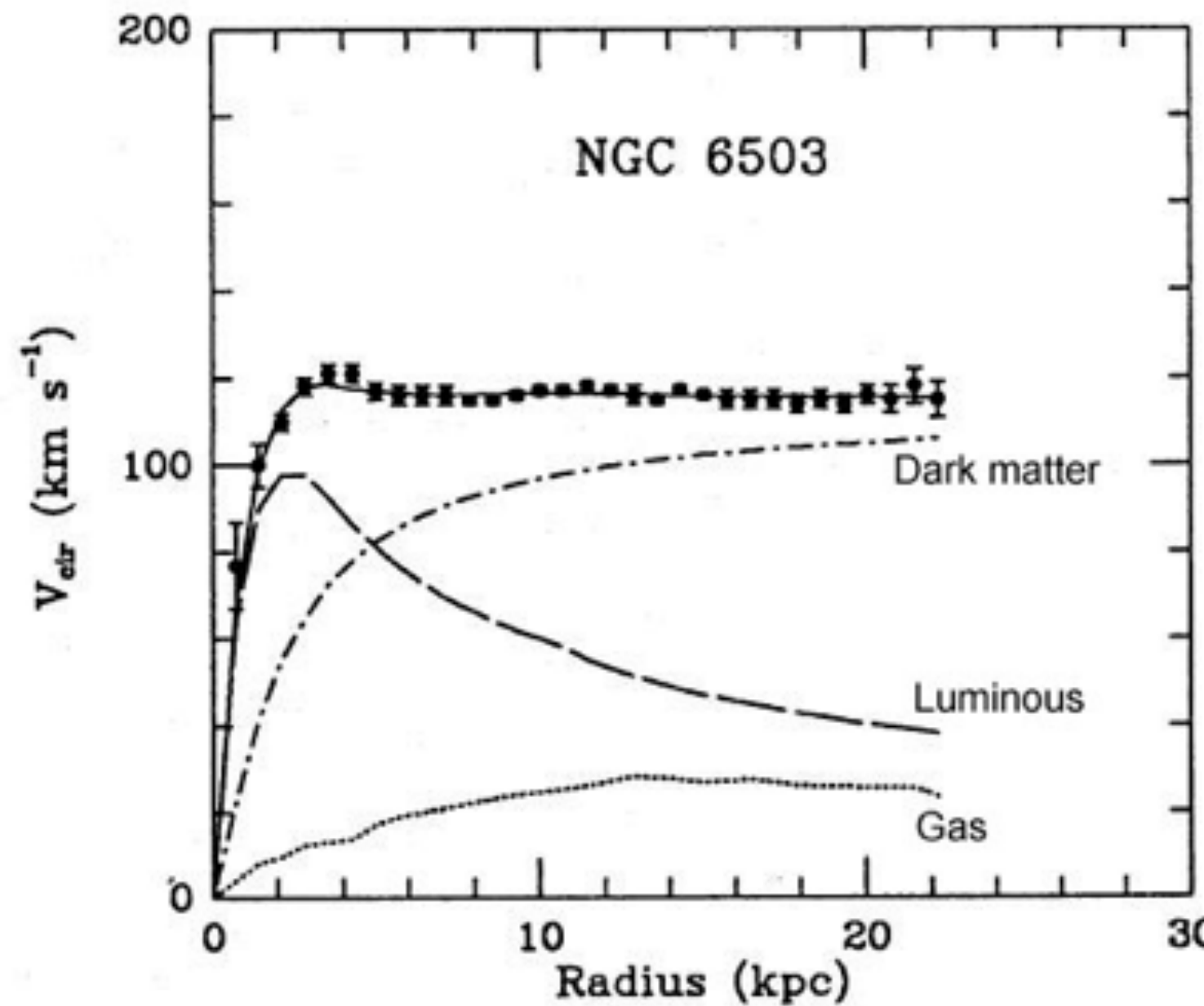
Now we know 90% of its mass due to Dark Matter

Galaxy Rotation



Galactic Rotation

- ▶ Starting in 1970's, first measurements of velocity curve of edge-on spiral galaxies
- ▶ Velocity found to be flat, consistent with ~10x as much "dark" mass for more than one galaxy



Galactic Rotation Velocity

- For a star of mass m at distance r from center of the galaxy

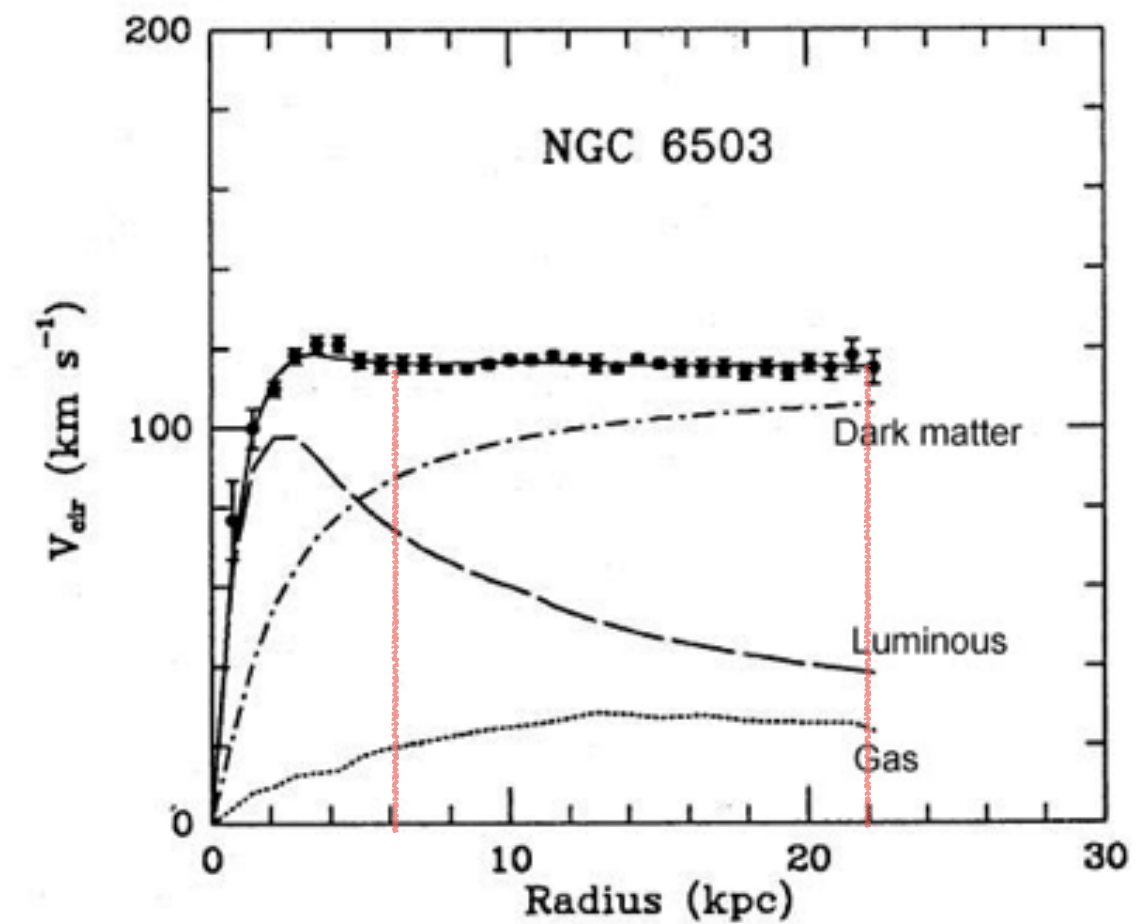
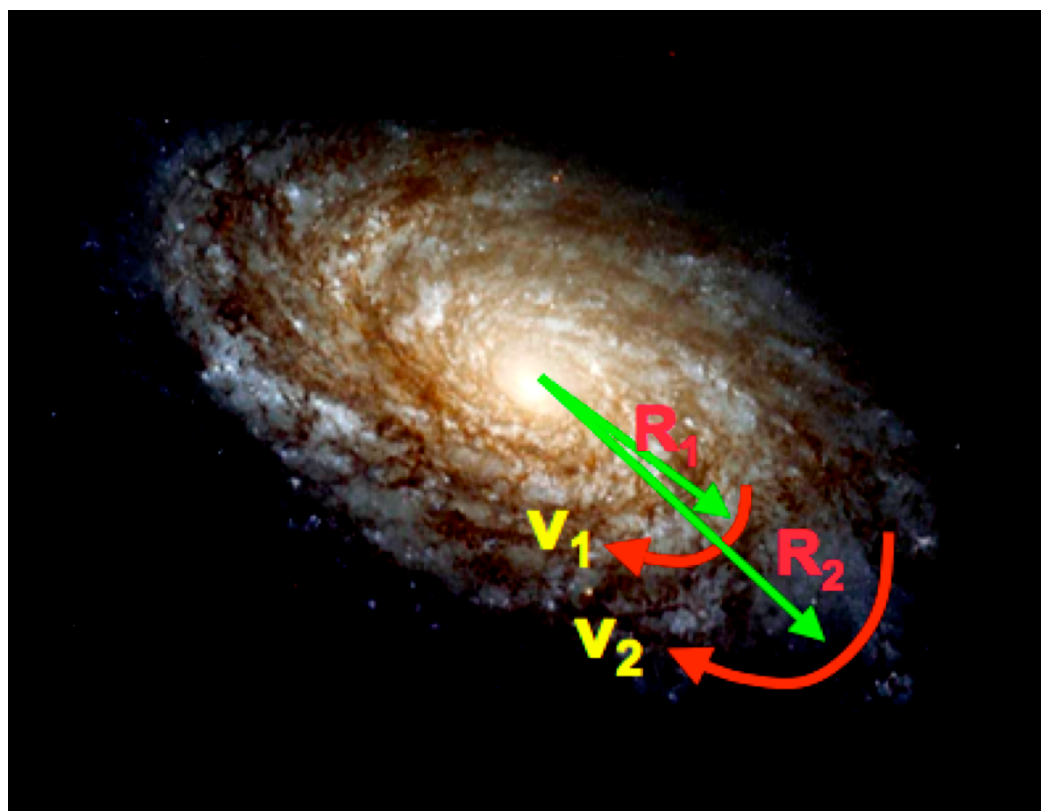
$$\frac{mv^2(r)}{r} = \frac{mM(r)G}{r^2}$$

- Galaxy mass mainly within core radius of R_0

$$M(r) = \begin{cases} \rho r^3 & r < R_0 \\ \rho R_0^3 & r \geq R_0 \end{cases}$$

- Galaxy rotation velocity

$$v(r) = \begin{cases} \propto r & r < R_0 \\ \propto r^{-1/2} & r \geq R_0 \end{cases}$$

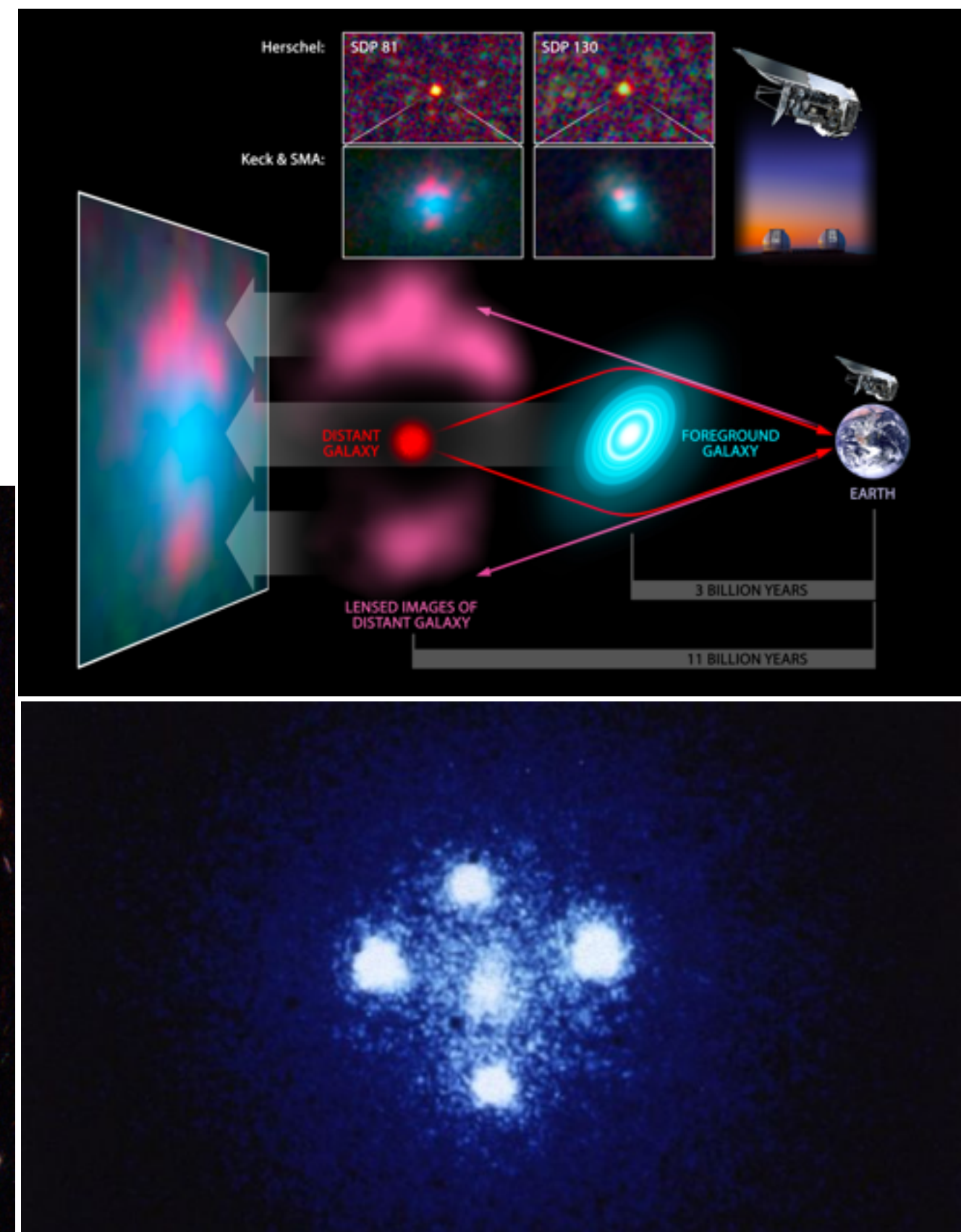
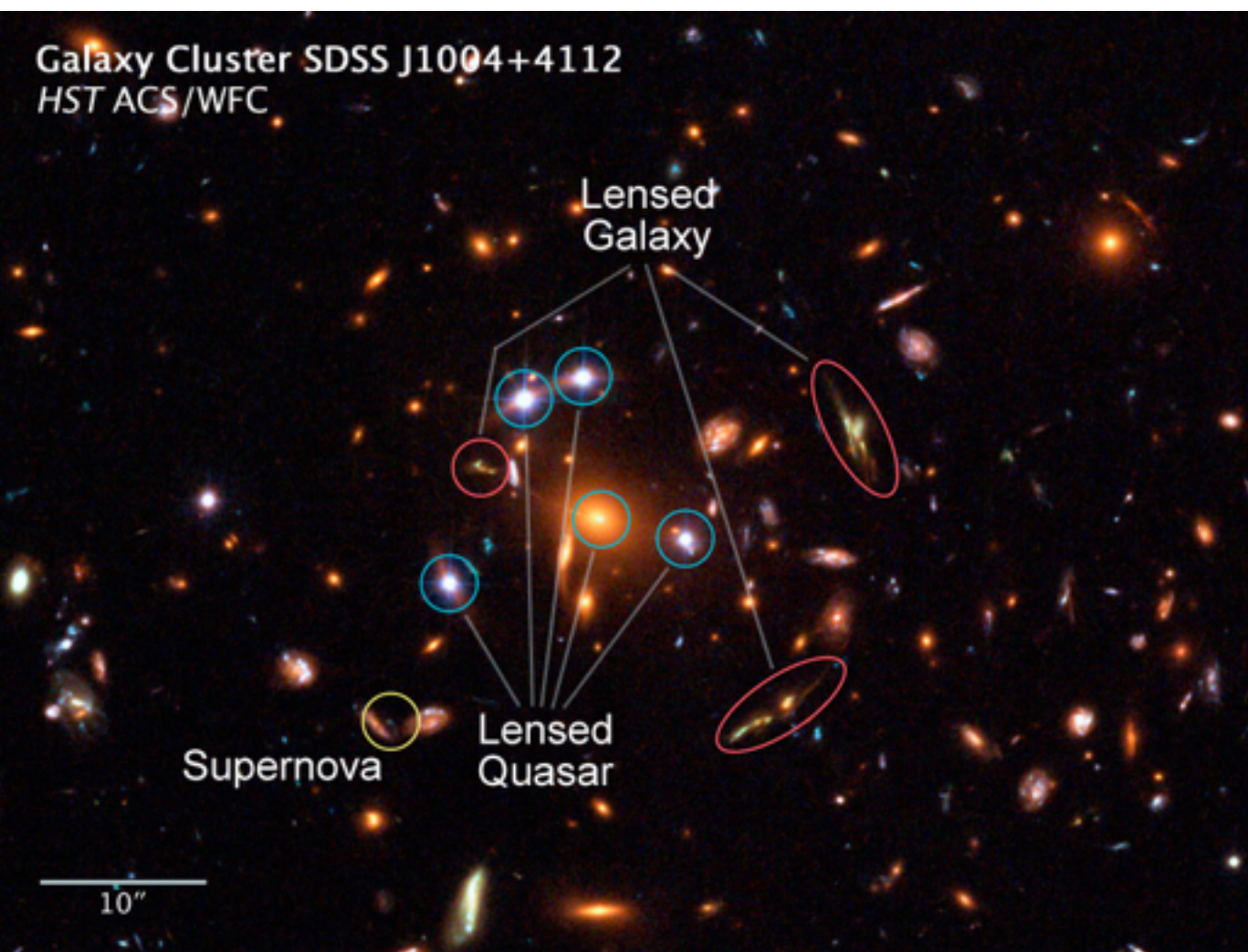


Dark Matter Halo



Gravitational Lensing

- ▷ visible mass not sufficient to explain observed lensing effects



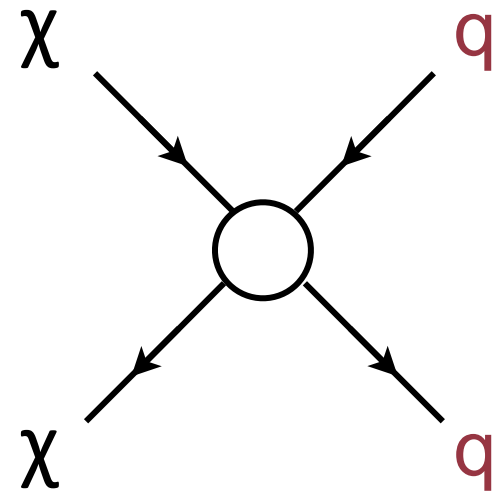
Bullet Cluster



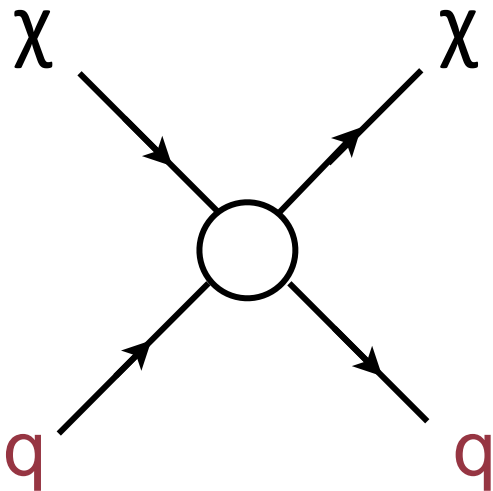
- Collision of galaxies in bullet cluster
 - lensing of background objects suggest at least 10x more Dark matter than visible mass

Interazione di Materia Oscura

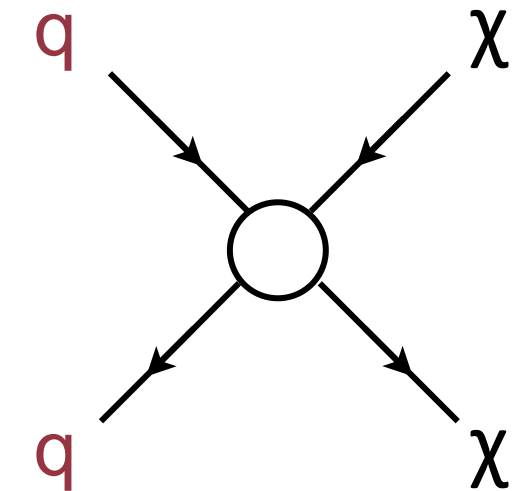
- ▷ Non sappiamo ancora come interagisce con la materia ordinaria
- ▷ Il tipo di interazione determina la quantita` di materia oscura oggi nel nostro universo



Indirect Detection



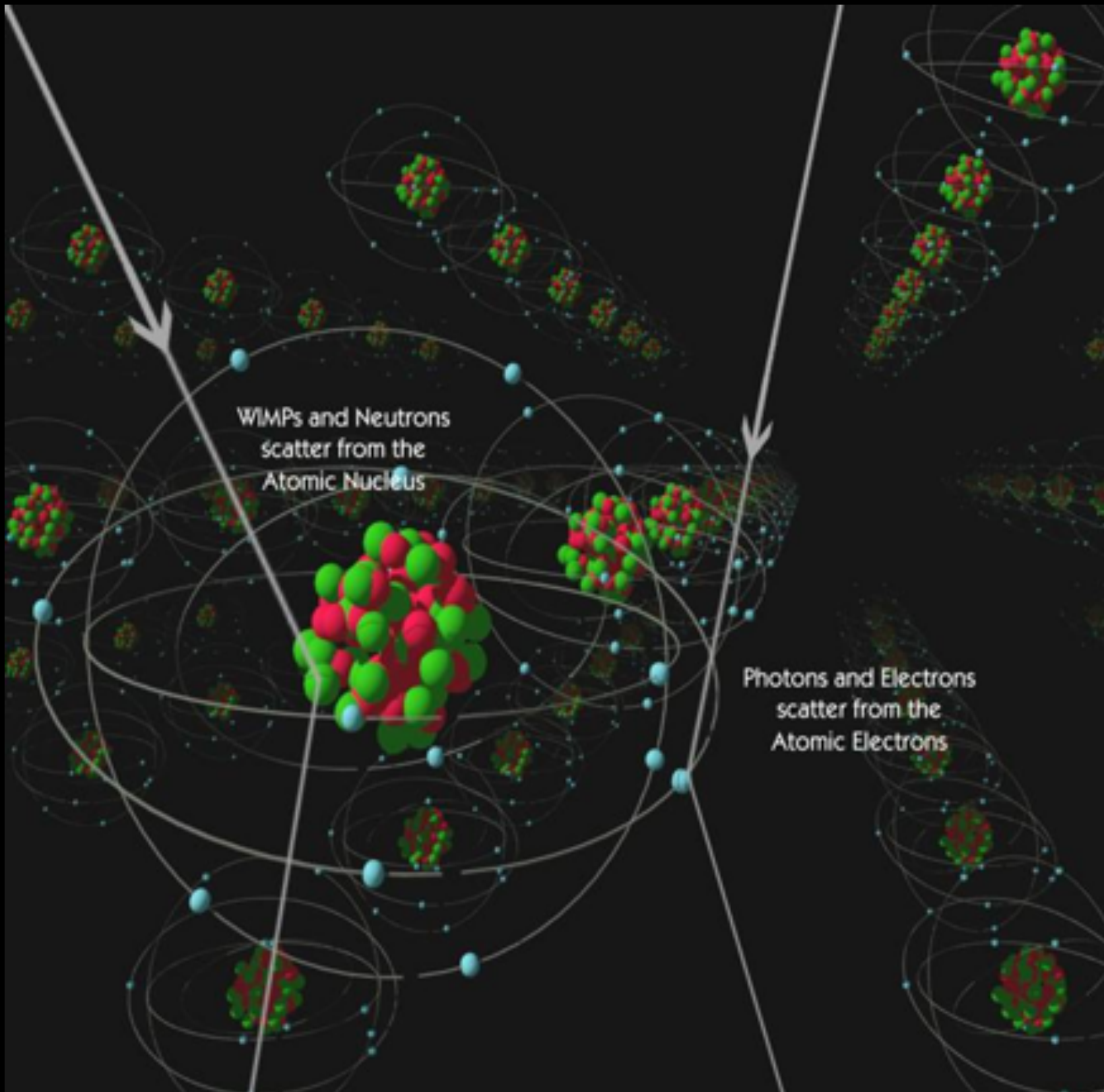
Direct Detection



Production at Colliders

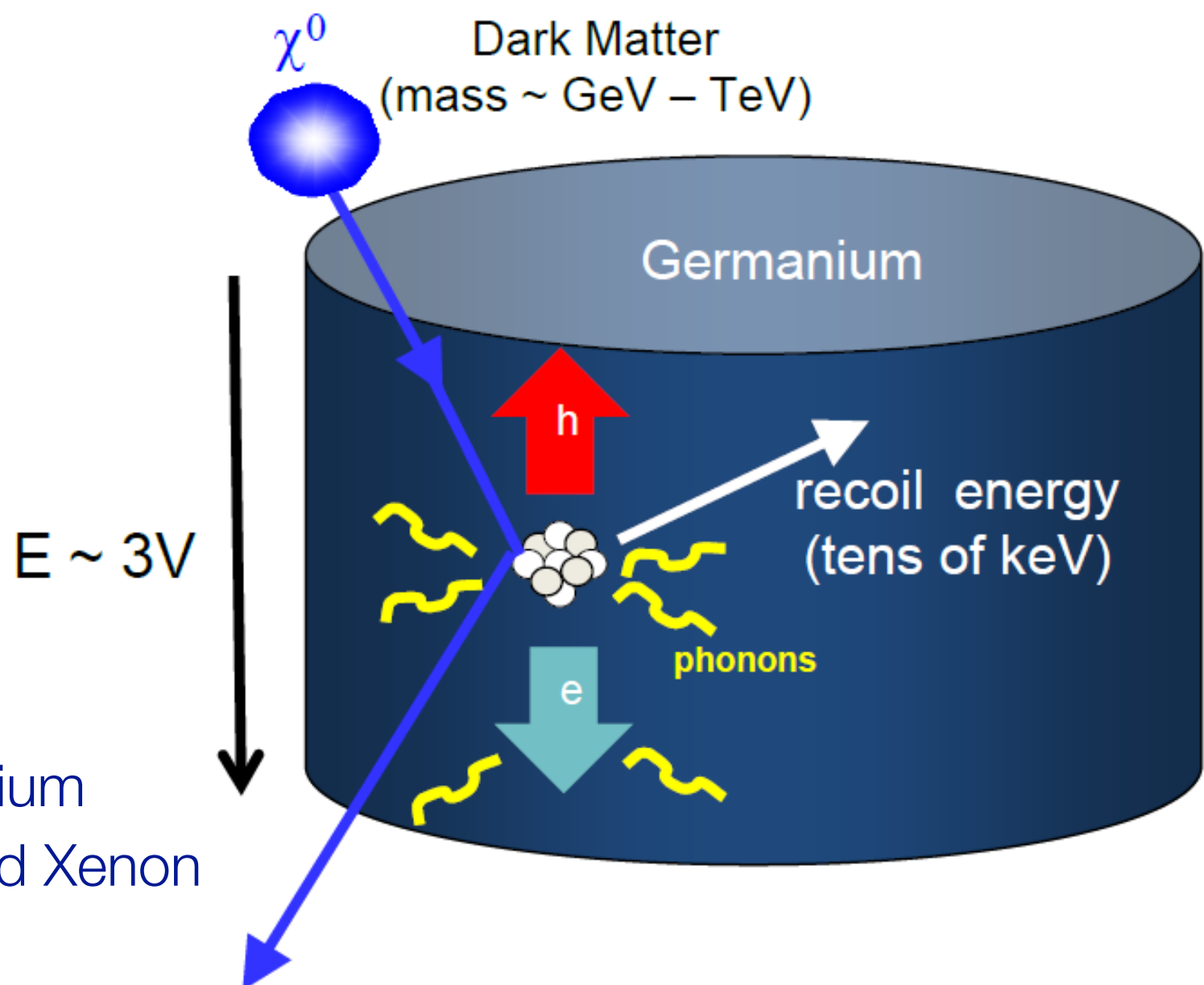
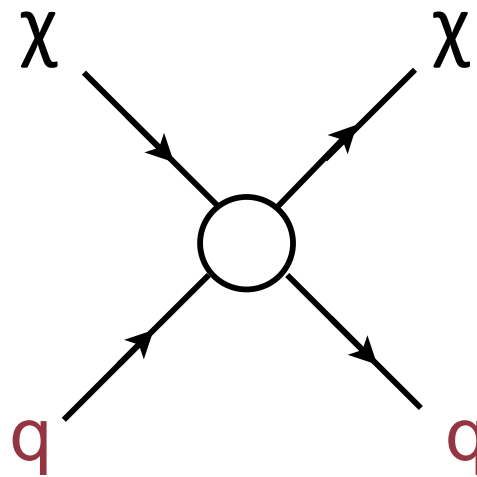
- ▷ Metodi sperimentali diversi per ciascun modo di rivelazione

Metodo diretto (Direct Detection)



Rivelazione diretta dell'urto

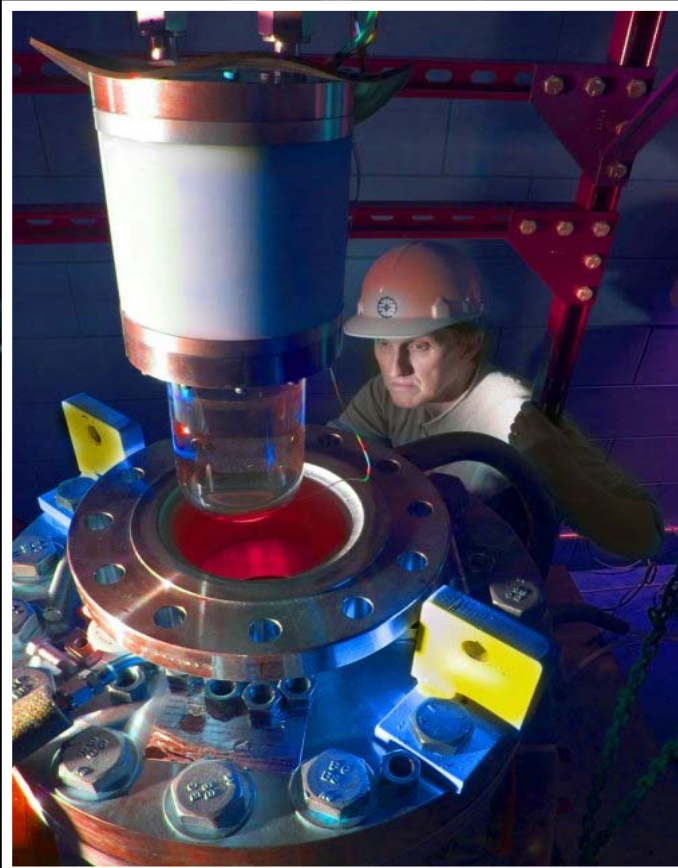
- ▷ Observe recoil of dark matter from nucleus
 - Extremely sensitive, extremely difficult... extremely successful!
 - Limited by threshold effects, energy scale, backgrounds



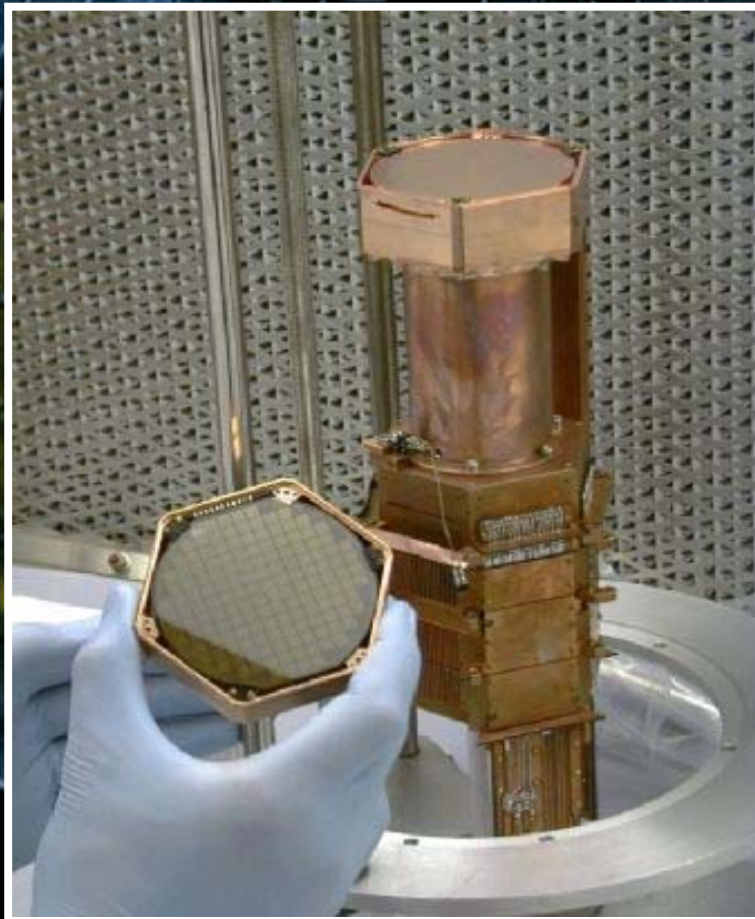
- Detection techniques
 - Heat, vibration: silicon, Germanium
 - Light: NaI, CsI, Liquid Argon and Xenon
 - Charge: Germanium, silicon,
Gas and liquid Ar and Xe

Direct Detection

COUPP



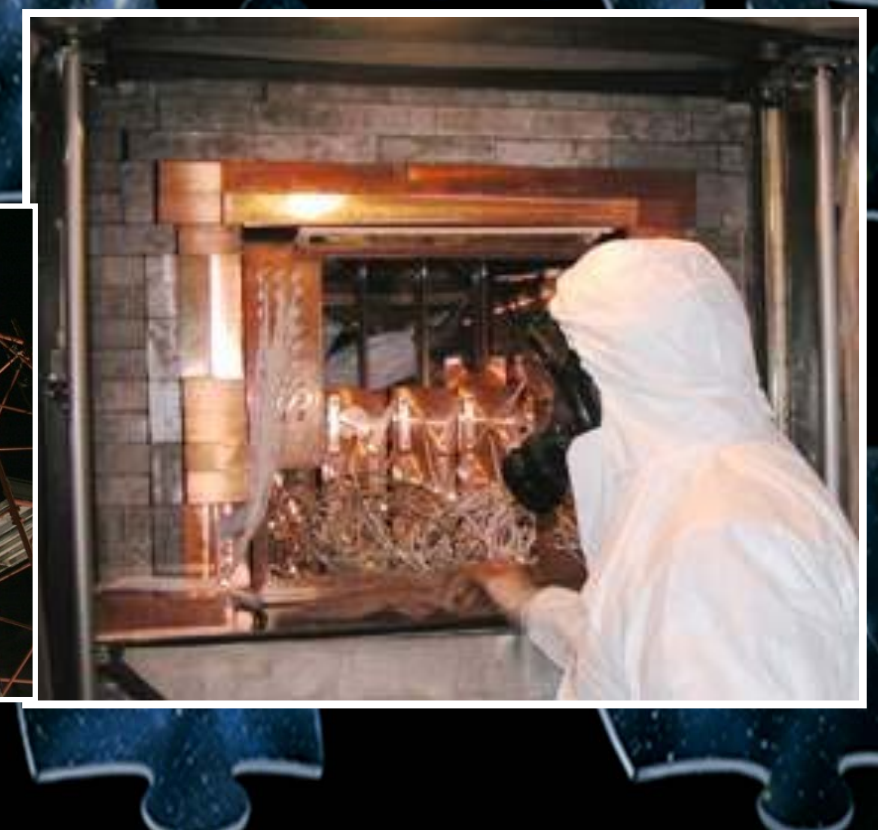
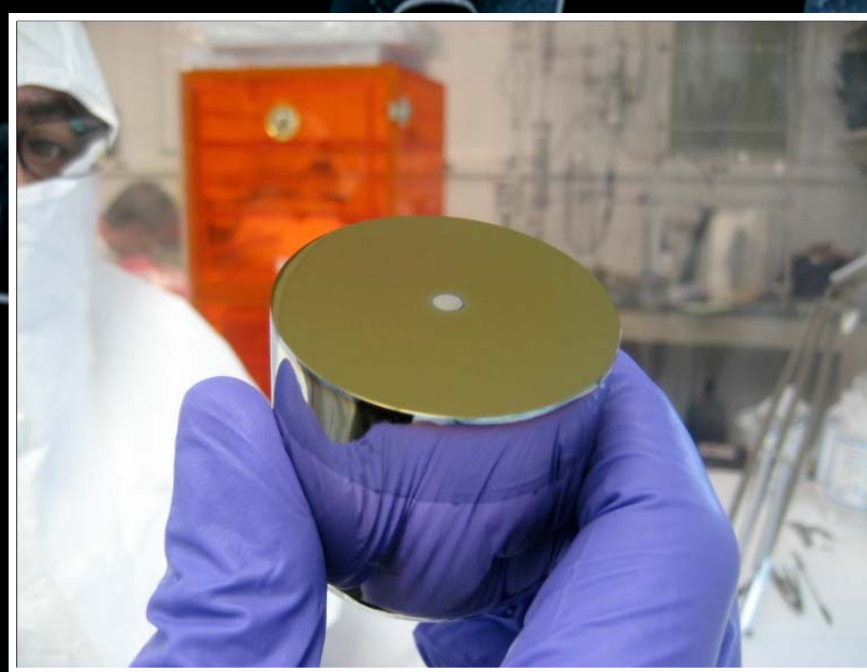
CDMS



CRESST



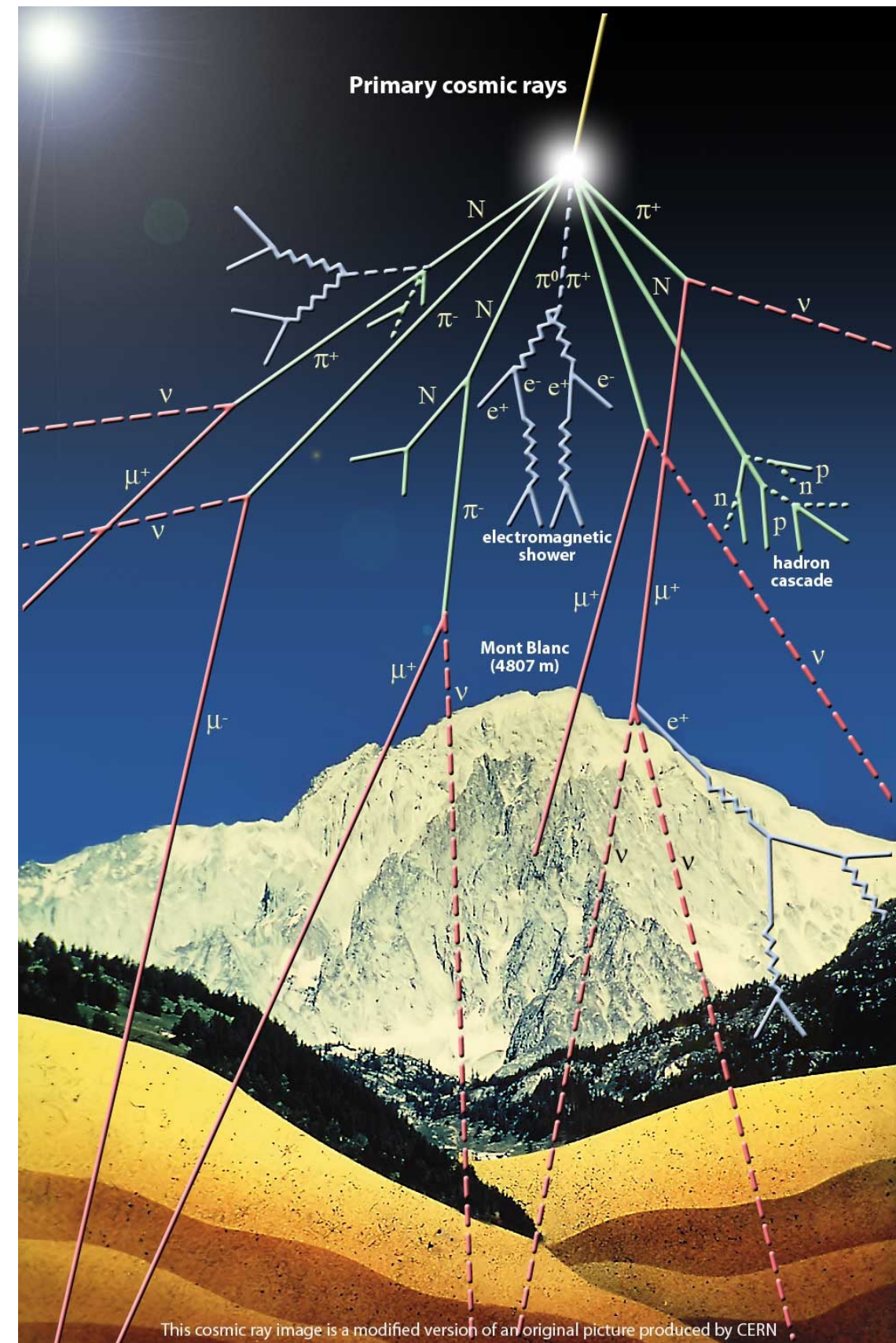
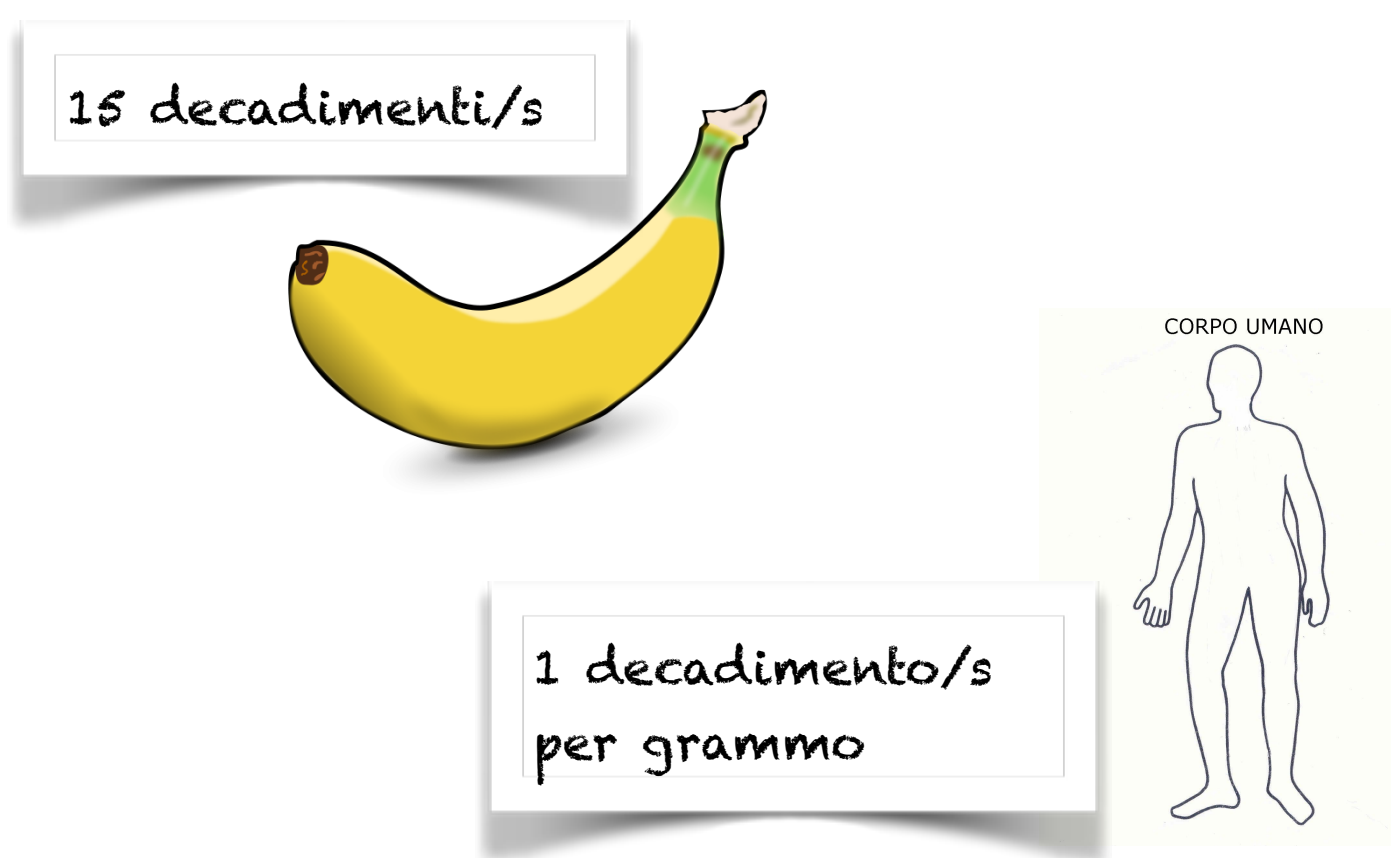
DAMA



Darkside

Fondo naturale dovuto a radioattività

- ▷ Rare process subject to two major background
- ▷ Cosmic rays producing showers in the atmosphere
- ▷ Natural radioactivity!



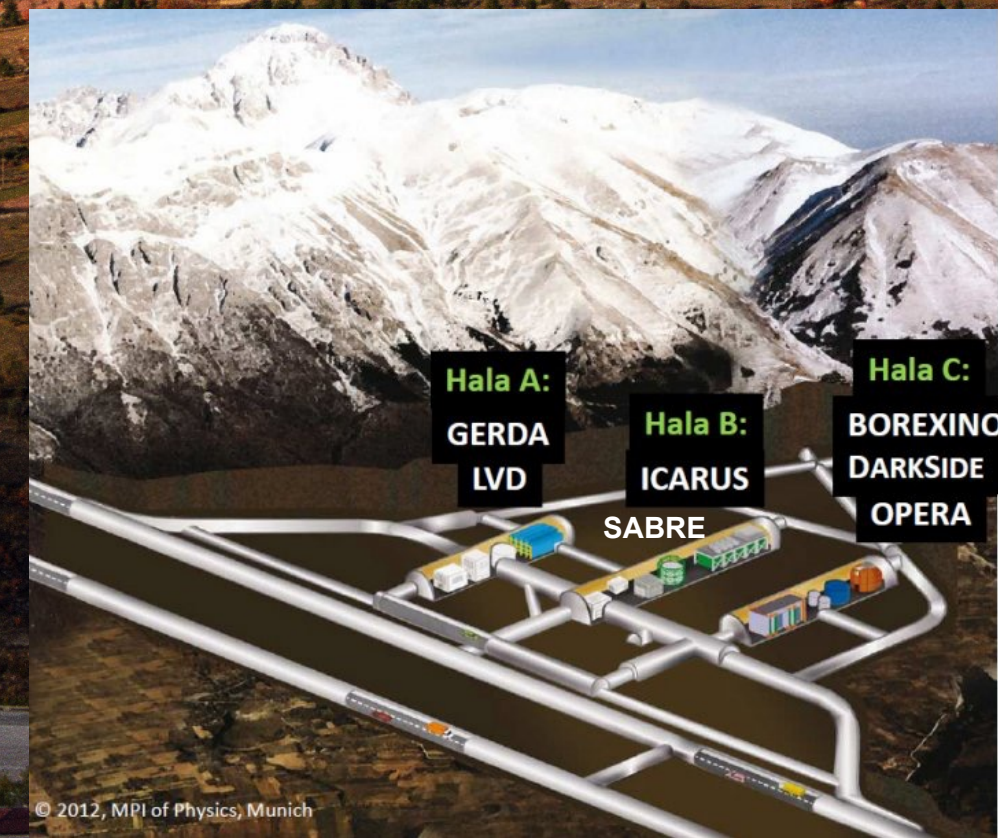
LABORATORI NAZIONALI DEL GRAN SASSO

1400 m di roccia
sovrastante

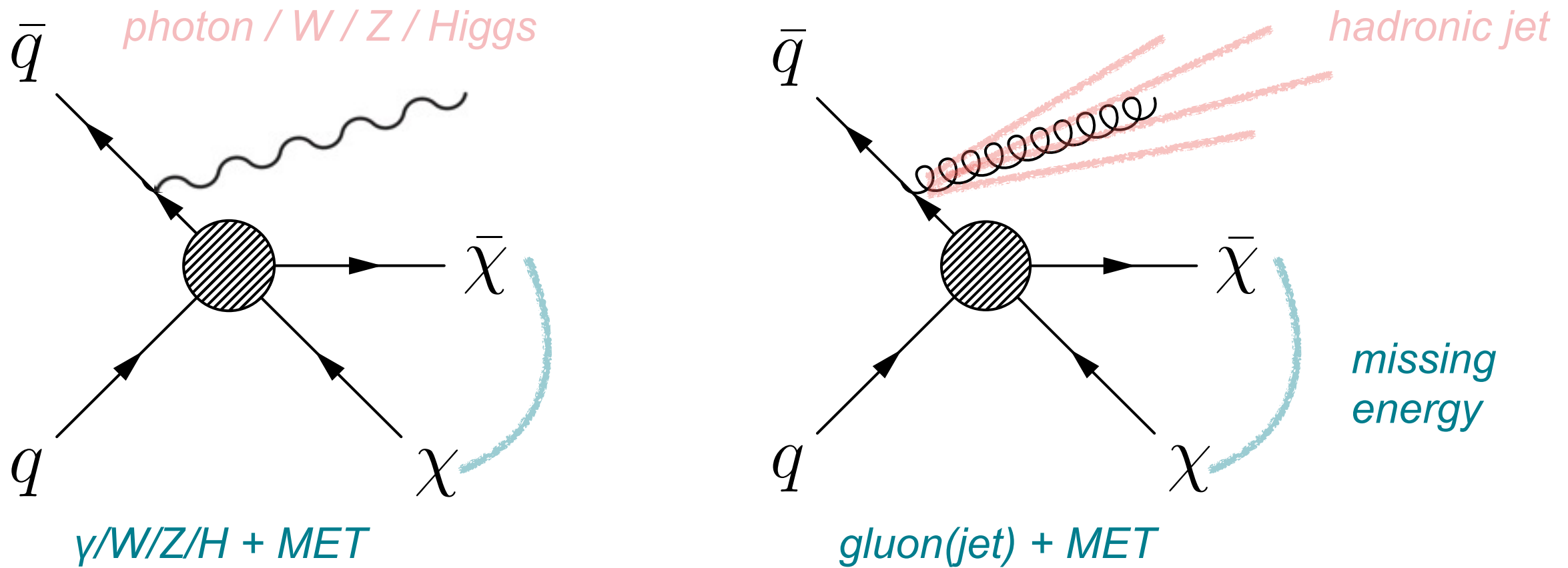
Superficie: 17 800 m²

Volume: 180 000 m³

Riduzione di un milione di
volte del flusso di muoni

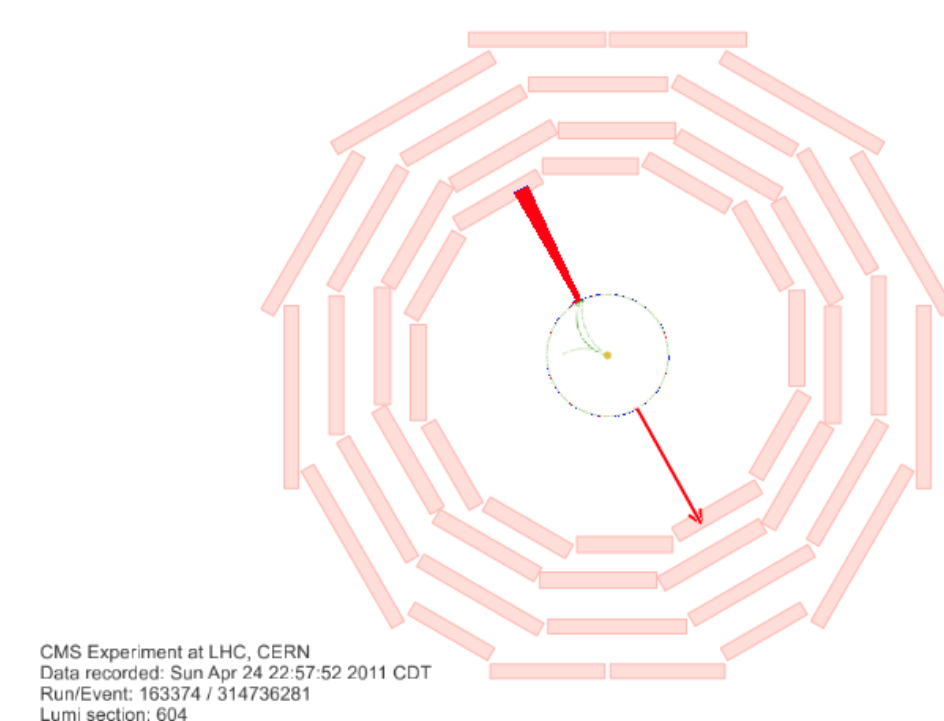
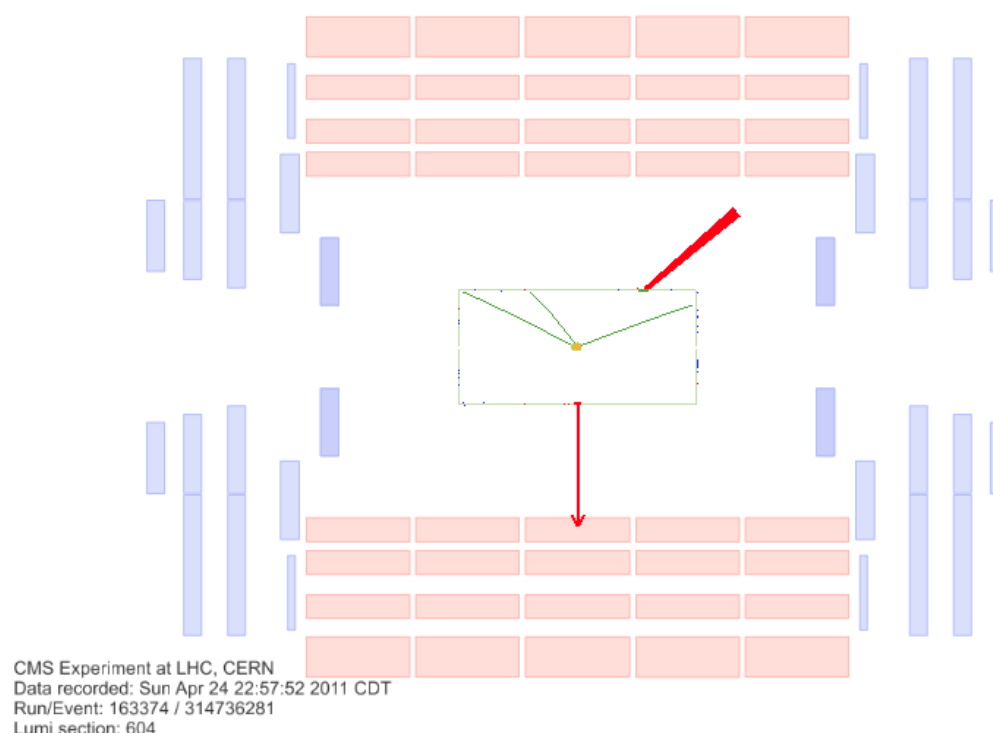
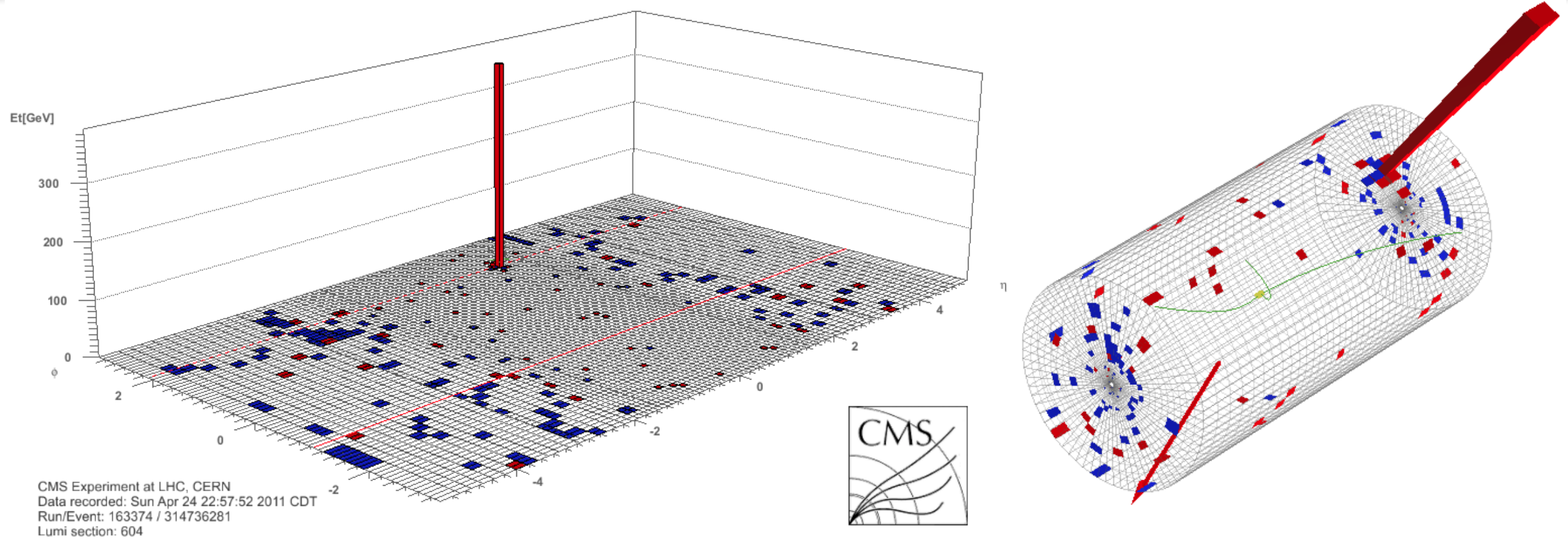


Produzione di Materia Oscura a LHC

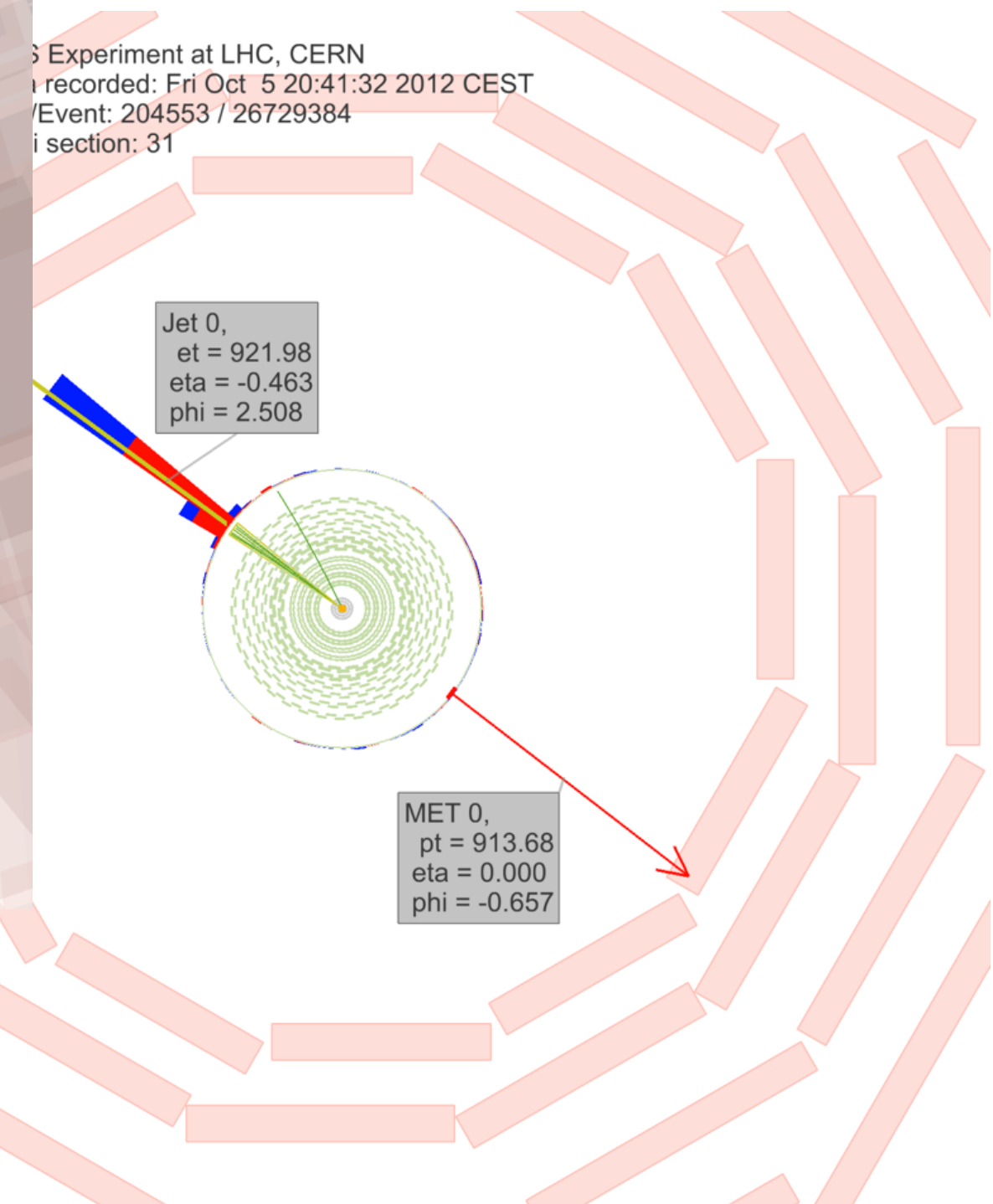
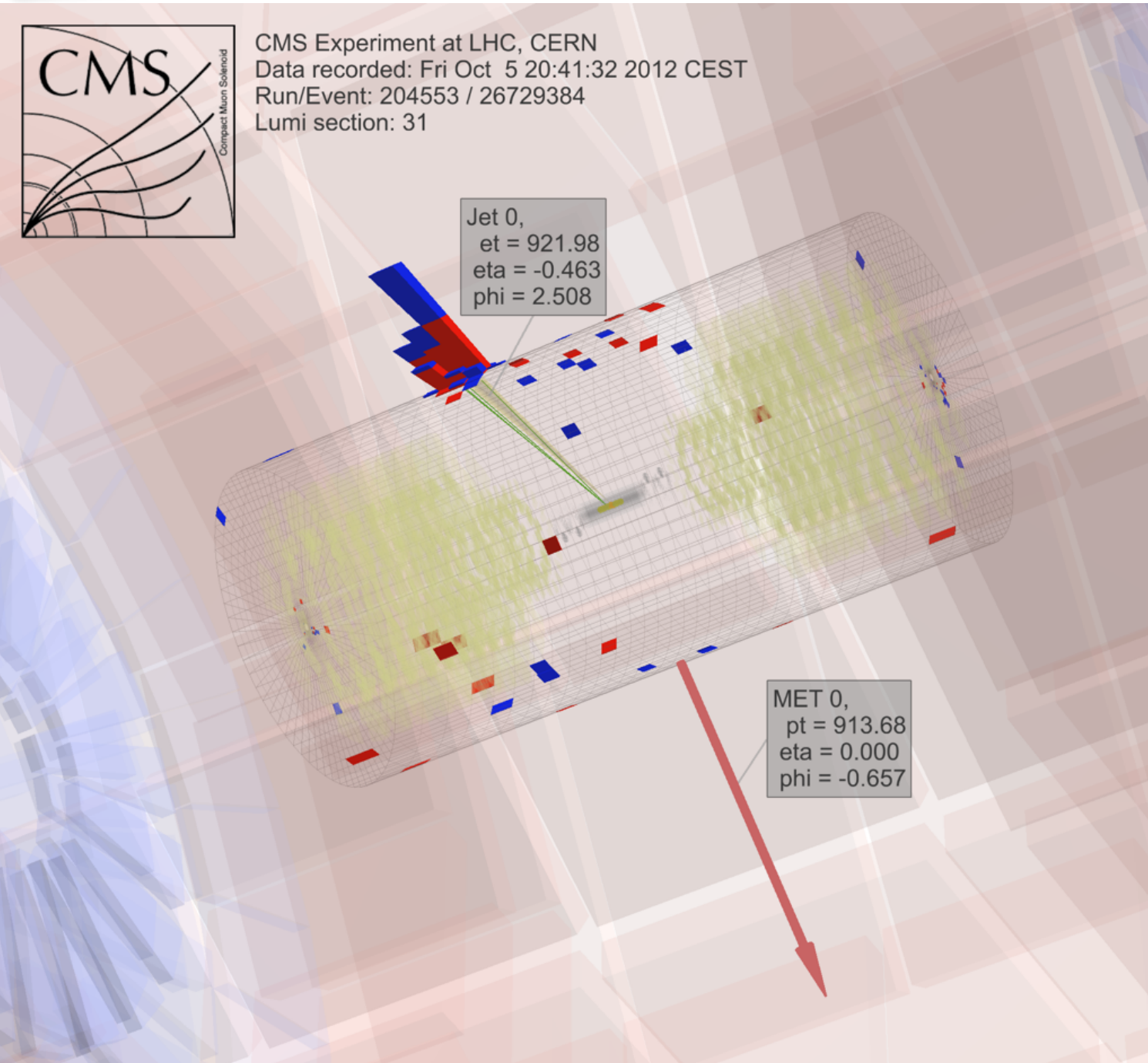


- ▷ Photons and gluons can be radiated by initial partons
- ▷ Presence of high energy photon, W, Z or gluons *in addition* to large missing transverse energy
- ▷ Gluon radiation at higher rate than photon
 - strong interaction vs. electromagnetic

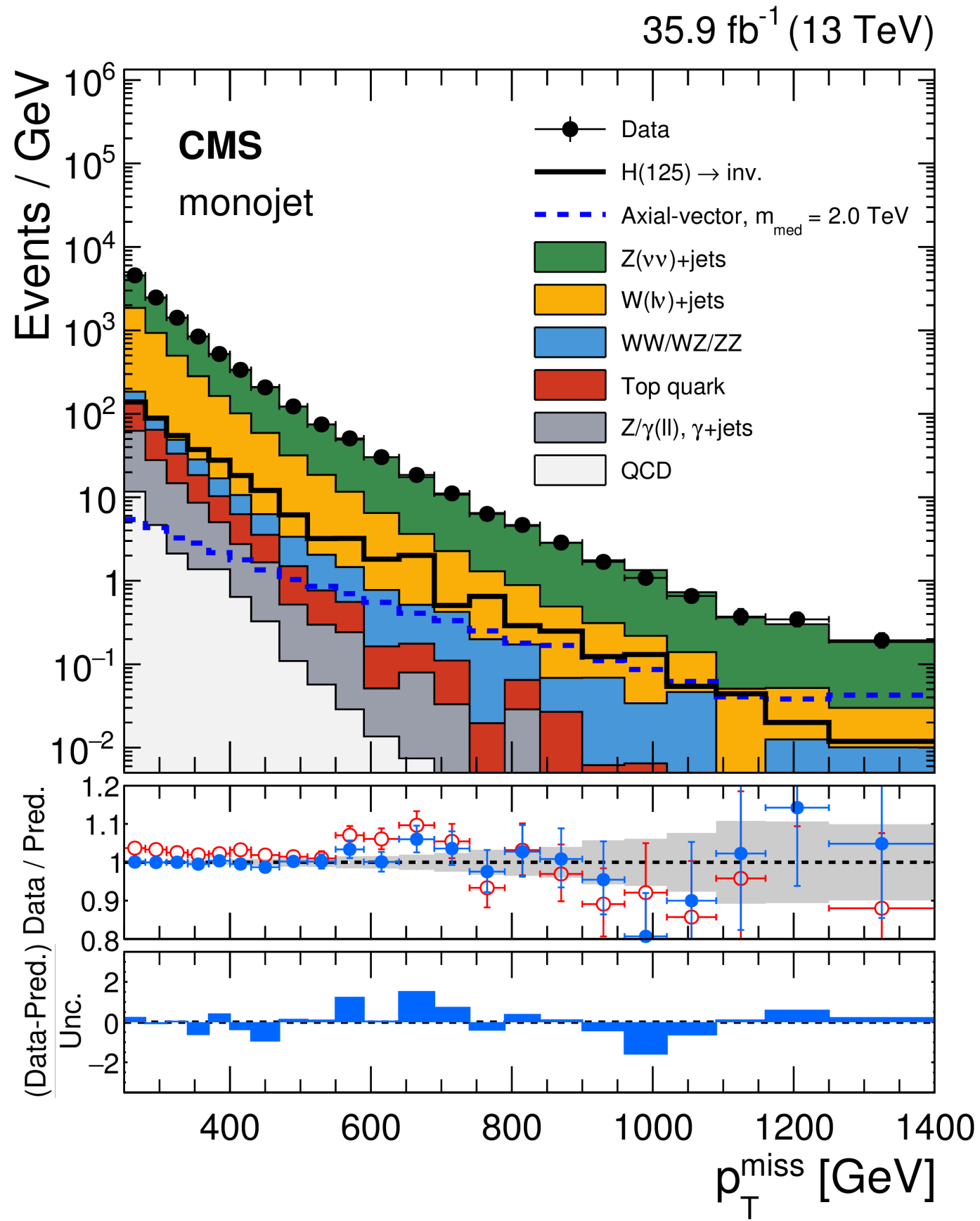
MONOPHOTON EVENT



MONOJET EVENT



Ancora nessun eccesso di eventi



Sommario

- ▷ Studio delle interazioni fondamentali e` cominciato nell'antichita` e ha fatto grandi passi in avanti negli ultimi 2 secoli
- ▷ Oggi stiamo studiando un nuovo tipo di interazione tra bosoni di Higgs
- ▷ Molti esperimenti in corso per scoprire la natura e l'interazione della materia oscura
- ▷ A cosa serve studiare queste interazioni?
 - Relativita` generale alla base del funzionamento del GPS
 - Microonde alla base della telecomunicazione
 - Meccanica quantistica nei semiconduttori alla base dell'elettronica
 - Laser e fisica nucleare hanno permesso grandi passi in avanti in Medicina
- ▷ Interazioni fondamentali sono alla base dei piu` grandi avanzamenti tecnologici nella nostra societa`
- ▷ ***Sarete voi a dirci come usare l'interazione dei bosoni di Higgs o della materia oscura***